



TESIS - BM185407

ANALISIS FITUR POPULARITAS LAGU PADA BISNIS LAYANAN STREAMING MUSIK DIGITAL UNTUK PENINGKATAN KUALITAS MUSIK MENGGUNAKAN ALGORITMA KOHONEN SELF ORGANIZING MAPS (SOM)

**CHYNTIA KUMALASARI PUTERI
09211750054007**

**Dosen Pembimbing:
Prof. Dr. Ing, Drs. M. Isa Irawan, MT**

**Departemen Manajemen Teknologi
Fakultas Bisnis Dan Manajemen Teknologi
Institut Teknologi Sepuluh Nopember
2019**

LEMBAR PENGESAHAN TESIS

Tesis disusun untuk memenuhi salah satu syarat memperoleh gelar

Magister Manajemen Teknologi (M.MT)

di

Institut Teknologi Sepuluh Nopember

Oleh:

Chyntia Kumalasari Puteri

NRP: 09211750054007

Tanggal Ujian: 4 Juli 2019

Periode Wisuda: September 2019

Disetujui oleh:

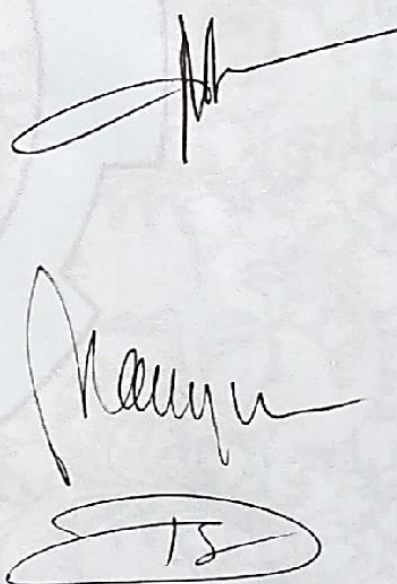
Pembimbing:

- 1. Prof. Dr. Ing, Drs. M. Isa Irawan, MT
NIP: 196312251989031001**

Penguji:

- 1. Dr. Techn. Ir. R. V. Hari Ginardi, M.Sc.
NIP: 196505181992031003**

- 2. Daniel O. Siahaan, S.Kom, M.Sc, PD.Eng
NIP: 197411232006041001**



**Kepala Departemen Manajemen Teknologi
Fakultas Bisnis dan Manajemen Teknologi**



**Prof. Ir. I Nyoman Pujawan, M.Eng, Ph.D, CSCP
NIP: 196912311994121076**

ANALISIS FITUR POPULARITAS LAGU PADA BISNIS LAYANAN STREAMING MUSIK DIGITAL UNTUK PENINGKATAN KUALITAS MUSIK MENGGUNAKAN ALGORITMA KOHONEN SELF ORGANIZING MAPS (SOM)

Nama Mahasiswa : Chyntia Kumalasari Puteri

NRP : 09211750054007

Pembimbing : Prof. Dr.Ing, Drs. M. Isa Irawan, MT

ABSTRAK

Konsumsi layanan musik digital sudah berkembang secara dramatis dalam beberapa tahun ini. Terjadi peningkatan konsumsi musik streaming dari 2015 hingga 2016 yaitu sebesar 76,4%. Salah satu layanan streaming musik paling populer, Spotify, telah mengalami peningkatan pelanggan dari tahun ke tahun. Adanya peningkatan ini memungkinkan pelaku bisnis / produser musik untuk meningkatkan keuntungan bisnisnya dengan menganalisis musik / lagu untuk mengetahui atribut audio yang membuat lagu tersebut dapat dinikmati oleh banyak orang. Terdapat 13 fitur audio dari setiap lagu yang telah disajikan oleh Spotify. Spotifycharts merupakan salah satu web resmi dari Spotify yang menyediakan urutan Top charts dari berbagai dunia. Charts Top 200 Global disini digunakan sebagai data yang digunakan dalam penelitian ini. Pengolahan dan analisa data dilakukan menggunakan metode Kohonen Self Organizing Maps (SOM). Metode ini berfungsi untuk mengelompokkan atribut lagu berdasarkan jumlah streaming. Pengelompokan (clustering) ini memungkinkan dapat mengetahui kelompok dari atribut audio dari musik yang paling disukai oleh pengguna Spotify. Musik yang baik adalah musik yang dapat digunakan sebagai sarana terapi. Hasil dari penelitian ini adalah dengan parameter LR = 0.9, PLR = 0.1, dan epoch = 70 hingga 500, jika dibagi menjadi 4 cluster, dapat disimpulkan bahwa *cluster 2* adalah cluster yang memiliki jumlah *streaming* paling banyak dengan 27 lagu dimana nilai DBI terkecil diperoleh pada epoch = 200. Dengan analisis menggunakan regresi linier berganda, fitur audio yang paling berpengaruh di *cluster 2* adalah fitur audio loudness dengan mode = 0 (Minor). Nilai akurasi dari penelitian ini sebesar 85%.

Kata kunci: *fitur audio spotify, pengelompokan, Kohonen Self Organizing Maps (SOM)*

ANALYSIS OF SONG POPULARITY FEATURES IN DIGITAL MUSIC STREAMING SERVICES FOR INCREASING MUSIC QUALITY USING KOHONEN SELF ORGANIZING MAPS (SOM) ALGORITHM

Name : Chyntia Kumalasari Puteri
NRP : 09211750054007
Supervisor : Prof. Dr.Ing, Drs. M. Isa Irawan, MT

ABSTRACT

Consumption of digital music services has grown dramatically in recent years. There is an increase in music streaming consumption from 2015 to 2016, which is 76.4%. One of the most popular music streaming services, Spotify, has experienced an increase in customers from year to year. This increase enables businessmen / music producers to increase their business profits by analyzing music / songs to find out the audio attributes that make the song enjoyable for many people. There are 13 audio features of each song that Spotify has presented. Spotifycharts is one of the official webs from Spotify that provides top charts from various worlds. The Top 200 Global Charts here are used as the data in this study. Processing and analysis data are using Kohonen Self Organizing Maps (SOM) method. This method serves to group song attributes based on total streaming. The function of that method is for clustering that make it possible to find out which audio attribute groups are most liked by Spotify users. A good music is a music that can be used as a therapy. The result of this study is LR = 0.9, PLR = 0.1, and epoch = 70 to 500, if divided into 4 clusters, it can be concluded that *cluster 2* is the cluster that has the most number of streams with 27 songs in which the smallest DBI value is obtained at epoch = 200. With analysis using multiple linear regression, the most influential audio feature in *cluster 2* is the loudness audio feature with mode = 0 (Minor). The accuracy value of this study is 85%.

Keywords: *spotify audio features, clustering, Kohonen Self Organizing Maps (SOM)*

KATA PENGANTAR

Puji syukur penulis panjatkan kehadiran Allah SWT atas limpahan rahmat dan hidayah-Nya sehingga penulis dapat menyelesaikan Tesis yang berjudul **“Analisis Fitur Popularitas Lagu Pada Bisnis Layanan Streaming Musik Digital Untuk Peningkatan Kualitas Musik Menggunakan Algoritma Kohonen Self Organizing Maps (SOM)”**. Tesis ini diajukan untuk memenuhi prasyarat untuk menyelesaikan studi magister di Program Studi Magister Manajemen Teknologi, Konsentrasi Manajemen Teknologi Informasi, Institut Teknologi Sepuluh Nopember Surabaya.

Dalam penyelesaian Tesis ini, penulis telah mendapatkan banyak dukungan moral maupun material dari banyak pihak. Atas bantuan yang telah diberikan penulis ingin menyampaikan penghargaan dan ucapan terima kasih yang sebesar-besarnya kepada :

1. Bapak Prof. Ir. I Nyoman Pujawan, M.Eng, Ph.D, CSCP selaku Kepala Departemen Program Studi Magister Manajemen Teknologi.
2. Bapak Dr. Tech, Ir. R. V. Hari Ginardi, M.Sc. selaku Kepala Program Studi Manajemen Teknologi, dosen wali, serta dosen penguji yang telah memberikan bimbingan, arahan, dan juga saran dalam penyelesaian Tesis ini.
3. Bapak Prof. Dr.Ing, Drs. M. Isa Irawan, MT selaku dosen pembimbing Tesis yang telah meluangkan waktu, tenaga dan pikiran dalam memberikan bimbingan, pengarahan, dan ilmu pengetahuan.
4. Bapak Daniel O. Siahaan, S.Kom, M.Sc, PD.Eng, selaku dosen penguji yang telah meluangkan waktu, memberikan bimbingan, arahan, dan juga saran dalam penyelesaian Tesis ini.
5. Seluruh dosen pengajar yang telah memberikan pengajaran dan ilmu yang begitu banyak. Serta seluruh karyawan MMT-ITS yang telah banyak membantu dalam berbagai hal selama masa perkuliahan. Terima kasih atas ilmu yang telah diajarkan kepada penulis.
6. Kedua orang tua serta keuarga yang selalu memberikan doa dan dukungan untuk kesuksesan dan kelancaran dalam penelitian ini.

7. Saudara Mbak Adiba, Lia, Naring, Mbak Tiar, Mas Ryco, Mbak Cecil selaku rekan seperjuangan penulis yang selalu bersama berbagi berbagai rasa baik selama menjadi mahasiswa kampus MMT-ITS ataupun dalam proses penyusunan Tesis ini. Terima kasih atas waktu, motivasi, bantuan dan dukungannya selama ini.
8. Teman-teman MTI angkatan 2017 yang selalu memotivasi, mengingatkan, memberi masukan, dan selalu memberi suntikan semangat kepada penulis dalam penyusunan Tesis ini.
9. Fadhlhan Septianto E.P yang selalu memberikan dukungan, semangat kepada penulis dalam menyelesaikan Tesis ini.
10. M. Hamim Zajuli Alfaroby yang yang telah membantu belajar dan memahami dalam pengerjaan Tesis ini.
11. Semua pihak yang tidak dapat disebutkan satu persatu, yang telah banyak memberikan berbagai macam bantuan dalam penyusunan Tesis ini.
12. Teman-teman kerja khususnya Bunga dan Nancy yang telah memberikan dukungannya.

Akhir kata, penulis berharap Tesis ini dapat memberikan manfaat kepada pembaca mengenai proses menganalisis fitur lagu dengan memanfaatkan teknologi informasi yang ada saat ini. Penulis menyadari bahwa Tesis ini masih jauh dari kata sempurna dan memiliki banyak kekurangan. Oleh karena itu, dengan kerendahan hati penulis mengharapkan masukan dan saran yang membangun dari pembaca untuk perbaikan ke depan dan memberikan manfaat bagi semua pihak yang berkepentingan.

Surabaya, Juni 2019

Chyntia Kumalasari Puteri

DAFTAR ISI

| | |
|---|------|
| LEMBAR PENGESAHAN | iii |
| ABSTRAK | v |
| ABSTRACT | vii |
| KATA PENGANTAR | ix |
| DAFTAR ISI..... | xi |
| DAFTAR GAMBAR | xv |
| DAFTAR TABEL..... | xvii |
| BAB 1 PENDAHULUAN | 1 |
| 1.1 Latar Belakang..... | 1 |
| 1.2 Rumusan Masalah | 3 |
| 1.3 Tujuan Penelitian..... | 3 |
| 1.4 Manfaat Penelitian..... | 3 |
| 1.5 Kontribusi Penelitian..... | 4 |
| 1.6 Batasan Penelitian | 4 |
| 1.7 Sistematika Penulisan..... | 4 |
| BAB 2 KAJIAN PUSTAKA..... | 7 |
| 2.1 Kajian Penelitian Terdahulu | 7 |
| 2.2 Musik Sebagai Sarana Terapi..... | 9 |
| 2.3 Spotify | 10 |
| 2.3.1 Fitur Audio Spotify | 11 |
| 2.4 Normalisasi Data | 13 |
| 2.4.1 Normalisasi Min-Max | 13 |
| 2.4.2 Normalisasi Kolom Statistical..... | 13 |
| 2.4.3 Normalisasi Sigmoid..... | 14 |
| 2.5 Pengelompokan (<i>Clustering</i>)..... | 14 |
| 2.6 Jaringan Syaraf Tiruan (<i>Neural Network</i>)..... | 15 |
| 2.6 Arsitektur Jaringan Syaraf Tiruan | 16 |
| 2.6.1 Jaringan dengan Lapisan Tunggal..... | 16 |
| 2.6.2 Jaringan dengan Banyak Lapisan | 17 |

| | | |
|---------|---|----|
| 2.7 | Kohonen Self Organizing Maps (SOM) | 18 |
| 2.7.1 | Pembobotan | 19 |
| 2.7.2 | Algoritma Kohonen SOM | 20 |
| 2.8 | Davies-Bouldin Index (DBI)..... | 22 |
| 2.9 | Regresi Linier Berganda | 24 |
| 2.9.1 | Uji Asumsi Klasik | 24 |
| 2.9.1.1 | Uji Normalitas..... | 24 |
| 2.9.1.2 | Uji Multikolinieritas..... | 25 |
| 2.9.1.3 | Uji Heteroskedastisitas..... | 25 |
| 2.9.2 | Uji Hipotesis | 26 |
| 2.9.2.1 | Koefisien Determinasi..... | 26 |
| 2.9.2.2 | Uji T (Uji Parsial)..... | 26 |
| BAB 3 | METODOLOGI PENELITIAN | 29 |
| 3.1 | Diagram Alir Metode Penelitian..... | 29 |
| 3.2 | Studi Literatur | 30 |
| 3.3 | Pengumpulan Data..... | 31 |
| 3.4 | <i>Preprocessing</i> Data..... | 32 |
| 3.4.1 | Pembersihan Data | 33 |
| 3.4.2 | Normalisasi Data | 33 |
| 3.5 | Pengolahan dan Analisa Data | 33 |
| 3.5.1 | Validasi <i>Cluster</i> Menggunakan DBI | 34 |
| 3.5.2 | Penentuan <i>Cluster</i> Terbaik Berdasarkan Jumlah Streaming | 34 |
| 3.5.3 | Analisis Fitur yang Berpengaruh Signifikan pada <i>Cluster</i> | 35 |
| 3.6 | Menghitung / Cek Nilai Akurasi pada Hasil Clustering | 35 |
| 3.7 | Penarikan Kesimpulan dan Saran | 36 |
| BAB 4 | HASIL PENELITIAN DAN PEMBAHASAN..... | 37 |
| 4.1 | Persiapan Data | 37 |
| 4.2 | <i>Preprocessing</i> Data..... | 37 |
| 4.2.1 | Pembersihan Data..... | 37 |
| 4.2.2 | Normalisasi Data | 37 |
| 4.3 | Pengelompokan (<i>Clustering</i>) Data Menggunakan <i>Kohonen SOM</i> | 41 |
| 4.3.1 | Pengelompokan dengan <i>Epoch</i> 10 | 42 |

| | | |
|---------|---|-----|
| 4.3.2 | Pengelompokan dengan <i>Epoch</i> 20..... | 43 |
| 4.3.3 | Pengelompokan dengan <i>Epoch</i> 30..... | 44 |
| 4.3.4 | Pengelompokan dengan <i>Epoch</i> 40..... | 45 |
| 4.3.5 | Pengelompokan dengan <i>Epoch</i> 50..... | 46 |
| 4.3.6 | Pengelompokan dengan <i>Epoch</i> 60..... | 47 |
| 4.3.7 | Pengelompokan dengan <i>Epoch</i> 70 – 500..... | 48 |
| 4.4 | Validasi <i>Cluster</i> Menggunakan DBI..... | 51 |
| 4.5 | Penentuan <i>Cluster</i> Terbaik Berdasarkan Jumlah <i>Streaming</i> | 52 |
| 4.6 | Analisa Fitur yang Berpengaruh Signifikan Menggunakan Regresi Linier Berganda | 54 |
| 4.6.1 | Identifikasi Variabel | 54 |
| 4.6.2 | Uji Asumsi Klasik..... | 55 |
| 4.6.2.1 | Uji Normalitas | 55 |
| 4.6.2.2 | Uji Multikolinearitas | 56 |
| 4.6.2.3 | Uji Heteroskedastisitas | 58 |
| 4.6.3 | Uji Hipotesis | 60 |
| 4.6.3.1 | Koefisien Determinasi | 60 |
| 4.6.3.2 | Uji T (Uji Parsial) | 61 |
| 4.7 | Menghitung / Cek Nilai Akurasi Hasil Clustering..... | 66 |
| BAB 5 | KESIMPULAN DAN SARAN..... | 71 |
| 5.1 | Kesimpulan | 71 |
| 5.2 | Saran..... | 72 |
| | DAFTAR PUSTAKA | 73 |
| | LAMPIRAN 1 Data Lagu Top 200 Chart Global | 77 |
| | LAMPIRAN 2.1 Data Fitur Audio Danceability – Accousticness | 83 |
| | LAMPIRAN 2.2 Data Fitur Audio Instrumentalness – Mode | 89 |
| | LAMPIRAN 4.1 Detail Lagu dan Nilai Fitur Audio dari <i>Cluster</i> 2 | 95 |
| | LAMPIRAN 4.2 Kelompok Lagu dan Nilai Fitur <i>Loudness - Danceability</i> pada Mode 0 | 99 |
| | LAMPIRAN 4.3 Tabel Distribusi t (df = 1 – 40)..... | 109 |
| | BIODATA PENULIS | 111 |

DAFTAR GAMBAR

| | |
|--|----|
| Gambar 2. 1 Tampilan Aplikasi Spotify | 10 |
| Gambar 2. 2 Struktur Neuron pada Jaringan Syaraf Tiruan..... | 15 |
| Gambar 2. 3 Jaringan dengan Lapisan Tunggal | 17 |
| Gambar 2. 4 Jaringan dengan Banyak Lapisan..... | 18 |
| Gambar 2. 5 Arsitektur Kohonen SOM | 19 |
| Gambar 3. 1 Diagram Alir Metode Penelitian..... | 30 |
| Gambar 3. 2 Tampilan <i>spotifycharts.com</i> | 31 |
| Gambar 3. 3 Proses <i>Clustering</i> | 34 |
| Gambar 4. 1 Plot 3 Dimensi pada Fitur Audio <i>Danceability</i> , <i>Energy</i> , dan <i>Liveness</i> | 49 |
| Gambar 4. 2 Persentase <i>cluster</i> Berdasarkan Jumlah <i>Streaming</i> | 54 |

DAFTAR TABEL

| | |
|---|----|
| Tabel 2. 1 Penelitian Terdahulu | 7 |
| Tabel 4. 1 Tabel Data Input Fitur Audio Sebelum Dinormalisasi..... | 38 |
| Tabel 4. 2 Tabel Data Input Fitur Audio Setelah Dinormalisasi..... | 40 |
| Tabel 4. 3 Parameter jaringan SOM..... | 41 |
| Tabel 4. 4 Hasil <i>Clustering</i> dengan <i>epoch</i> = 10..... | 42 |
| Tabel 4. 5 Hasil <i>Clustering</i> dengan <i>epoch</i> = 20..... | 43 |
| Tabel 4. 6 Hasil <i>Clustering</i> dengan <i>epoch</i> = 30..... | 44 |
| Tabel 4. 7 Hasil <i>Clustering</i> dengan <i>epoch</i> = 40..... | 45 |
| Tabel 4. 8 Hasil <i>Clustering</i> dengan <i>epoch</i> = 50..... | 46 |
| Tabel 4. 9 Hasil <i>Clustering</i> dengan <i>epoch</i> = 60..... | 47 |
| Tabel 4. 10 Hasil <i>Clustering</i> dengan <i>epoch</i> = 70, 80, 90, 100, 200, 300, 400, dan 500..... | 48 |
| Tabel 4. 11 Jumlah Lagu dari Tiap Cluster..... | 50 |
| Tabel 4. 12 Kategori Mode dari tiap <i>cluster</i> | 50 |
| Tabel 4. 13 Hasil Validasi <i>Cluster</i> Menggunakan Davies-Bouldin Index (DBI) . | 51 |
| Tabel 4. 14 Jumlah <i>streaming</i> dari tiap <i>cluster</i> | 52 |
| Tabel 4. 15 Urutan <i>cluster</i> terbaik berdasarkan jumlah <i>streaming</i> | 53 |
| Tabel 4. 16 Hasil Uji Normalitas | 55 |
| Tabel 4. 17 Hasil Uji Multikolinearitas..... | 56 |
| Tabel 4. 18 Hasil Uji Heteroskedastisitas | 58 |
| Tabel 4. 19 Hasil Koefisien Determinasi (<i>R</i> 2)..... | 61 |
| Tabel 4. 20 Hasil Uji T (Uji Parsial) | 62 |
| Tabel 4. 21 Kelompok Lagu dengan nilai <i>loudness</i> dari <i>Cluster</i> 2 | 66 |
| Tabel 4. 22 Data yang Salah pada <i>Cluster</i> 2 | 68 |

BAB 1

PENDAHULUAN

Bab ini dibahas mengenai latar belakang yang mendasari pelaksanaan Thesis ini. Selain itu, di dalamnya terdiri dari perumusan masalah, tujuan penelitian, manfaat penelitian, kontribusi penelitian, keterbaruan, batasan penelitian, dan sistematika penulisan.

1.1 Latar Belakang

Pada era digital dan kreativitas memberi pengaruh besar pada perkembangan industri musik. Musik telah menjadi bagian integral dari budaya kita sepanjang sejarah manusia atau bisa dikatakan saat ini music telah menjadi gaya hidup kita. Dengan berkembangnya teknologi, mendengarkan musik bisa dilakukan dimanapun dan kapapanpun dengan menggunakan berbagai macam media seperti radio, pemutar musik ataupun aplikasi musik digital (streaming music online). Layanan streaming musik memungkinkan pengguna mengakses jutaan trek dari komputer yang terhubung ke web secara legal dan gratis. Layanan ini sekarang dipandang sebagai jendela ke masa depan industri musik.

Menurut penelitian yang dilakukan oleh Felix Richter, konsumsi streaming musik online telah meningkat sebesar 76,4% dari 2015 hingga 2016, sedangkan penjualan pada album CD, digital, dan setiap trek telah menurun hingga 16,3%; 20,1%; dan 25,0% [1]. Pada tahun 2017, industri musik menghasilkan \$8,72 miliar di Amerika Serikat. Pada tahun 2019, diharapkan prediksi pendapatan dari segmen musik digital mencapai US \$12,424 juta. Pendapatan tersebut diharapkan dapat menghasilkan volume pasar sebesar US \$ 13,627 juta pada tahun 2023. Untuk saat ini, segmentasi pasar terbesar adalah penggunaan musik streaming dengan volume pasar yang diprediksi mencapai US \$ 10.472 juta pada tahun 2019 [2]. Sehingga, berkat pertumbuhan layanan streaming musik (Spotify, Apple Music, dll), industri musik terus berkembang dimana lagu-lagu populer mengamankan bagian terbesar dari pendapatan yang dihasilkan [3]. Spotify adalah layanan streaming musik terbesar di dunia, dengan lebih dari 24 juta pengguna

aktif di seluruh dunia dan hampir 6 juta membayar antara \$5 dan \$10 per bulan untuk menggunakan layanan ini [4].

Adanya peningkatan ini memungkinkan pelaku bisnis / produser musik untuk meningkatkan keuntungan bisnisnya dengan menganalisis musik tersebut agar musik yang dihasilkan memiliki kualitas musik yang baik. Musik sendiri memiliki salah satu fungsi, yaitu sebagai sarana terapi. Terapi musik banyak digunakan untuk mengatasi berbagai permasalahan seperti untuk menurunkan stres [8], meningkatkan well-being [9], dan lain sebagainya. Sehingga sangat bagus bagi pelaku bisnis apabila dapat mengembangkan keuntungan bisnisnya dengan menganalisis musik agar musik tersebut bisa disukai oleh para pendengar sehingga dapat pula dijadikan sebagai terapi musik.

Dalam menganalisis suatu musik, mengetahui fitur audio yang membuat lagu tersebut suka didengar tentunya sangat menentukan agar musik tersebut dapat dinikmati oleh masyarakat. Pada layanan streaming musik, memiliki fitur audio yang berbeda-beda. Pada penelitian ini, layanan streaming musik yang digunakan adalah Spotify. Pada setiap lagu yang dimiliki oleh Spotify terdapat 13 fitur audio, yaitu danceability, energy, key, loudness, mode, dan lain sebagainya. Spotify juga menyediakan web yang berisi mengenai Top charts berdasarkan banyaknya streaming dari pelanggan spotify, yaitu spotifycharts.com. Top charts tersebut disediakan dari semua negara, termasuk Global. Top charts Global ini menjadi data yang akan digunakan pada penelitian ini.

Oleh karena itu, untuk mengetahui fitur audio yang sangat disukai oleh masyarakat pengguna dapat dilakukan dengan melakukan pengolahan dan analisis data dengan memanfaatkan teknologi informasi dan komunikasi khusunya di bidang data mining, yaitu metode clustering. Metode yang paling sering digunakan dan merupakan metode yang paling ideal dalam analisis clustering adalah metode Kohonen Self Organizing Maps (SOM). Pengelompokan (clustering) dengan Kohonen SOM mampu mengelompokkan dokumen dengan konteks dan isi yang mirip [5]. SOM merupakan salah satu metode dalam Jaringan Saraf Tiruan (Neural Network) yang menggunakan pembelajaran tanpa pengarahan (unsupervised learning). Data yang digunakan dalam penelitian ini

akan dikelompokkan berdasarkan banyaknya streaming yang dilakukan oleh pelanggan Spotify.

Berdasarkan uraian permasalahan yang telah dijelaskan di atas, maka penulis melakukan penelitian yang berjudul “**Analisis Fitur Popularitas Lagu Pada Bisnis Layanan Streaming Musik Digital Untuk Peningkatan Kualitas Musik Menggunakan Algoritma Kohonen Self Organizing Maps (SOM)**” agar dapat membantu pelaku bisnis di industri musik dengan memberikan saran / informasi agar dapat meningkatkan kualitas musik sehingga musik tersebut dapat lebih disukai dan bermanfaat bagi masyarakat pengguna.

1.2 Rumusan Masalah

Berdasarkan latar belakang di atas, rumusan masalah dari Tesis ini adalah :

1. Bagaimana pengelompokan fitur audio pada Spotify menggunakan metode *Kohonen Self Organizing Maps* ?
2. Bagaimana mengidentifikasi analisis hasil *clustering* untuk mengetahui fitur audio yang paling berpengaruh signifikan agar lagu lebih disukai dan bermanfaat bagi pendengar ?

1.3 Tujuan Penelitian

Tujuan dari penelitian dari Tesis ini adalah :

1. Untuk menerapkan proses *clustering* fitur audio berdasarkan jumlah pendengar (*streaming*) menggunakan metode *Kohonen Self Organizing Maps*.
2. Untuk mengidentifikasi fitur audio yang berpengaruh signifikan terhadap jumlah *streaming* agar dapat digunakan sebagai saran kepada produser musik sehingga lagu lebih disukai dan bermanfaat bagi pendengar.

1.4 Manfaat Penelitian

Manfaat dari penelitian ini adalah :

1. Dapat membantu produser musik untuk menentukan sebuah pilihan yang efektif dalam membuat musik agar lebih populer.

2. Dapat memberikan masukan / saran untuk produser musik agar dapat meningkatkan popularitas lagu dengan mengetahui fitur-fitur audio yang disukai oleh pendengar.

1.5 Kontribusi Penelitian

Kontribusi dari penelitian ini adalah memberikan informasi bagi produser musik dalam menentukan fitur audio yang dibutuhkan agar lagu tersebut disukai oleh pendengar.

1.6 Batasan Penelitian

Penelitian ini memiliki ruang lingkup yang akan menjadi batasan dalam penelitian ini. Batasan penelitian ini antara lain:

1. Data lagu yang digunakan pada penelitian ini yaitu Lagu Top 200 Global.
2. Pendengar (*streamer*) yang digunakan pada penelitian ini yaitu Global.
3. Periode data lagu yang diambil adalah *weekly* pada Tanggal 17 Januari 2019.

1.7 Sistematika Penulisan

Sistematika penulisan laporan penelitian ini adalah sebagai berikut :

1. BAB 1 PENDAHULUAN

Bab ini berisi pendahuluan yang menjelaskan latar belakang permasalahan, perumusan masalah, tujuan penelitian, manfaat penelitian, kontribusi penelitian, batasan penelitian serta sistematika penulisan.

2. BAB 2 KAJIAN PUSTAKA

Bab ini berisi kajian terhadap teori dan penelitian-penelitian yang sudah ada sebelumnya. Kajian pustaka ini bertujuan untuk memperkuat dasar dan alasan dilakukan penelitian.

3. BAB 3 METODOLOGI PENELITIAN

Bab ini berisi mengenai rancangan penelitian, lokasi dan tempat penelitian, serta tahapan-tahapan sistematis yang digunakan selama melakukan penelitian.

4. BAB 4 HASIL PENELITIAN DAN PEMBAHASAN

Bab ini berisi mengenai rancangan penelitian, lokasi dan tenpat penelitian, serta tahapan-tahapan sistematis yang digunakan selama melakukan penelitian.

5. BAB 5 KESIMPULAN DAN SARAN

Bab ini berisi mengenai rancangan penelitian, lokasi dan tenpat penelitian, serta tahapan-tahapan sistematis yang digunakan selama melakukan penelitian.

6. DAFTAR PUSTAKA

Berisi daftar referensi yang digunakan dalam penelitian ini, baik jurnal, buku, maupun artikel.

7. LAMPIRAN

Berisi daftar referensi yang digunakan dalam penelitian ini, baik jurnal, buku, maupun artikel.

BAB 2

KAJIAN PUSTAKA

Bab ini menjelaskan mengenai teori-teori yang digunakan dan terkait dalam penyusunan tesis serta kajian pustaka yang diambil dari penelitian-penelitian sebelumnya yang relevan. Kajian pustaka ini selanjutnya akan dibangun sebagai landasan dalam melakukan penelitian ini.

2.1 Kajian Penelitian Terdahulu

Pada bagian ini akan dijelaskan beberapa penelitian yang terkait dengan penelitian yang akan dilakukan. Penelitian-penelitian yang akan dibahas merupakan beberapa penelitian mengenai *analisis musik* dan *metode Kohonen SOM*. Dengan memperhatikan penelitian-penelitian tersebut dapat diketahui bagaimana analisis dan teori-teori yang telah dilakukan dalam penelitian sebelumnya terkait dengan penelitian ini.

Berikut ini adalah penelitian terdahulu yang terkait dengan musik dan metode *Kohonen Self Organizing Maps (SOM)* yang dapat dilihat pada Tabel 2.1 di bawah ini.

Tabel 2. 1 Penelitian Terdahulu

| No | Judul | Data dan Atribut | Metode dan Tujuan Penelitian | Hasil |
|----|--|--|---|---|
| 1. | <i>Self-Organization Maps for Content-Based Music Clustering</i> | <ul style="list-style-type: none">• Data : 230 buah musik (music klasik dan hits tahun 1960)• Atribut : - Genre musik - Karakteristik suara | <ul style="list-style-type: none">• Metode : <i>Self- Organizing Maps</i>• Tujuan : Menyajikan sistem berdasarkan <i>Self-Organizing Map</i> yang secara | Dengan menggunakan pendekatan SOM, 230 lagu tersebut potongan-potongan musik yang sama ditemukan di daerah tentangga pada peta <i>SOM</i> . |

| | | | | |
|----|--|--|--|---|
| | | | <p>otomatis mengatur koleksi file musik sesuai dengan musical genre dan karakteristik suara.</p> | Pendekatan yang disajikan ini memberikan organisasi musik yang baik pada ukuran peta 2 dimensi. |
| 2. | <p><i>An Analytical Approach Based on Self Organizing Maps (SOM) in Indian Classical Music Raga Clustering</i></p> | <ul style="list-style-type: none"> • Data : <ul style="list-style-type: none"> Musik Raaga Data set <ul style="list-style-type: none"> • Raaga Abheri • Raaga Hamsadwani • Raaga Ananda • Bhairavi • Raaga Behag • Raaga Hindolan • Atribut : <ul style="list-style-type: none"> Raaga berdasarkan <i>Pitch Class Profiles (PCP)</i> | <ul style="list-style-type: none"> • Metode : <ul style="list-style-type: none"> <i>Self- Organizing Map (SOM)</i> • Tujuan : <ul style="list-style-type: none"> Sejarah musik klasik India sudah sangat tua dan kebutuhan untuk mengidentifikasi musik berdasarkan raga sangat membantu para profesional musik dan pengguna domestik untuk mengidentifikasi dan mendeteksi jenis-jenis raga dan menggunakan yang sama tanpa bantuan atau ketersediaan ahli. | Segmentasi musik klasik India merupakan masalah yang dapat dengan mudah diselesaikan dengan pendekatan SOM dengan menggunakan pr- pemrosesan data untuk mengetahui PCP (profil kelas pitch) dari data musik berdasarkan distribusi frekuensi yang sama. |

| | | | | |
|----|---|---|---|---|
| 3. | <p><i>Music Mood Visualization Using Self-Organizing Maps</i></p> | <ul style="list-style-type: none"> • Data : 15 lagu berdasarkan representasi SOM • Atribut : Mood musik yaitu <i>valence</i> dan <i>arousal</i> | <ul style="list-style-type: none"> • Metode : <i>Self- Organizing Maps</i> • Tujuan : Menyajikan pendekatan untuk representasi grafis dari suasana hati (<i>mood</i>) lagu berdasarkan <i>Self-Organizing Maps</i>. | Hasil yang dicapai dapat mengarah pada kesimpulan bahwa SOM adalah alat yang ampuh untuk memvisualisasikan dataset musik berdasarkan mood distribusi musik. |
|----|---|---|---|---|

2.2 Musik Sebagai Sarana Terapi

Dalam perkembangannya, musik selalu berkembang mengikuti perkembangan aktif dari masyarakat. Pada zaman dahulu, musik digunakan sebagai katalis untuk menstimulasi emosi dan mengantarkan individu pada kondisi istirahat dan relaksasi sampai kemudian orang-orang Yunani pada abad kelima sebelum masehi menggunakan jenis musik tertentu untuk mengatasi orang-orang yang memiliki masalah [6]. Musik yang digunakan untuk penyembuhan pada perkembangannya mengilhami lahirnya terapi musik.

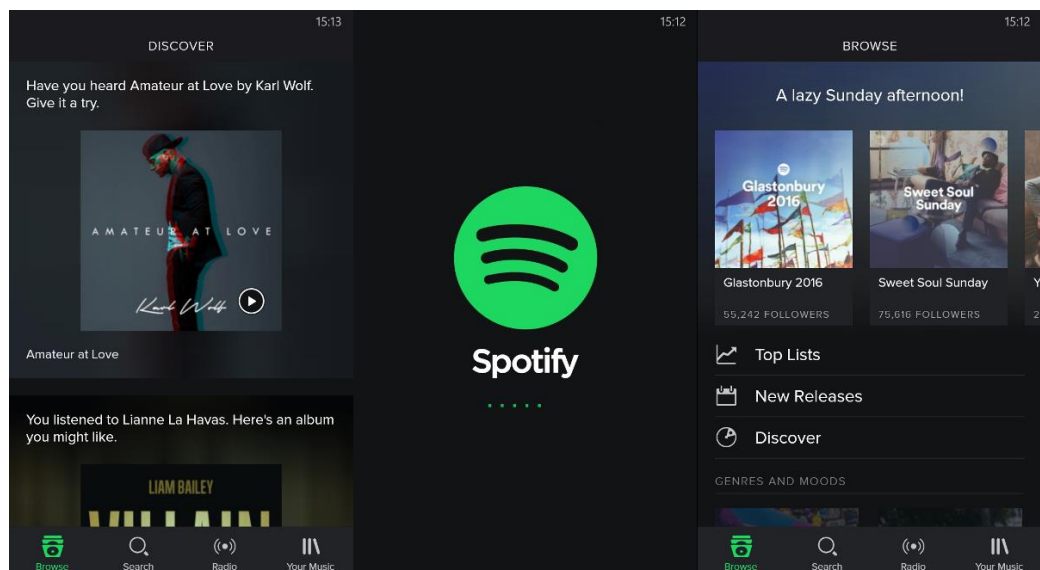
Terapi musik merupakan terapi yang dilakukan menggunakan musik dan aktivitas musik untuk memfasilitasi proses terapi dalam membantu kliennya. Sebagaimana halnya terapi yang merupakan upaya yang dirancang untuk membantu orang dalam konteks fisik atau mental, terapi musik mendorong klien untuk berinteraksi, improvisasi, mendengarkan, atau aktif bermain musik [7].

Selama ini terapi musik banyak digunakan untuk mengatasi berbagai permasalahan seperti untuk menurunkan stres [8]. Musik juga digunakan sebagai media untuk meningkatkan *well-being* [9], dan sebagai media intervensi untuk pengembangan kemampuan anak autis [10].

Penelitian-penelitian tersebut menunjukkan jika terapi musik memiliki manfaat untuk menurunkan stress, meningkatkan *well-being* individu dan bahkan dapat dikembangkan sebagai media untuk optimalisasi perkembangan kemampuan penyandang autis karena musik yang mampu menjembatani komunikasi antara terapis dengan subjek dalam komunikasi verbal maupun non-verbal. Selain itu, musik juga menyediakan media relaksasi dengan komunikasi lewat ritme, mendengarkan musik, isyarat non-verbal, eksplorasi, gerakan, dan improvisasi [11].

2.3 Spotify

Spotify pertama kali diluncurkan pada Oktober 2008 di Eropa. Pendiri Daniel Ek, melihat peluang untuk memanfaatkan teknologi baru untuk menciptakan produk yang lebih baik daripada pembajakan [5]. Spotify adalah layanan streaming musik digital, podcast, dan video yang memberi kita akses ke jutaan lagu dan konten lain dari artis di seluruh dunia [12]. Gambar 2.1 di bawah ini menunjukkan tampilan spotify yang dilihat dari Laptop.



Gambar 2. 1 Tampilan Aplikasi Spotify

Fungsi Spotify ini sangat mirip dengan layanan pengunduhan yang populer, yaitu iTunes. Musik dapat di broswing menggunakan alat pencarian berdasarkan trek nama, artis atau album. Pengguna memiliki opsi untuk mendaftar akun gratis,

didukung oleh iklan visual dan iklan dengan gaya radio, atau untuk satu dari dua langganan berbayar, yang bebas iklan dan menawarkan berbagai fitur tambahan, seperti aliran bitrate lebih tinggi dan akses offline ke musik. Di Amerika Serikat, ada tiga jenis akun Spotify, yaitu : Spotify Gratis, Unlimited, dan Spotify Premium.

Dengan menawarkan opsi freemium, Spotify berharap untuk mendorong pengguna gratis untuk mengonversi ke pengguna yang membayar. Langganan berbayar sepenuhnya bebas dari iklan dan waktu mendengarkan tidak terbatas. Langganan tanpa batas sebesar \$ 4,99 per bulan memungkinkan akses tak terbatas ke katalog mereka di desktop komputer; berlangganan premium \$ 9,99 per bulan menawarkan mendengarkan tanpa batas dan memungkinkan pengguna untuk mengakses Spotify di perangkat seluler dan akses offline ke daftar putar [14].

2.3.1 Fitur Audio Spotify

Sebagai sebuah platform musik streaming, aplikasi Spotify dapat dijalankan pada berbagai perangkat digital seperti ponsel, desktop, tablet, speaker, smart tv, hingga perangkat audio berbasis bluetooth. Spotify juga menyediakan fitur, seperti Top Charts by Country, Viral 50, dan masih banyak lagi. Berikut ini adalah beberapa fitur audio dalam platform Spotify [15].

1. **Danceability** adalah seberapa cocok lagu tersebut untuk menari dalam rentang 0 (paling tidak cocok untuk menari) hingga 1 (paling cocok untuk menari).
2. **Energy**. Energi pada sebuah lagu mengindikasikan intensitas emosi dan tekanan dalam lagu tersebut. Energi dihitung dengan skala 0 sampai 1 [14]. Energi dalam suatu lagu membuat pendengarnya merasa energik, ataupun sebaliknya [15].
3. **Key** memetakan nada dari lagu menggunakan notasi standar Pitch Class (0 = C, 1 = C♯ / D♭ , 2 = D, dll).
4. **Loudness** adalah tingkat kebisingan lagu dalam desibel, di mana skor rata-rata semua lagu tersebut dibandingkan dengan relative kenyaringan dengan tipikal skor dari -60db dan 0 db.

5. **Mode** adalah modalitas dari sebuah lagu, di mana mayor diwakili oleh 1 sedangkan minor diwakili oleh 0.
6. **Speechiness** adalah kemunculan kata-kata yang diucapkan dalam sebuah lagu. Jika rentangnya 0,33 hingga 0,66, lagu tersebut dapat terdiri dari musik dan ucapan; $> 0,66$ menunjukkan bahwa trek dapat terdiri dari kata-kata yang diucapkan dan $< 0,33$ menunjukkan bahwa lagu tersebut paling mungkin mewakili musik tanpa suara manusia.
7. **Accousticness** adalah tingkat musik dalam lagu tanpa amplifikasi elektronik dalam rentang 0 hingga 1.
8. **Instrumentalness** adalah jumlah nyanyian manusia yang terkandung dalam sebuah lagu dalam rentang 0 hingga 1. Semakin tinggi nilainya, semakin tinggi kemungkinan lagu tersebut tidak mengandung vokal.
9. **Liveness** mengukur keberadaan pemirsa dalam rekaman, di mana skor liveness yang lebih tinggi meningkatkan kemungkinan bahwa lagu tersebut adalah siaran langsung.
10. **Valence** menunjukkan sikap suatu lagu dengan fitur yang digunakan untuk menggambarkan positif atau negatif suatu emosi [15]. Dalam Spotify, valensi bernilai 0 sampai 1. Lagu dengan valensi tinggi terdengar lebih positif seperti senang, ceria, atau gembira. Sebaliknya, lagu dengan valensi yang rendah akan lebih negatif seperti sedih, tertekan, atau marah [18].
11. **Tempo** adalah perkiraan kecepatan lagu dalam Beats per Minute (BPM). Tempo menggambarkan hubungan antara kecepatan dan intensitas emosi dalam suatu lagu. Tempo yang tinggi dalam suatu lagu umumnya memiliki energi yang lebih tinggi dan cepat jika dibandingkan dengan lagu yang memiliki tempo rendah [16].
12. **Duration** adalah panjang trek dalam *milliseconds*.
13. **Time_signature** adalah perkiraan tanda waktu keseluruhan dari sebuah trek lagu. Tanda waktu (meter) adalah konvensi notasi untuk menentukan berapa banyak ketukan di setiap bar (atau ukuran).

2.4 Normalisasi Data

Sebelum dilakukan pengelompokan (*clustering*) data terlebih dahulu dilakukan normalisasi, agar data tersebut lebih mudah diolah dan diinterpretasikan hasilnya. Tujuan dari normalisasi data ini adalah agar derajat keanggotaan yang baru mempunyai nilai minimal 0 dan maksimal 1 atau [0,1]. Untuk proses normalisasi data terbagi menjadi beberapa cara, diantaranya adalah sebagai berikut :

2.4.1 Normalisasi Min-Max

Dengan cara normalisasi I ini, data yang menjadi *input*-an ini harus ditransformasikan antara *range* (0,1). Untuk menormalisasikan sebuah data ke dalam interval [0,1] menggunakan cara I ini, maka digunakan persamaan 2. 1 berikut ini [26].

$$F(X) = \frac{X - X_{min}}{X_{max} - X_{min}} * (BA - BB) + BB \quad (2.1)$$

dengan :

- $F(X)$ = Nilai normalisasi
- X = Besar nilai tiap rekaman data *input*
- X_{max} = Besar nilai data maksimum dalam satu kolom
- X_{min} = Besar nilai data minimum dalam satu kolom
- BA = Batas bawah skala (dalam penskalaan data ini adalah 1)
- BB = Batas atas skala (dalam penskalaan data ini adalah 0)

Menurut penelitian yang dilakukan Nurul Chamidah dan Wiharto, metode normalisasi yang memberikan efektifitas terbaik dalam hal akurasi dan kecepatan konvergensi adalah dengan metode normalisasi min-max [30].

2.4.2 Normalisasi Kolom Statistical

Untuk menormalisasi tiap sampel dengan sebuah nilai kolom ternormalisasi yakni dengan transformasi *sqrt* [30], yakni dengan menghitung

normalisasi dari tiap kolom dengan mengakar kuadratkan kemudian setiap sampel dibagi dengan nilai normalisasi kolom tersebut dan dikalikan dengan nilai bias kecil. Untuk menormalisasikan sebuah data menggunakan normalisasi kolom statistical ini, maka digunakan persamaan 2.2 berikut ini [30].

$$X' = \frac{X_i - n(C_a)}{n(C_a)} * 0.1 \quad (2.2)$$

dengan :

- X' = Nilai normalisasi

2.4.3 Normalisasi Sigmoid

Metode ini mengubah nilai kedalam range antara 0 dan 1 atau ke dalam interval $[0,1]$ dengan fungsi sigmoid dengan menggunakan persamaan 2.3 berikut ini :

$$X' = \frac{1}{1+e^{-s}} \quad (2.3)$$

dengan :

- X' = Nilai normalisasi

2.5 Pengelompokan (*Clustering*)

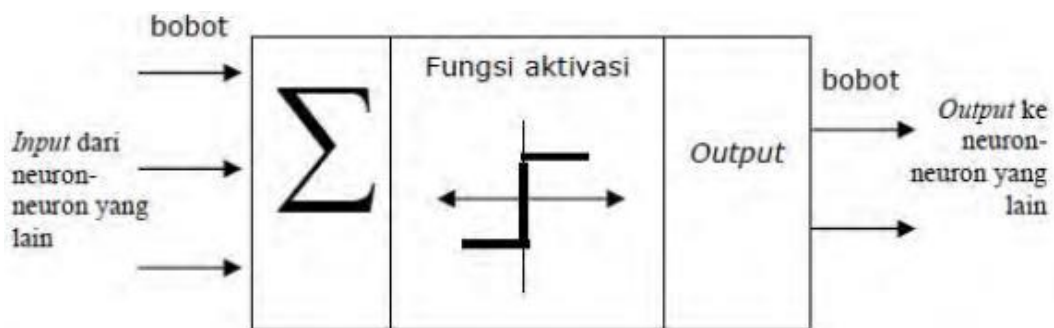
Clustering yaitu suatu metode untuk membagi data ke dalam sejumlah kelompok tertentu berdasarkan ukuran kedekatan atau kemiripan atribut yang dimiliki antara data-data tersebut [19]. Karakteristik untuk setiap *cluster* tercermin dari kemiripan data yang terkelompok di dalamnya, sehingga biasanya tidak ditentukan sebelumnya. *Cluster* merupakan pola yang terbentuk dari proses *clustering*. *Clustering* dapat digolongkan sebagai *unsupervised learning*, hal ini dikarenakan label kelas dalam suatu data belum diketahui kelasnya sehingga *clustering* dapat digunakan untuk memberikan label tersebut [20].

Hasil *clustering* yang baik mempunyai karakteristik yaitu suatu *instance* data dalam suatu *cluster* lebih “mirip” dengan *instance* lain yang berada dalam satu *cluster* yang sama dengan data tersebut. Sedangkan, suatu *instance* data dalam suatu *cluster* lebih jauh tingkat kemiripannya dengan *instance* lain yang berada dalam *cluster* yang berbeda dengan data tersebut [19]. Ukuran kemiripan dan jenis data yang digunakan bisa bermacam-macam dan mempengaruhi perhitungan dalam proses *clustering*.

2.6 Jaringan Syaraf Tiruan (*Neural Network*)

Jaringan Saraf Tiruan (*Neural Network*) merupakan salah satu representasi buatan dari otak manusia yang selalu mencoba mensimulasikan proses pembelajaran pada otak manusia tersebut. Istilah buatan di sini digunakan karena jaringan saraf ini diimplementasikan dengan menggunakan program komputer yang mampu menyelesaikan sejumlah proses perhitungan selama proses pembelajaran.

Seperti halnya otak manusia yang terdiri dari sekumpulan sel saraf (*neuron*), jaringan saraf juga terdiri dari beberapa *neuron* dan terdapat hubungan antara *neuron-neuron* tersebut. *Neuron-neuron* tersebut akan memindahkan informasi yang diterima melalui sambungan keluarnya menuju *neuron-neuron* yang lain. Pada jaringan saraf, hubungan ini dikenal dengan nama **bobot**. Informasi tersebut disimpan pada suatu nilai tertentu pada bobot tersebut. Gambar 2.3 menunjukkan struktur *neuron* pada jaringan saraf.



Gambar 2. 2 Struktur Neuron pada Jaringan Syaraf Tiruan

Pada neuron jaringan saraf tiruan, informasi (disebut pula dengan *input*) akan dikirim ke *neuron* dengan bobot kedatangan tertentu. *Input* ini akan diproses oleh suatu fungsi perambatan yang akan menjumlahkan nilai-nilai semua bobot yang datang. Hasil penjumlahan ini kemudian akan dibandingkan dengan suatu nilai ambang (*threshold*) tertentu melalui fungsi aktivasi setiap *neuron*. Apabila *input* tersebut melewati suatu nilai ambang tertentu, maka *neuron* tersebut akan diaktifkan. Apabila *neuron* tersebut diaktifkan, maka *neuron* tersebut akan mengirimkan keluaran (disebut dengan *output*) melalui bobot-bobot *output* nya ke semua *neuron* yang berhubungan dengannya, demikian seterusnya.

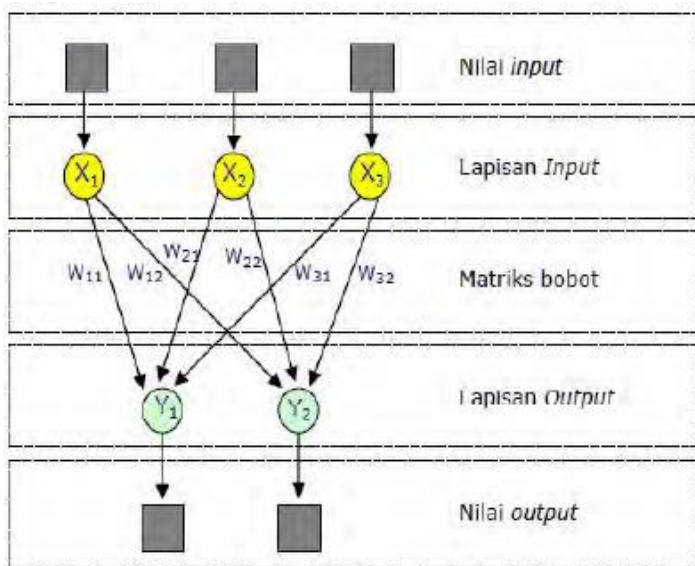
Pada Jaringan Saraf, *neuron-neuron* akan dikumpulkan dalam lapisan-lapisan (*layers*) yang disebut dengan lapisan *neuron* (*neuron layers*). Biasanya *neuron-neuron* pada satu lapisan akan dihubungkan dengan lapisan-lapisan sebelum dan sesudahnya (kecuali lapisan *input* dan *output*). Informasi yang diberikan pada Jaringan Saraf akan dirambatkan lapisan ke lapisan, mulai dari lapisan *input* sampai ke lapisan *output* melalui lapisan yang lainnya yang sering dikenal dengan nama lapisan tersembunyi (*hidden layers*). Tergantung pada algoritma pembelajarannya, bisa jadi informasi tersebut dirambatkan secara mundur pada jaringan.

2.6 Arsitektur Jaringan Syaraf Tiruan

Terdapat beberapa arsitektur dari jaringan syaraf tiruan (*neural network*) yang akan dijelaskan sebagai berikut.

2.6.1 Jaringan dengan Lapisan Tunggal

Jaringan dengan lapisan tunggal hanya memiliki satu lapisan dengan bobot-bobot terhubung. Jaringan ini hanya menerima *input* kemudian secara langsung akan mengolahnya menjadi *output* tanpa harus melalui lapisan tersembunyi, seperti yang terlihat pada Gambar 2.3 di bawah ini.



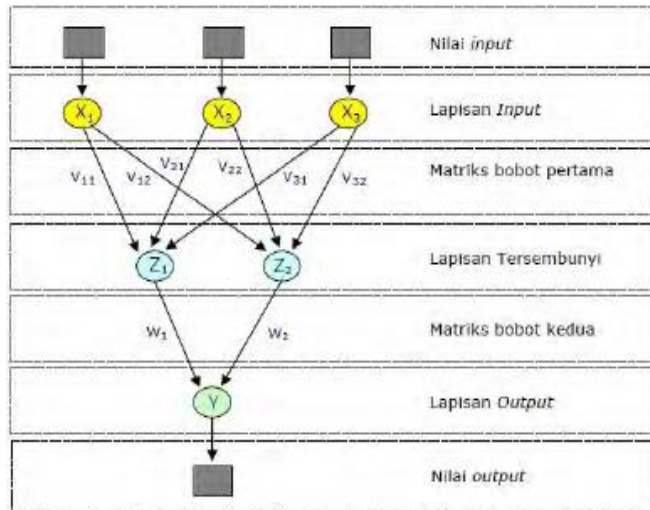
Gambar 2. 3 Jaringan dengan Lapisan Tunggal

Pada Gambar 2.3 di atas, lapisan *input* memiliki 3 neuron, yaitu x_1, x_2 dan x_3 . Sedangkan pada lapisan *output* memiliki 2 neuron yaitu y_1 dan y_2 . Neuron-neuron pada kedua lapisan saling berhubungan. Seberapa besar hubungan antara 2 neuron ditentukan oleh bobot yang bersesuaian. Semua unit *input* akan dihubungkan dengan setiap unit *output*.

2.6.2 Jaringan dengan Banyak Lapisan

Jaringan dengan banyak lapisan memiliki 1 atau lebih lapisan yang terletak diantara lapisan *input* dan lapisan *output* (memiliki 1 atau lebih lapisan tersembunyi). Umumnya, ada lapisan bobot-bobot yang terletak antara 2 lapisan yang bersebelahan. Setiap nilai yang diinputkan akan dikalikan dengan bobot yang terhubung ke tiap neuron pada lapisan tersembunyi, lalu dijumlah. Hasil penjumlahannya diinputkan pada fungsi aktivasi yang berlaku pada neuron lapisan tersembunyi tersebut untuk mendapatkan hasilnya. Kemudian, nilai hasil dari tiap neuron lapisan tersembunyi dikalikan dengan bobot yang terhubung ke masing-masing neuron pada sisi *output*. Hasil penjumlahannya dimasukkan pada fungsi aktivasi yang berlaku untuk mendapatkan nilai keluarannya. Jaringan dengan banyak lapisan ini dapat menyelesaikan permasalahan yang lebih sulit daripada lapisan dengan lapisan

tunggal, tentu saja dengan pembelajaran yang lebih rumit lama. Tampilan dari jaringan dengan banyak lapisan ditunjukkan pada Gambar 2.4 berikut ini.



Gambar 2. 4 Jaringan dengan Banyak Lapisan

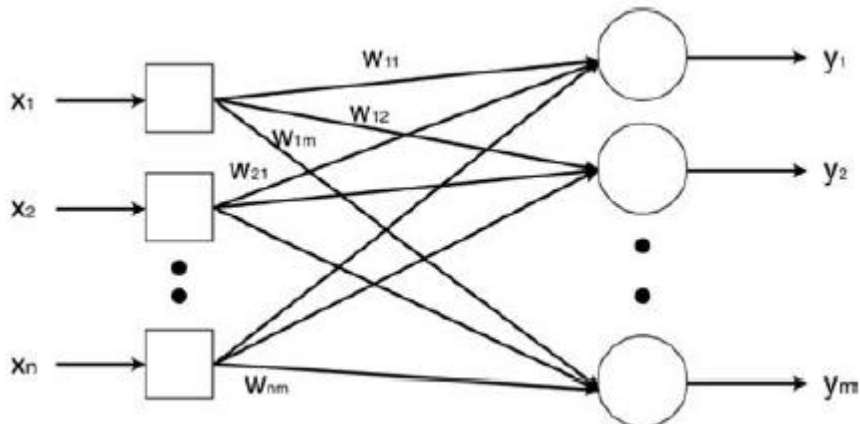
2.7 Kohonen Self Organizing Maps (SOM)

Kohonen Self Organizing Map (SOM) atau Jaringan Kohonen pertama kali diperkenalkan oleh Prof. Teuvo Kohonen pada tahun 1982. SOM merupakan salah satu metoda dalam Jaringan Saraf Tiruan (Neural Network) yang menggunakan pembelajaran tanpa pengarahan (*unsupervised learning*) [17]. Pada jaringan ini, suatu lapisan yang berisi neuron-neuron akan menyusun dirinya sendiri berdasarkan input nilai tertentu dalam suatu kelompok yang dikenal dengan istilah *cluster*. Selama proses penyusunan diri, *cluster* yang memiliki vektor bobot paling cocok dengan pola input (memiliki jarak paling dekat) akan terpilih sebagai pemenangnya. Neuron yang menjadi pemenang beserta neuron-neuron tetangganya akan memperbaiki bobot-bobotnya [24].

Arsitektur *Kohonen SOM* terdiri dari dua lapisan *layer*, yaitu lapisan *input* dan *output*. Setiap neuron pada lapisan *input* terhubung dengan setiap neuron pada lapisan *output*. Setiap neuron pada lapisan *output* merepresentasikan kelas kluster dari input yang diberikan. Jumlah *neuron* pemrosesnya adalah K kelompok, setiap data masukan dan bobot mempunyai hubungan pada setiap *neuron*. Arsitektur *Kohonen SOM* dapat digambarkan secara topografis, sehingga untuk dapat

memberikan visualisasi pengelompokan, setiap *neuron* dalam *Kohonen SOM* akan mewakili satu kelompok.

Dalam *Kohonen SOM* terdapat K *neuron* yang disusun dalam larik satu atau dua dimensi. Data masukan untuk setiap *neuron* dilewatkan pada bobot dengan jumlah elemen bobot yang sama dengan N fitur [22], maka arsitektur SOM akan memerlukan $N \times K$ bobot. Berikut ini adalah arsitektur dari metode *Kohonen SOM* yang ditunjukkan pada Gambar 2.5.



Gambar 2. 5 Arsitektur Kohonen SOM

Gambar 2.5 di atas merupakan arsitektur dari *Kohonen SOM* dimana terdapat n unit pada lapisan *input* dan m unit pada lapisan *output*. Selain itu, pada gambar tersebut terdapat simbol W_{nm} . Untuk penelitian ini saya gunakan $n = i$ dan $m = j$, sehingga W_{ij} merupakan sebuah bobot, bobot W_{ij} artinya bobot yang menghubungkan neuron ke- j pada lapisan input ke neuron ke- i pada lapisan output [23].

2.7.1 Pembobotan

Pembobotan awal pada metode *Kohonen SOM* ditentukan, dan selanjutnya proses pembaharuan bobot dilakukan dengan Persamaan 2.2, dimana bobot akan terus diperbaharui setiap iterasi. Sebuah iterasi muncul saat proses pembelajaran data diberikan dan bobot diperbaharui berdasarkan nilai pelatihan data. Pengaturan bobot akan menghasilkan sebuah jaringan yang akan memberikan nilai yang diinginkan pada saat pelatihan data yang

sama. Iterasi akan terus berlanjut dan data lebih banyak diberikan pada jaringan dan bobot dapat diperbaharui terus

2.7.2 Algoritma Kohonen SOM

Algoritma learning *unsupervised* pada Jaringan Kohonen SOM untuk diterapkan dalam pengelompokan data (*clustering* data) adalah sebagai berikut :

1. Langkah 1 : Neuron pada lapisan input (neuron input) sebanyak n dinotasikan sebagai $x_1, x_2, x_3, \dots, x_n$ dan neuron pada lapisan output (neuron output) sebanyak m dinotasikan sebagai $y_1, y_2, y_3, \dots, y_m$. Bobot koneksi antara neuron input dan output dinotasikan sebagai W_{ij} .
2. Langkah 2 : Menentukan bobot W_{ij} dengan menggunakan Persamaan (2.4):

$$W_{ij} = \frac{Min_{P_i} + Max_{P_i}}{2} \quad (2.4)$$

dengan :

Min_{P_i} = nilai terkecil pada variable *input* ke- i

Max_{P_i} = nilai terbesar pada variable *input* ke- i

3. Langkah 3: Ulangi langkah empat sampai langkah enam.
4. Langkah 4: Hitung jarak vektor input terhadap bobot koneksi di untuk masing-masing neuron output dengan menggunakan Persamaan (2.5) :

$$d_j = \sqrt{\sum_{i=1}^n (W_{ij} - x_i)^2} \quad (2.5)$$

dengan :

d_j = jarak vektor input terhadap koneksi ke output. semakin kecil angka pada d_j , maka jarak antara input dengan output akan semakin pendek.

W_{ij} = bobot koneksi antara neuron input dan output

x_i = input

5. Langkah 5: Menentukan indeks j sedemikian hingga d_j minimum
6. Langkah 6: Melakukan perbaikan nilai W_{ij} untuk setiap unit j disekitar J dengan menggunakan Persamaan (2.6) :

$$W_{ij\ baru} = W_{ij\ lama} + \alpha (x_i - W_{ij\ lama}) \quad (2.6)$$

dengan :

$W_{ij\ baru}$ = bobot koneksi antar neuron yang baru

$W_{ij\ lama}$ = bobot koneksi antar neuron yang lama

x_i = input

7. Langkah 7: Modifikasi laju pembelajaran α pada saat iterasi ke t ($t = 1, 2, 3, \dots$) dengan Persamaan (2.7) :

$$\alpha(t+1) = 0.5 \alpha(t) \quad (2.7)$$

dengan :

α = laju pembelajaran

t = iterasi

8. Langkah 8: Uji kondisi penghentian

Penyelesaian permasalahan pengelompokan (*clustering*) data menggunakan Jaringan SOM dipengaruhi oleh parameter-parameter seperti jumlah kelompok yang akan dibentuk, learning rate, maksimum iterasi (*epoch*) sehingga jika proses dilakukan beberapa kali dengan data masukan yang sama, akan berpengaruh pada pengelompokan data yang dihasilkan. Hal ini disebabkan pada Algoritma SOM untuk pengelompokan data terdapat pemilihan data secara acak (*random*).

2.8 Davies-Bouldin Index (DBI)

Metrik Davies-Bouldin Index (DBI) diperkenalkan oleh David L. Davies dan Donald W. Bouldin (1979) yang digunakan untuk mengevaluasi *cluster*. Validitas internal yang dilakukan adalah seberapa baik *clustering* yang sudah dilakukan, yaitu dengan menghitung kuantitas dan fitur turunan dari set data. *Sum of Square Within Cluster* (SSW) sebagai metrik kohesi dalam sebuah *cluster* ke-*i* dirumuskan oleh persamaan (2.8) [25].

$$SSW = \frac{1}{m_i} \sum_{n=1}^{m_i} d_n(x_j, c_i) \quad (2.8)$$

dengan :

m_i = jumlah data input yang ada dalam *cluster* ke-*i*

c_i = centroid *cluster* ke-*i* dalam pengujian som adalah matrik bobot

d = jarak

Hal ini biasanya disesuaikan dengan rumus ketidak miripan (jarak) yang digunakan ketika proses pengelompokannya sehingga validasi yang diberikan juga mempunyai maksud yang sama terhadap proses pengelompokannya.

Sementara metrik untuk separasi antara dua cluster, misalnya *cluster* *i* dan *j*, digunakan rumus *Sum of Square Between Cluster* (SSB) dengan mengukur jarak antara centroid / metrik c_i dan c_j . Seperti pada persamaan 2.9 berikut ini :

$$SSB_{i,j} = d(c_i, c_j) \quad (2.9)$$

Kemudian R_{ij} adalah rasio nilai perbandingan antara *cluster* ke-*i* dan *cluster* ke-*j*. Nilai didapatkan dari komponen kohesi dan separasi. *Cluster* yang baik adalah yang mempunyai kohesi yang sekecil mungkin dan separasi yang sebesar (selebar) mungkin. R_{ij} dirumuskan oleh persamaan 2.10 berikut ini :

$$R_{ij} = \frac{SSW_i + SSW_j}{SSB_{i,j}} \quad (2.10)$$

Sifat-sifat yang dimiliki R_{ij} sebagai berikut :

1. $R_{ij} \geq 0$
2. $R_{ij} = R_{ji}$
3. Jika $SSW_j \geq SSW_r$ dan $SSB_{i,j} = SSB_{i,r}$ maka $R_{ij} = R_{i,r}$
4. Jika $SSW_j = SSW_r$ dan $SSB_{i,j} > SSB_{i,r}$ maka $R_{ij} > R_{i,r}$

Sementara untuk menghitung nilai Davies-Bouldin Index (DBI) didapatkan dari persamaan 2.11 berikut :

$$DBI = \frac{1}{k} \sum_{i=1}^k \max_{i \neq j} (R_{i,j}) \quad (2.11)$$

dengan :

k = jumlah cluster yang digunakan

R_{ij} = rasio nilai perbandingan antara *cluster* ke-*i* dan *cluster* ke-*j*

Jadi, nilai DBI di dapat dari nilai rata-rata dari R_{ij} . Dari syarat-syarat perhitungan yang didefinisikan di atas, dapat diamati bahwa **semakin kecil nilai SSW maka hasil clustering yang didapat juga semakin baik**. Secara esensial, DBI menginginkan nilai sekecil mungkin (non-negatif ≥ 0) untuk menilai baiknya *cluster* yang didapat. Indeks tersebut didapat dari rata-rata semua indeks cluster, dan nilai yang didapat bisa digunakan sebagai pendukung keputusan untuk menilai jumlah *cluster* yang paling cocok digunakan dan menilai *cluster* yang bagus.

Penjelasan parameter-parameter yang digunakan :

- $X = X$ adalah metrik set data $N \times r$.
 N adalah jumlah data, sedangkan r adalah jumlah fitur.
- $C = C$ adalah metrik bobot ideal $K \times r$.
 K adalah jumlah cluster.
- $DBI = DBI$ adalah nilai skalar DBI yang didapatkan.

- $R = R$ adalah matrik $K \times 1$ yang berisi nilai maksimum DBI pada setiap cluster.

2.9 Regresi Linier Berganda

Analisis Regresi Berganda adalah analisis yang memiliki variabel bebas lebih dari satu. Teknik regresi linier berganda digunakan untuk mengetahui ada tidaknya pengaruh signifikan dua atau lebih variabel bebas ($X_1, X_2, X_3, \dots, X_k$) terhadap variabel terikat (Y). Bentuk umum dari model regresi linier berganda untuk populasi dapat ditunjukkan pada persamaan 2.12 sebagai berikut [26][27] :

$$Y = \beta_0 + \beta_1 X_1 + \beta_2 X_2 + \dots + \beta_n X_n + e \quad (2.12)$$

dengan :

i = 1, 2, ..., n

Y = Variabel dependen (jumlah streaming)

X_1, X_2, \dots, X_n = Variabel bebas (Danceability – Time Signature)

$\beta_1, \beta_2, \dots, \beta_k$ = Parameter Regresi (koefisien)

e = Error (residual)

Tujuan analisis regresi linear adalah untuk mengukur intensitas hubungan antara dua variabel atau lebih dan memuat prediksi / perkiraan nilai Y dan nilai X.

2.9.1 Uji Asumsi Klasik

Dalam penggunaan regresi, terdapat beberapa asumsi klasik yang dapat menghasilkan estimator linear tidak bias yang terbaik dari model regresi yang diperoleh. Asumsi-asumsi klasik itu adalah:

2.9.1.1 Uji Normalitas

Untuk menentukan apakah variabel pengganggu berdistribusi normal atau tidak, uji yang digunakan ialah uji normalitas. Uji normalitas dilakukan dengan analisis grafik dan uji statistik Kolmogorov-Smirnov (K-S) dengan menggunakan IBM SPSS Statistics 24.

2.9.1.2 Uji Multikolinieritas

Multikolinieritas adalah terjadinya hubungan linier antara variabel bebas dalam suatu model regresi linier berganda [28]. Hubungan linier antara variabel bebas dapat terjadi dalam bentuk hubungan linier yang sempurna (perfect) dan hubungan linier yang kurang sempurna (imperfect).

Untuk mendeteksi adanya multikolinieritas dalam model regresi linier berganda dapat digunakan nilai *Variance Inflation Factor* (VIF) dan Tolerance (TOL) dengan ketentuan jika nilai $VIF > 10$, maka terjadi multikolinieritas dalam model regresi. Kemudian jika nilai $TOL > 0.01$, maka tidak terjadi multikolinieritas dalam model regresi.

2.9.1.3 Uji Heteroskedastisitas

Heteroskedastisitas adalah variansi dari *error* model regresi tidak konstan atau variansi antar error yang satu dengan *error* yang lain berbeda [29].

Salah satu cara yang dapat digunakan untuk mendeteksi adanya heteroskedastisitas dalam model regresi adalah dengan Metode Glejser. Glejser merupakan seorang ahli ekonometrika dan mengatakan bahwa nilai variansi variabel *error* model regresi tergantung dari variabel bebas. Selanjutnya untuk mengetahui apakah pola variabel *error* mengandung heteroskedastisitas Glejser menyarankan untuk melakukan regresi nilai mutlak residual dengan variabel bebas.

Jika hasil uji F dari model regresi yang diperoleh tidak signifikan, maka tidak ada heteroskedastisitas dalam model regresi. Atau jika nilai *Sig* pada variabel independen $Sig > 0.05$, maka tidak ada heteroskedastisitas dalam model regresi. Sebaliknya, jika $Sig < 0.05$, maka ada variabel dependen yang menyebabkan heteroskedastisitas dalam model regresi.

2.9.2 Uji Hipotesis

Pada tahap ini dilakukan pembuktian koeffisien regresi dimaksudkan untuk mengetahui pengaruh antara variabel independent (X) terhadap variabel dependen (Y) baik secara parsial (Uji T), dan mengukur koeffisien determinasinya (R^2).

2.9.2.1 Koeffisien Determinasi

R^2 atau koeffisien determinasi adalah seberapa besar kemampuan semua variabel bebas dalam menjelaskan varians dari variabel terikatnya. Alat untuk mengukur tingkat kecocokan / kesempurnaan model regresi atau untuk menyatakan proporsi keragaman total nilai-nilai peubah Y yang dapat dijelaskan oleh nilai-nilai peubah X melalui hubungan linier tersebut.

Secara sederhana koeffisien determinasi dihitung dengan mengkuadratkan Koeffisien Korelasi (R). Sebagai contoh, jika nilai R adalah sebesar 0,80 maka koeffisien determinasi (R^2) adalah sebesar $0,80 \times 0,80 = 0,64$. Berarti kemampuan variabel bebas dalam menjelaskan varians dari variabel terikatnya adalah sebesar 64,0%. Berarti terdapat 36% (100%-64%) varians variabel terikat yang dijelaskan oleh faktor lain. Berdasarkan interpretasi tersebut, maka tampak bahwa nilai R^2 adalah $0 \leq R^2 \leq 1$.

2.9.2.2 Uji T (Uji Parsial)

Pengujian koeffisien regresi secara parsial bertujuan mengetahui apakah persamaan model regresi yang terbentuk secara parsial variabel independen ($X_1, X_2, X_3, \dots, X_k$) berpengaruh signifikan terhadap variabel dependen (Y). Pengujian ini dilakukan dengan menggunakan kriteria :

- Jika nilai probabilitas $Sig > 0.05$ artinya tidak signifikan
- Jika nilai probabilitas $Sig < 0.05$ artinya signifikan, atau
- Jika $t_{hitung} > t_{tabel}$ maka H_0 ditolak dan H_1 diterima
- Jika $t_{hitung} < t_{tabel}$ maka H_0 diterima dan H_1 ditolak

dengan :

- H_0 = Secara parsial tidak ada pengaruh signifikan
- H_1 = Secara parsial ada pengaruh signifikan

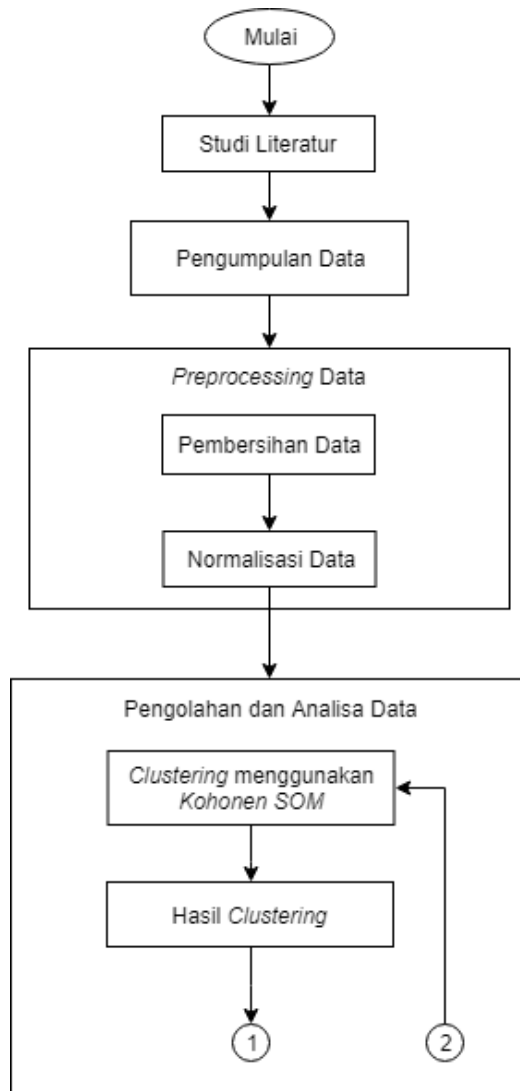
BAB 3

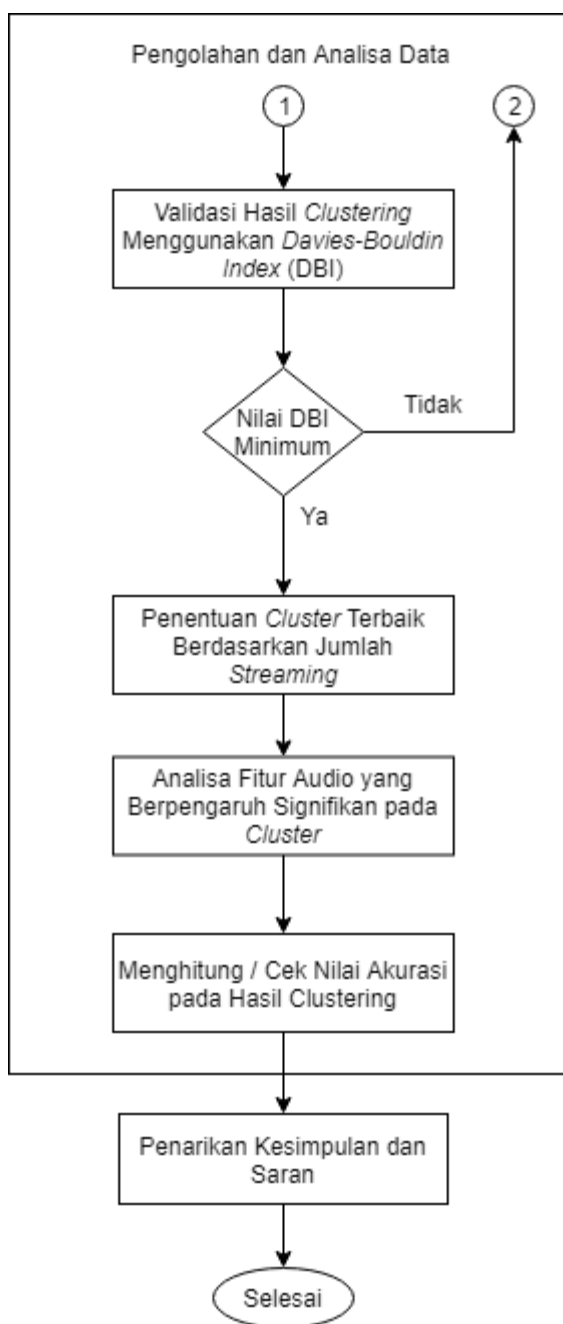
METODOLOGI PENELITIAN

Bab ini akan menggambarkan metodologi penelitian yang berisi tahapan penelitian dan rencana waktu pengerjaannya. Metodologi penelitian ini akan menjadi panduan dalam mengerjakan penelitian agar dapat diselesaikan secara sistematis, terarah dan jelas.

3.1 Diagram Alir Metode Penelitian

Tahapan penelitian yang akan dilakukan oleh penulis digambarkan dalam diagram alur metodologi yang tersaji pada Gambar 3.1 di bawah ini.





Gambar 3. 1 Diagram Alir Metode Penelitian

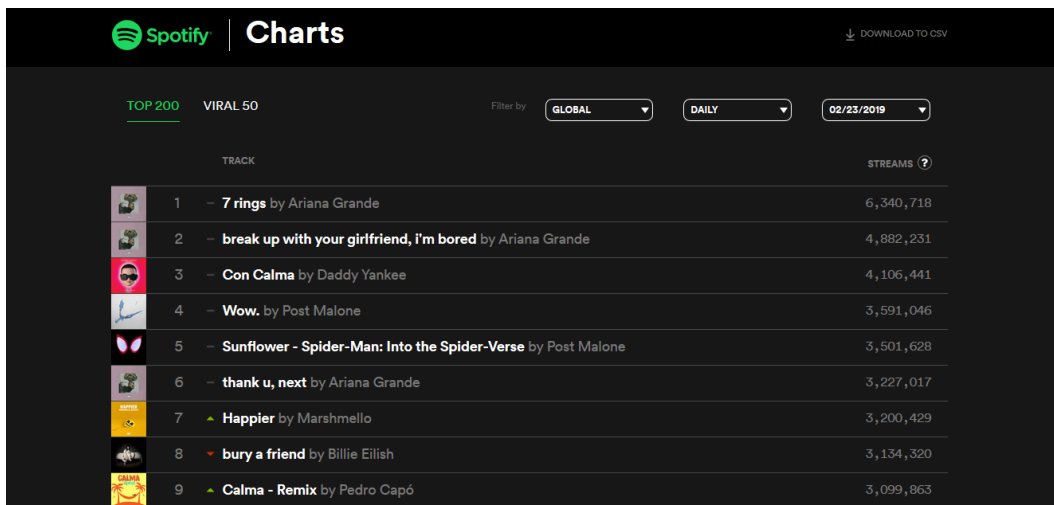
3.2 Studi Literatur

Tahapan pertama dalam metode penelitian yang dilakukan yaitu studi literatur. Studi literatur bertujuan untuk mengumpulkan dan mempelajari dasar teori dan acuan yang berhubungan dengan pengelompokan lagu berdasarkan emosi menggunakan algoritma *Kohonen Self Organizing Maps (SOM)*. Pada bagian ini juga diharapkan dapat mendapatkan gambaran yang menyeluruh tentang

penelitian-penelitian terkait yang telah ada sehingga dapat melengkapi kekurangan penelitian sebelumnya dan didapatkan hasil evaluasi yang lebih baik. Literatur yang digunakan dapat bersumber dari buku, jurnal, thesis terdahulu, maupun sumber pustaka internet.

3.3 Pengumpulan Data

Pengumpulan data digunakan untuk mendapatkan data-data yang diperlukan untuk melakukan penelitian. Data yang digunakan berupa fitur audio dari lagu yang didapatkan dari Spotify, sebuah repositori *online* informasi musik yang berisi informasi tentang jutaan lagu dan artis pada situs *spotifycharts.com*. Berikut ini adalah tampilan dari *spotifycharts.com* yang ditunjukkan oleh Gambar 3.2.



Gambar 3. 2 Tampilan *spotifycharts.com*

Untuk mengambil fitur audio yang didapatkan dari *spotifycharts.com* harus diambil lagi menggunakan contoh pemrograman *python* dengan *pseudocode* berikut ini.

```
import re
import spotipy
from spotipy.oauth2 import SpotifyClientCredentials

CLIENT_ID = "5a04b6cd002745ce95c9ed37b93235e8"
CLIENT_SECRET = "d3509874d98040898b000996d0d8c68d"
FILE_LIST = ["TOP_200_INDO.csv", "TOP_200_GLOBAL.csv"]

def read_file():
    text = ''
    for file in FILE_LIST:
        opened_file = open(file, "r")
```

```

text += opened_file.read()

return text

def remove_line_feed(items):
    for i in range(len(items)):
        items[i] = items[i].replace("\n", "").replace("/", "")

    return items

def get_ids(text):
    ids = re.findall('\/[A-Za-z0-9]+\n', text)

    return remove_line_feed(ids)

def get_audio_features(ids):
    client_credentials_manager =
SpotifyClientCredentials(client_id=CLIENT_ID,client_secret=CLIENT_SECRET)
    sp =
spotipy.Spotify(client_credentials_manager=client_credentials_manager)

    features = []
    for i in range(0, len(ids), 50):
        features += sp.audio_features(ids[i:i+50])

    return features

def write_file(features):
    writable_file = open("spotify.features", "w+")
    for feature in features:
        for _,value in feature.items():
            writable_file.write(str(value) + " ")
    writable_file.write("\n")

    writable_file.close()

def main():
    ids = get_ids(read_file())
    features = get_audio_features(ids)
    write_file(features)

if __name__ == '__main__':
    main()

```

3.4 Preprocessing Data

Pada tahap *preprocessing* ini merupakan serangkaian tahap-tahap yang meliputi pembersihan data dan normalisasi data. Sehingga data yang digunakan dapat mewakili karakteristik dari data lagu yang sebenarnya untuk dapat dilakukan proses pengelompokan.

3.4.1 Pembersihan Data

Data yang telah didapatkan akan dilakukan pembersihan data. Hal ini dilakukan sejalan dengan data yang dihimpun agar diperoleh data yang diinginkan. Pada proses ini dilakukan untuk membuang *record* yang tidak dibutuhkan, dan melakukan *validasi* data. Data yang tidak konsisten yang mengandung noise dan banyak kekeliruan membuat hasil pengelompokan data menjadi tidak akurat.

3.4.2 Normalisasi Data

Pada tahap ini, proses normalisasi data digunakan untuk melakukan penyesuaian data lagu dalam proses *clustering* yang dilakukan menggunakan metode *Kohonen SOM* agar data tersebut nanti dapat di proses. Data yang menjadi *input*-an ini harus ditransformasikan antara *range* (0,1), artinya data tersebut harus berada dalam *range* nilai minimal 0 dan tidak lebih dari 1. Untuk menormalisasikan data lagu ke dalam interval [0,1] penelitian ini menggunakan metode normalisasi min-max dengan persamaan 3.1 berikut ini [26].

$$F(X) = \frac{X - X_{min}}{X_{max} - X_{min}} * (BA - BB) + BB \quad (3.1)$$

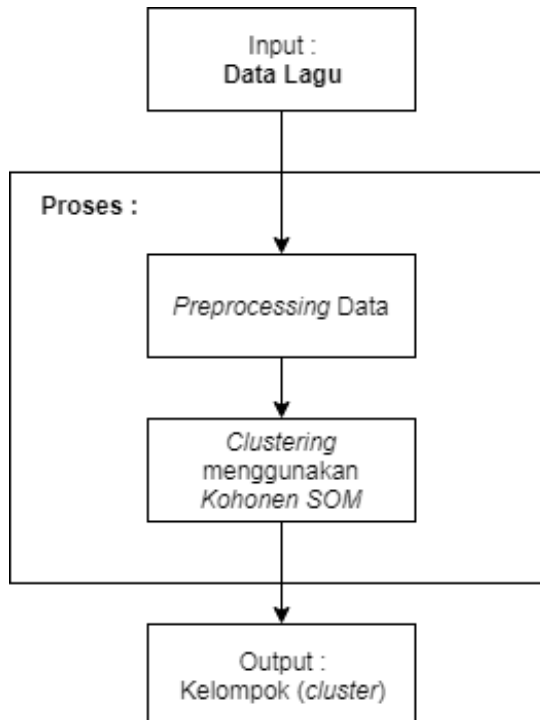
dengan :

- $F(X)$ = Nilai normalisasi
- X = Besar nilai tiap rekaman data *input*
- X_{max} = Besar nilai data maksimum dalam satu kolom
- X_{min} = Besar nilai data minimum dalam satu kolom
- BA = Batas bawah skala (dalam penskalaan data ini adalah 1)
- BB = Batas atas skala (dalam penskalaan data ini adalah 0)

3.5 Pengolahan dan Analisa Data

Pada tahap ini, setelah data dilakukan normalisasi, data tersebut menjadi *input* untuk melakukan tahap selanjutnya, yaitu *clustering* menggunakan algoritma

Kohonen Self Organizing Maps. *Self Organizing Map* (SOM) merupakan metode yang telah lama digunakan pada visualisasi dan *clustering* data dan banyak digunakan untuk merepresentasi ulang data dari dimensi tinggi ke dimensi rendah. Berikut ini adalah proses dari *clustering* menggunakan metode *Kohonen SOM* yang ditunjukkan pada Gambar 3.3 di bawah ini.



Gambar 3. 3 Proses *Clustering*

3.5.1 Validasi *Cluster* Menggunakan DBI

Penelitian ini menggunakan metode evaluasi kelompok dengan mengukur seberapa baik kelompok yang dihasilkan. Untuk menentukan berapa jumlah kelompok yang baik menggunakan metode *Davies-Bouldin Index* (DBI). Semakin kecil nilai DBI maka kelompok dianggap optimal dengan nilai sekecil mungkin ≥ 0 .

3.5.2 Penentuan *Cluster* Terbaik Berdasarkan Jumlah Streaming

Untuk menentukan *ranking* cluster terbaik berdasarkan jumlah *streaming*, ditentukan berdasarkan nilai hitung rata-rata dari setiap *cluster*

untuk mengetahui tingkatan *cluster* yang memiliki banyak, sedang, cukup, dan sedikit jumlah pendengar (*streaming*) nya.

3.5.3 Analisis Fitur yang Berpengaruh Signifikan pada *Cluster*

Setelah mendapatkan jumlah *cluster* terbaik, dilakukan uji data dari data lagu tersebut dengan indikator *cluster* berdasarkan jumlah pendengar (*streaming*), yaitu banyak, sedang, cukup, dan sedikit. Setelah itu akan dilakukan analisis hasil clustering yang masuk di dalam kategori *cluster* yang banyak jumlah streamingnya untuk mengetahui informasi mengenai fitur audio terbaik / fitur audio yang berpengaruh signifikan menggunakan Analisis Regresi Linier Berganda. Tujuannya agar informasi tersebut dapat digunakan sebagai saran bagi produser musik agar dapat meningkatkan kualitas musik dengan tujuan agar musik tersebut lebih disukai dan bermanfaat bagi pendengar, dengan salah satu manfaat musik sebagai terapi yaitu dapat mengurangi stress bagi pendengar.

Alasan saya menggunakan metode Regresi Linier Berganda untuk mencari fitur audio yang berpengaruh signifikan adalah karena data yang saya gunakan sudah dinormalisasi dalam bentuk interval, yaitu [0,1]. Karena sebenarnya data yang baik yang harus digunakan untuk analisis dengan Regresi Linier Berganda ini adalah data dalam bentuk interval.

3.6 Menghitung / Cek Nilai Akurasi pada Hasil Clustering

Tahap terakhir dalam proses analisa dan pengolahan data ini adalah menghitung / mengecek nilai akurasi pada hasil clustering. *Cluster* yang akan diuji akurasinya pada tahap akhir ini adalah *cluster* yang memiliki jumlah *streaming* paling banyak, yaitu pada *cluster* 2. Tujuannya adalah agar mengetahui hasil dari penelitian yang dihasilkan ini memiliki tingkat keakuratan sebesar berapa persen. Semakin besar nilai akurasi yang dihasilkan, maka penelitian ini dikatakan memiliki hasil yang baik.

3.7 Penarikan Kesimpulan dan Saran

Pada tahap ini, setelah dilakukan proses *clustering* dan analisa data, maka dapat ditarik suatu kesimpulan dan saran sebagai masukan untuk pengembangan penelitian lebih lanjut kedepannya.

BAB 4

HASIL PENELITIAN DAN PEMBAHASAN

Bab ini akan menjelaskan proses dari analisa data penelitian dan pembahasannya sesuai dengan metodologi penelitian yang telah dijelaskan pada bab sebelumnya yaitu menggunakan *Kohonen Self Organizing Maps* (SOM), validasi hasil menggunakan Davies-Bouldin Index (*DBI*), dan analisis untuk mengetahui fitur audio yang berpengaruh signifikan terhadap jumlah *streaming* menggunakan Analisis Regresi Linier Berganda.

4.1 Persiapan Data

Data yang digunakan pada penelitian ini adalah data dari Top Charts 200 Global yang diambil dari *spotifycharts.com* menggunakan bahasa pemrograman *python*. Data 200 lagu tersebut memiliki 13 fitur audio dengan nilai yang berbeda-beda.

4.2 Preprocessing Data

Sebelum melakukan proses pengolahan data, akan terlebih dahulu dilakukan tahap *preprocessing* data diantaranya pembersihan data dan normalisasi data yang akan dijelaskan pada sub bab di bawah ini.

4.2.1 Pembersihan Data

Proses pembersihan data ini dilakukan untuk membuang *record* yang keliru dan kosong, mengendalikan data yang hilang. Data-data yang tidak konsisten mengandung *noise* dan banyak kekeliruan membuat hasil pengelompokkan data tidak akurat.

4.2.2 Normalisasi Data

Sebelum dilakukan *clustering*, akan terlebih dahulu dilakukan normalisasi data dengan menjadikan nilai input berada di antara 0 sampai 1 yang dijelaskan seperti pada bab sebelumnya. Untuk menghitung normalisasi data pada tahap ini dilakukan berdasarkan Normalisasi Data I. Berikut ini akan ditunjukkan sejumlah 20 data pada 6 dari 13 fitur yang sebelum dinormalisasi

pada Tabel 4.1 dan akan ditunjukkan contoh tahapan perhitungan normalisasi data tersebut dan kemudian akan ditunjukkan hasil setelah dinormalisasi pada Tabel 4.2 di bawah ini.

Tabel 4. 1 Tabel Data Input Fitur Audio Sebelum Dinormalisasi

| Danceability | Energy | Liveness | Tempo | Specchiness |
|---------------------|---------------|-----------------|--------------|--------------------|
| 0.76 | 0.479 | 0.0703 | 89.911 | 0.0466 |
| 0.833 | 0.539 | 0.101 | 99.947 | 0.178 |
| 0.724 | 0.647 | 0.102 | 106.96 | 0.0658 |
| 0.752 | 0.488 | 0.0936 | 136.041 | 0.0705 |
| 0.826 | 0.773 | 0.143 | 126.899 | 0.0524 |
| 0.719 | 0.704 | 0.166 | 133.002 | 0.0476 |
| 0.841 | 0.798 | 0.0618 | 95.948 | 0.229 |
| 0.741 | 0.52 | 0.222 | 102.998 | 0.0656 |
| 0.579 | 0.904 | 0.064 | 82.014 | 0.0618 |
| 0.817 | 0.539 | 0.099 | 97.062 | 0.0621 |
| 0.687 | 0.792 | 0.167 | 100.015 | 0.0452 |
| 0.663 | 0.675 | 0.117 | 101.004 | 0.0359 |
| 0.834 | 0.73 | 0.124 | 155.008 | 0.222 |
| 0.889 | 0.496 | 0.252 | 86.003 | 0.0905 |
| 0.767 | 0.709 | 0.0676 | 171.993 | 0.336 |
| 0.572 | 0.385 | 0.231 | 95.799 | 0.0308 |
| 0.861 | 0.603 | 0.0924 | 98.043 | 0.176 |
| 0.632 | 0.686 | 0.2 | 89.949 | 0.243 |
| 0.896 | 0.671 | 0.552 | 112.502 | 0.289 |

Contoh tahapan untuk melakukan normalisasi data dengan menggunakan data pada Tabel 4.1 di atas dengan menggunakan rumus pada persamaan 3.1 yaitu :

$$F(X) = \frac{X - X_{min}}{X_{max} - X_{min}} * (BA - BB) + BB$$

Berikut ini adalah tahapan untuk menghitung normalisasi datanya :

1. Mencari nilai tertinggi (X_{max}) dan terendah (X_{min}) dari tiap variabel (*danceability*, *energy*, *liveness*, *tempo*, dan *specchiness*) dalam satu kolom.

- Nilai X_{max} pada tiap variabel adalah :

| Variabel | X_{max} |
|--------------|-----------|
| Danceability | 0.869 |
| Energy | 0.904 |
| Liveness | 0.552 |
| Tempo | 171.993 |
| Spechiness | 0.336 |

- Nilai X_{min} pada tiap variabel adalah :

| Variabel | X_{min} |
|--------------|-----------|
| Danceability | 0.572 |
| Energy | 0.385 |
| Liveness | 0.0618 |
| Tempo | 82.041 |
| Spechiness | 0.0308 |

2. Menghitung nilai $X - X_{min}$ dan $X_{max} - X_{min}$ dari data tersebut pada tiap variabel (*danceability*, *energy*, *liveness*, *tempo*, dan *spechiness*) pada baris pertama di setiap kolom.

- Nilai $X - X_{min}$ pada tiap variabel di baris pertama adalah :

| Variabel | $X - X_{min}$ |
|--------------|----------------------------|
| Danceability | $0.76 - 0.572 = 0.118$ |
| Energy | $0.479 - 0.385 = 0.094$ |
| Liveness | $0.0703 - 0.0618 = 0.0085$ |
| Tempo | $89.911 - 82.014 = 7.897$ |
| Spechiness | $0.0466 - 0.0308 = 0.0158$ |

- Nilai $X_{max} - X_{min}$ pada tiap variabel di baris pertama adalah :

| Variabel | $X_{max} - X_{min}$ |
|--------------|-----------------------------|
| Danceability | $0.869 - 0.572 = 0.324$ |
| Energy | $0.904 - 0.385 = 0.519$ |
| Liveness | $0.552 - 0.0618 = 0.4902$ |
| Tempo | $171.993 - 82.041 = 89.979$ |
| Spechiness | $0.336 - 0.0308 = 0.3052$ |

3. Menghitung nilai normalisasi data / $F(X)$ dari tiap variabel (*danceability*, *energy*, *liveness*, *tempo*, dan *spechiness*) pada baris pertama dalam setiap kolumn.
- Nilai $F(X)$ pada tiap variabel di baris pertama adalah :

| Variabel | $F(X)$ |
|--------------|---|
| Danceability | $\frac{0.118}{0.324} \times (1 - 0) + 0 = 0.5802$ |
| Energy | $\frac{0.094}{0.519} \times (1 - 0) + 0 = 0.1811$ |
| Liveness | $\frac{0.0085}{0.4902} \times (1 - 0) + 0 = 0.0173$ |
| Tempo | $\frac{7.897}{89.979} \times (1 - 0) + 0 = 0.0877$ |
| Spechiness | $\frac{0.0158}{0.3052} \times (1 - 0) + 0 = 0.0517$ |

4. Untuk menghitung normalisasi data pada baris ke-2 hingga baris ke-20 dilakukan langkah yang sama seperti pada Langkah No. 1 hingga Langkah No. 3 sampai semua data telah ternormalisasi.

Setelah dilakukan contoh tahapan melakukan normalisasi data dengan langkah-langkah di atas, didapatkan hasil normalisasi dari 20 data tersebut dengan hasil seperti pada Tabel 4.2 di bawah ini.

Tabel 4. 2 Tabel Data Input Fitur Audio Setelah Dinormalisasi

| Danceability | Energy | Liveness | Tempo | Spechiness |
|--------------|-------------|-------------|-------------|-------------|
| 0.580246914 | 0.181117534 | 0.017339861 | 0.087764923 | 0.051769332 |
| 0.805555556 | 0.29672447 | 0.07996736 | 0.199302059 | 0.482306684 |
| 0.469135802 | 0.504816956 | 0.082007344 | 0.277242468 | 0.114678899 |
| 0.555555556 | 0.198458574 | 0.064871481 | 0.600440103 | 0.130078637 |
| 0.783950617 | 0.747591522 | 0.165646675 | 0.498838618 | 0.070773263 |
| 0.453703704 | 0.614643545 | 0.212566299 | 0.566665555 | 0.055045872 |
| 0.830246914 | 0.795761079 | 0 | 0.154858356 | 0.649410223 |
| 0.521604938 | 0.260115607 | 0.326805386 | 0.233209971 | 0.114023591 |
| 0.021604938 | 1 | 0.004487964 | 0 | 0.101572739 |
| 0.75617284 | 0.29672447 | 0.075887393 | 0.167239022 | 0.102555701 |
| 0.354938272 | 0.784200385 | 0.214606283 | 0.200057791 | 0.047182176 |

| | | | | |
|-------------|-------------|-------------|-------------|-------------|
| 0.280864198 | 0.558766859 | 0.112607099 | 0.211049245 | 0.016710354 |
| 0.808641975 | 0.664739884 | 0.126886985 | 0.811233732 | 0.626474443 |
| 0.978395062 | 0.213872832 | 0.388004896 | 0.044332566 | 0.195609436 |
| 0.601851852 | 0.624277457 | 0.011831905 | 1 | 1 |
| 0 | 0 | 0.345165239 | 0.153202414 | 0 |
| 0.891975309 | 0.420038536 | 0.062423501 | 0.178141566 | 0.475753604 |
| 0.185185185 | 0.579961464 | 0.281925745 | 0.088187244 | 0.695281782 |
| 1 | 0.55105973 | 1 | 0.338834617 | 0.846002621 |

Untuk data hasil normalisasi yang lengkap dilampirkan pada **Lampiran 2.1** dan **Lampiran 2.2**.

4.3 Pengelompokan (*Clustering*) Data Menggunakan *Kohonen SOM*

Setelah dilakukan normalisasi data selanjutnya dilakukan pengelompokan data. Proses pengelompokan (*clustering*) pada penelitian ini menggunakan cara kerja algoritma SOM dengan menggunakan pemrograman Matlab untuk *clustering* dan memvisualisasikan pengelompokan. Pada proses pengelompokan SOM dimulai dengan pembentukan peta jaringan SOM dan pembentukan peta ini didasari dari data *input* yang menjadi masukan terhadap sistem yang dibuat.

Kemudian dilakukan proses pembelajaran dengan menggunakan beberapa kali iterasi untuk menghasilkan matrik bobot yang ideal. Matrik bobot ideal inilah yang nantinya dipakai untuk memetakan data *input* tersebut ke dalam kelompok data *output*. Proses pembelajaran SOM untuk membentuk peta jaringan dikenal dengan nama proses *learning*. Proses *learning* ini didasari dari jarak antara data *input* dengan matrik bobot. Tabel 4.4 adalah parameter yang harus didefinisikan sebelum memulai proses *clustering*.

Tabel 4. 3 Parameter jaringan SOM

| Jenis Parameter | Keterangan |
|--------------------------|-------------------------------------|
| Inisialisasi | <i>Random</i> |
| Bentuk Topologi Jaringan | <i>Grid</i> |
| Jumlah Kelompok | 4 |
| <i>Epoch</i> (Iterasi) | 70, 80, 90, 100, 200, 300, 400, 500 |
| Learning rate | 0.9 |
| Penurunan Learning rate | 0.1 |

Pada penelitian ini kriteria *epoch* yang digunakan di atas adalah saat hasil *clustering* yang dihasilkan itu bersifat *konvergen* (letak / posisi clustering tidak berubah-ubah). Berikut ini akan ditunjukkan tahapan hasil dari *clustering* menggunakan Kohonen SOM dari *epoch* = 10 hingga *epoch* = 500 untuk mengetahui ke *konvergenan* dari hasil *clustering*.

4.3.1 Pengelompokan dengan *Epoch* 10

Pada proses *clustering* menggunakan Kohonen SOM dengan *epoch* = 10, berikut ini akan ditunjukkan hasilnya dari kiri ke kanan pada Tabel 4.4 di bawah ini :

Tabel 4. 4 Hasil *Clustering* dengan *epoch* = 10

| Data 1 - 30 | Data 31 - 60 | Data 61 - 90 | Data 91 - 120 | Data 121 - 150 | Data 151 - 180 | Data 181 - 200 |
|----------------|-----------------|-----------------|------------------|-------------------|-------------------|-------------------|
| 1 | 3 | 1 | 2 | 4 | 1 | 1 |
| 4 | 3 | 1 | 3 | 1 | 3 | 1 |
| 2 | 1 | 4 | 3 | 4 | 1 | 1 |
| 1 | 1 | 1 | 1 | 4 | 1 | 1 |
| 4 | 1 | 2 | 1 | 3 | 3 | 1 |
| 2 | 1 | 2 | 3 | 1 | 1 | 4 |
| 3 | 4 | 3 | 1 | 1 | 3 | 1 |
| 1 | 4 | 1 | 1 | 4 | 4 | 4 |
| 1 | 4 | 2 | 1 | 3 | 1 | 1 |
| 3 | 3 | 1 | 1 | 1 | 4 | 4 |
| 1 | 1 | 4 | 4 | 3 | 1 | 1 |
| 1 | 3 | 2 | 2 | 1 | 3 | 2 |
| 1 | 3 | 4 | 3 | 1 | 1 | 4 |
| 3 | 1 | 3 | 1 | 1 | 1 | 3 |
| 2 | 1 | 3 | 1 | 1 | 1 | 3 |
| 1 | 4 | 3 | 1 | 4 | 1 | 1 |
| 4 | 2 | 3 | 2 | 1 | 4 | 1 |
| 4 | 3 | 1 | 1 | 1 | 1 | 4 |
| 3 | 4 | 3 | 2 | 2 | 1 | 1 |
| 1 | 4 | 4 | 4 | 4 | 2 | 4 |
| 1 | 4 | 1 | 2 | 2 | 3 | |
| 2 | 1 | 3 | 1 | 4 | 1 | |
| 1 | 2 | 3 | 1 | 4 | 4 | |

| | | | | | |
|---|---|---|---|---|---|
| 4 | 1 | 3 | 1 | 1 | 1 |
| 3 | 1 | 4 | 1 | 1 | 1 |
| 3 | 3 | 4 | 1 | 4 | 1 |
| 2 | 3 | 4 | 4 | 1 | 3 |
| 4 | 1 | 4 | 1 | 4 | 1 |
| 1 | 4 | 4 | 1 | 1 | 4 |
| 1 | 1 | 4 | 4 | 1 | 1 |

4.3.2 Pengelompokan dengan *Epoch* 20

Pada proses clustering menggunakan Kohonen SOM dengan *epoch* = 20, berikut ini akan ditunjukkan hasilnya dari kiri ke kanan pada Tabel 4.5 di bawah ini :

Tabel 4. 5 Hasil *Clustering* dengan *epoch* = 20

| Data 1 - 30 | Data 31 - 60 | Data 61 - 90 | Data 91 - 120 | Data 121 - 150 | Data 151 - 180 | Data 181 - 200 |
|----------------|-----------------|-----------------|------------------|-------------------|-------------------|-------------------|
| 4 | 1 | 4 | 4 | 1 | 4 | 3 |
| 1 | 2 | 4 | 1 | 4 | 1 | 3 |
| 4 | 4 | 1 | 1 | 1 | 3 | 3 |
| 4 | 3 | 4 | 4 | 1 | 4 | 3 |
| 1 | 4 | 3 | 3 | 1 | 1 | 3 |
| 3 | 3 | 4 | 1 | 4 | 3 | 1 |
| 1 | 1 | 1 | 4 | 3 | 1 | 4 |
| 4 | 1 | 4 | 4 | 1 | 1 | 1 |
| 3 | 1 | 4 | 3 | 1 | 4 | 4 |
| 1 | 1 | 4 | 4 | 3 | 2 | 1 |
| 3 | 3 | 1 | 1 | 1 | 3 | 4 |
| 4 | 1 | 4 | 4 | 4 | 1 | 4 |
| 3 | 1 | 1 | 1 | 4 | 4 | 1 |
| 1 | 4 | 1 | 4 | 3 | 3 | 1 |
| 3 | 3 | 1 | 3 | 4 | 4 | 2 |
| 4 | 1 | 1 | 3 | 1 | 3 | 4 |
| 1 | 4 | 1 | 3 | 3 | 1 | 3 |
| 1 | 1 | 4 | 4 | 3 | 4 | 2 |
| 1 | 1 | 1 | 4 | 3 | 3 | 4 |
| 4 | 1 | 1 | 1 | 1 | 4 | 1 |
| 3 | 1 | 4 | 4 | 3 | 1 | |
| 1 | 4 | 1 | 4 | 1 | 4 | |

| | | | | | |
|---|---|---|---|---|---|
| 4 | 3 | 2 | 4 | 1 | 1 |
| 1 | 3 | 1 | 3 | 3 | 3 |
| 1 | 4 | 1 | 4 | 4 | 4 |
| 1 | 1 | 1 | 4 | 1 | 4 |
| 4 | 1 | 1 | 2 | 4 | 1 |
| 1 | 3 | 1 | 3 | 1 | 4 |
| 4 | 1 | 1 | 4 | 4 | 1 |
| 4 | 4 | 1 | 1 | 3 | 3 |

4.3.3 Pengelompokan dengan *Epoch* 30

Pada proses clustering menggunakan Kohonen SOM dengan *epoch* = 30, berikut ini akan ditunjukkan hasilnya dari kiri ke kanan pada Tabel 4.6 di bawah ini :

Tabel 4. 6 Hasil *Clustering* dengan *epoch* = 30

| Data 1 - 30 | Data 31 - 60 | Data 61 - 90 | Data 91 - 120 | Data 121 - 150 | Data 151 - 180 | Data 181 - 200 |
|----------------|-----------------|-----------------|------------------|-------------------|-------------------|-------------------|
| 2 | 3 | 2 | 2 | 4 | 1 | 1 |
| 4 | 4 | 2 | 3 | 1 | 3 | 1 |
| 2 | 2 | 4 | 4 | 3 | 1 | 1 |
| 2 | 2 | 2 | 1 | 4 | 2 | 2 |
| 4 | 1 | 2 | 2 | 3 | 3 | 1 |
| 2 | 1 | 2 | 4 | 1 | 1 | 4 |
| 4 | 3 | 3 | 1 | 2 | 3 | 2 |
| 2 | 4 | 2 | 2 | 4 | 4 | 4 |
| 1 | 4 | 2 | 1 | 3 | 1 | 1 |
| 3 | 3 | 1 | 1 | 1 | 4 | 4 |
| 1 | 1 | 4 | 4 | 3 | 2 | 1 |
| 2 | 3 | 2 | 2 | 2 | 3 | 2 |
| 1 | 3 | 4 | 3 | 2 | 2 | 4 |
| 3 | 1 | 3 | 1 | 1 | 1 | 3 |
| 2 | 1 | 3 | 1 | 1 | 1 | 4 |
| 2 | 4 | 3 | 1 | 4 | 2 | 2 |
| 4 | 2 | 3 | 2 | 2 | 4 | 1 |
| 3 | 3 | 1 | 1 | 1 | 2 | 4 |
| 3 | 4 | 4 | 2 | 2 | 1 | 1 |
| 2 | 4 | 4 | 3 | 4 | 2 | 4 |
| 2 | 4 | 2 | 2 | 2 | 3 | |

| | | | | | |
|---|---|---|---|---|---|
| 3 | 1 | 3 | 2 | 3 | 2 |
| 1 | 2 | 4 | 1 | 4 | 4 |
| 4 | 2 | 3 | 2 | 1 | 1 |
| 3 | 1 | 4 | 1 | 2 | 1 |
| 3 | 4 | 4 | 1 | 4 | 2 |
| 2 | 3 | 4 | 4 | 1 | 3 |
| 4 | 1 | 4 | 2 | 4 | 1 |
| 1 | 3 | 4 | 1 | 1 | 4 |
| 1 | 1 | 4 | 4 | 2 | 1 |

4.3.4 Pengelompokan dengan *Epoch* 40

Pada proses clustering menggunakan Kohonen SOM dengan *epoch* = 40, berikut ini akan ditunjukkan hasilnya dari kiri ke kanan pada Tabel 4.7 di bawah ini :

Tabel 4. 7 Hasil *Clustering* dengan *epoch* = 40

| Data 1 - 30 | Data 31 - 60 | Data 61 - 90 | Data 91 - 120 | Data 121 - 150 | Data 151 - 180 | Data 181 - 200 |
|----------------|-----------------|-----------------|------------------|-------------------|-------------------|-------------------|
| 2 | 3 | 2 | 2 | 4 | 1 | 1 |
| 4 | 4 | 2 | 4 | 1 | 4 | 1 |
| 2 | 2 | 4 | 4 | 3 | 1 | 1 |
| 1 | 1 | 2 | 1 | 4 | 2 | 1 |
| 4 | 1 | 2 | 2 | 4 | 3 | 1 |
| 2 | 1 | 2 | 4 | 1 | 1 | 4 |
| 4 | 4 | 3 | 1 | 2 | 3 | 2 |
| 1 | 4 | 1 | 1 | 4 | 4 | 4 |
| 1 | 4 | 1 | 1 | 4 | 1 | 1 |
| 4 | 4 | 1 | 1 | 1 | 4 | 4 |
| 1 | 1 | 4 | 4 | 3 | 1 | 1 |
| 2 | 4 | 2 | 2 | 2 | 4 | 2 |
| 1 | 3 | 4 | 4 | 1 | 2 | 4 |
| 4 | 1 | 3 | 1 | 1 | 1 | 4 |
| 2 | 1 | 4 | 1 | 1 | 1 | 4 |
| 1 | 4 | 3 | 1 | 4 | 2 | 2 |
| 4 | 2 | 3 | 1 | 2 | 4 | 1 |
| 4 | 4 | 1 | 1 | 1 | 2 | 4 |
| 4 | 4 | 3 | 2 | 2 | 1 | 1 |
| 1 | 4 | 4 | 4 | 4 | 2 | 4 |

| | | | | | | |
|---|---|---|---|---|---|--|
| 1 | 4 | 1 | 2 | 1 | 4 | |
| 3 | 1 | 4 | 2 | 4 | 2 | |
| 1 | 2 | 4 | 1 | 4 | 4 | |
| 4 | 1 | 4 | 2 | 1 | 1 | |
| 4 | 1 | 4 | 1 | 2 | 1 | |
| 4 | 4 | 4 | 1 | 4 | 2 | |
| 2 | 4 | 4 | 4 | 1 | 4 | |
| 4 | 1 | 4 | 1 | 4 | 1 | |
| 1 | 4 | 4 | 1 | 1 | 4 | |
| 1 | 1 | 4 | 4 | 1 | 1 | |

4.3.5 Pengelompokan dengan *Epoch* 50

Pada proses clustering menggunakan Kohonen SOM dengan *epoch* = 50, berikut ini akan ditunjukkan hasilnya dari kiri ke kanan pada Tabel 4.8 di bawah ini :

Tabel 4. 8 Hasil *Clustering* dengan *epoch* = 50

| Data 1 - 30 | Data 31 - 60 | Data 61 - 90 | Data 91 - 120 | Data 121 - 150 | Data 151 - 180 | Data 181 - 200 |
|----------------|-----------------|-----------------|------------------|-------------------|-------------------|-------------------|
| 3 | 2 | 3 | 3 | 1 | 4 | 4 |
| 1 | 2 | 4 | 1 | 4 | 2 | 4 |
| 3 | 3 | 1 | 1 | 2 | 4 | 4 |
| 4 | 4 | 3 | 4 | 1 | 3 | 4 |
| 1 | 4 | 3 | 3 | 2 | 2 | 4 |
| 3 | 4 | 3 | 1 | 4 | 4 | 1 |
| 2 | 1 | 2 | 4 | 3 | 2 | 3 |
| 4 | 1 | 4 | 4 | 1 | 1 | 1 |
| 4 | 1 | 4 | 4 | 2 | 4 | 4 |
| 1 | 1 | 4 | 4 | 4 | 1 | 1 |
| 4 | 4 | 1 | 1 | 2 | 4 | 4 |
| 3 | 2 | 3 | 3 | 3 | 1 | 3 |
| 4 | 2 | 1 | 2 | 3 | 3 | 1 |
| 2 | 4 | 2 | 4 | 4 | 4 | 1 |
| 3 | 4 | 2 | 4 | 4 | 4 | 2 |
| 4 | 1 | 2 | 4 | 1 | 3 | 3 |
| 1 | 3 | 2 | 3 | 3 | 1 | 4 |
| 1 | 1 | 4 | 4 | 4 | 3 | 1 |
| 2 | 1 | 2 | 3 | 3 | 4 | 4 |

| | | | | | | |
|---|---|---|---|---|---|---|
| 4 | 1 | 1 | 1 | 1 | 3 | 1 |
| 3 | 1 | 4 | 3 | 3 | 1 | |
| 2 | 4 | 2 | 3 | 1 | 3 | |
| 4 | 3 | 1 | 4 | 1 | 1 | |
| 1 | 3 | 2 | 3 | 4 | 4 | |
| 2 | 4 | 1 | 4 | 3 | 4 | |
| 2 | 1 | 1 | 4 | 1 | 4 | |
| 3 | 1 | 1 | 1 | 4 | 2 | |
| 1 | 4 | 1 | 3 | 1 | 4 | |
| 4 | 1 | 1 | 4 | 4 | 1 | |
| 4 | 4 | 1 | 1 | 4 | 4 | |

4.3.6 Pengelompokan dengan *Epoch* 60

Pada proses clustering menggunakan Kohonen SOM dengan *epoch* = 60, berikut ini akan ditunjukkan hasilnya dari kiri ke kanan pada Tabel 4.9 di bawah ini :

Tabel 4. 9 Hasil *Clustering* dengan *epoch* = 60

| Data 1 - 30 | Data 31 - 60 | Data 61 - 90 | Data 91 - 120 | Data 121 - 150 | Data 151 - 180 | Data 181 - 200 |
|----------------|-----------------|-----------------|------------------|-------------------|-------------------|-------------------|
| 3 | 2 | 3 | 3 | 1 | 4 | 4 |
| 1 | 2 | 4 | 1 | 4 | 2 | 4 |
| 3 | 3 | 1 | 1 | 2 | 4 | 4 |
| 4 | 4 | 3 | 4 | 1 | 3 | 3 |
| 1 | 4 | 3 | 3 | 1 | 2 | 4 |
| 3 | 4 | 3 | 1 | 4 | 4 | 1 |
| 2 | 1 | 2 | 4 | 3 | 2 | 3 |
| 4 | 1 | 3 | 4 | 1 | 1 | 1 |
| 4 | 1 | 4 | 4 | 2 | 4 | 4 |
| 1 | 2 | 4 | 4 | 4 | 1 | 1 |
| 4 | 4 | 1 | 1 | 2 | 4 | 4 |
| 3 | 2 | 3 | 3 | 3 | 1 | 3 |
| 4 | 2 | 1 | 2 | 3 | 3 | 1 |
| 2 | 4 | 2 | 4 | 4 | 4 | 1 |
| 3 | 4 | 2 | 4 | 4 | 3 | 2 |
| 3 | 1 | 2 | 4 | 1 | 3 | 3 |
| 1 | 3 | 2 | 3 | 3 | 1 | 4 |
| 1 | 1 | 4 | 4 | 4 | 3 | 1 |

| | | | | | | |
|---|---|---|---|---|---|---|
| 2 | 1 | 2 | 3 | 3 | 4 | 4 |
| 4 | 1 | 1 | 1 | 1 | 3 | 1 |
| 3 | 1 | 4 | 3 | 3 | 1 | |
| 2 | 4 | 2 | 3 | 1 | 3 | |
| 4 | 3 | 1 | 4 | 1 | 1 | |
| 1 | 3 | 2 | 3 | 4 | 4 | |
| 2 | 4 | 1 | 4 | 3 | 4 | |
| 2 | 1 | 1 | 4 | 1 | 3 | |
| 3 | 1 | 1 | 1 | 4 | 2 | |
| 1 | 4 | 1 | 3 | 1 | 4 | |
| 4 | 1 | 1 | 4 | 4 | 1 | |
| 4 | 4 | 1 | 1 | 4 | 4 | |

4.3.7 Pengelompokan dengan *Epoch* 70 – 500

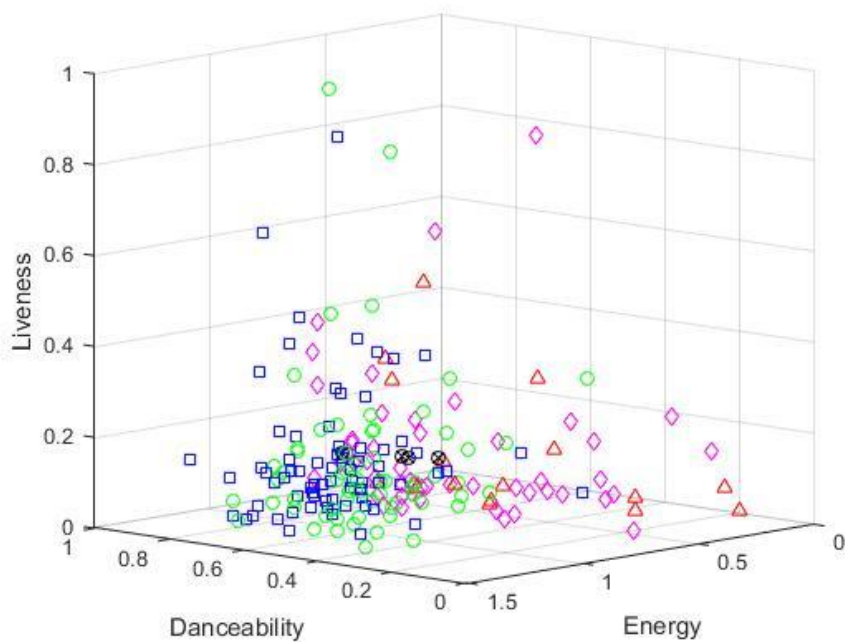
Pada proses clustering menggunakan Kohonen SOM dengan *epoch* = 70, 80, 90, 100, 200, 300, 400, dan 500. Berikut ini akan ditunjukkan hasilnya dari kiri ke kanan pada Tabel 4.10 di bawah ini :

Tabel 4. 10 Hasil *Clustering* dengan *epoch* = 70, 80, 90, 100, 200, 300, 400, dan 500

| Data 1 - 30 | Data 31 - 60 | Data 61 - 90 | Data 91 - 120 | Data 121 - 150 | Data 151 - 180 | Data 181 - 200 |
|----------------|-----------------|-----------------|------------------|-------------------|-------------------|-------------------|
| 3 | 2 | 3 | 3 | 1 | 4 | 4 |
| 1 | 1 | 3 | 1 | 3 | 2 | 4 |
| 3 | 3 | 1 | 1 | 2 | 4 | 4 |
| 3 | 4 | 3 | 3 | 1 | 3 | 4 |
| 1 | 4 | 4 | 4 | 2 | 2 | 4 |
| 4 | 4 | 3 | 1 | 4 | 4 | 1 |
| 1 | 2 | 2 | 4 | 3 | 2 | 3 |
| 3 | 1 | 3 | 3 | 1 | 1 | 1 |
| 4 | 1 | 3 | 4 | 1 | 3 | 3 |
| 2 | 2 | 4 | 3 | 4 | 1 | 1 |
| 4 | 4 | 1 | 1 | 2 | 4 | 4 |
| 3 | 1 | 3 | 3 | 3 | 2 | 3 |
| 4 | 2 | 1 | 2 | 3 | 3 | 1 |
| 2 | 3 | 2 | 4 | 4 | 4 | 1 |
| 4 | 4 | 2 | 4 | 4 | 3 | 1 |
| 3 | 1 | 2 | 4 | 1 | 4 | 3 |

| | | | | | | |
|---|---|---|---|---|---|---|
| 1 | 3 | 1 | 4 | 3 | 1 | 4 |
| 2 | 2 | 4 | 3 | 4 | 3 | 1 |
| 1 | 1 | 2 | 3 | 4 | 4 | 3 |
| 3 | 1 | 1 | 1 | 1 | 3 | 1 |
| 3 | 1 | 3 | 3 | 4 | 1 | |
| 2 | 4 | 1 | 3 | 2 | 3 | |
| 3 | 3 | 1 | 3 | 1 | 2 | |
| 1 | 3 | 2 | 3 | 4 | 4 | |
| 2 | 4 | 1 | 4 | 3 | 3 | |
| 1 | 1 | 1 | 4 | 1 | 3 | |
| 3 | 1 | 1 | 1 | 4 | 1 | |
| 1 | 4 | 1 | 4 | 1 | 3 | |
| 3 | 2 | 1 | 3 | 3 | 1 | |
| 4 | 4 | 1 | 1 | 3 | 4 | |

Karena pada *epoch* 70 – 500 ini hasil *clustering* yang didapatkan bersifat sudah *konvergen*, maka hasil *clustering* di atas adalah hasil yang akan digunakan untuk di cek validasinya menggunakan Davies-Bouldin Index (DBI).



Gambar 4. 1 Plot 3 Dimensi pada Fitur Audio *Danceability*, *Energy*, dan *Liveness*

Pada Gambar 4.1 di atas adalah untuk memberikan informasi mengenai letak / plot dari 3 variabel (*danceability*, *energy*, dan *liveness*) yang digunakan pada penelitian ini ke dalam plot 3 dimensi.

Kemudian, sebelum memasuki proses validasi hasil *cluster* dengan Davies- Bouldin Index (DBI), akan ditunjukkan jumlah lagu dari setiap *cluster* berdasarkan hasil dari Tabel 4.10 di atas yang ditunjukkan pada Tabel 4.11 di bawah ini.

Tabel 4. 11 Jumlah Lagu dari Tiap Cluster

| No | Cluster | Jumlah lagu pada tiap <i>cluster</i> |
|----|------------------|--------------------------------------|
| 1 | <i>Cluster 1</i> | 61 lagu |
| 2 | <i>Cluster 2</i> | 27 lagu |
| 3 | <i>Cluster 3</i> | 59 lagu |
| 4 | <i>Cluster 4</i> | 53 lagu |

Berdasarkan hasil *clustering* menggunakan Algoritma Kohonen SOM dengan membagi data tersebut ke dalam 4 *cluster*, hasil yang didapatkan berdasarkan Tabel 4.11 di atas adalah tampak bahwa *cluster* 1 terdiri dari 61 lagu, *cluster* 2 terdiri dari 27 lagu, *cluster* 3 terdiri dari 59 lagu, dan *cluster* 4 terdiri dari 53 lagu.

Setelah dilakukan proses *clustering* menggunakan Kohonen SOM ini, dapat diketahui *mode* dari tiap hasil *cluster* pada Tabel 4.11 di atas, karena varibel fitur audio *mode* ini akan bersifat kategorik jika sudah di *clustering* menggunakan Kohonen SOM. Karena hanya terdapat 2 nilai dari fitur audio *mode* ini, yaitu 0 = Minor dan 1 = Mayor. Sehingga untuk mengetahui kelompok *mode* (0 atau 1) dari *cluster* 1, *cluster* 2, *cluster* 3, dan *cluster* 4, akan ditunjukkan hasil pemetaan dari tiap *cluster* pada Tabel 4.12 di bawah ini.

Tabel 4. 12 Kategori Mode dari tiap *cluster*

| No | Cluster | Jumlah lagu pada tiap <i>cluster</i> | Mode tiap <i>cluster</i> |
|----|------------------|--------------------------------------|--------------------------|
| 1 | <i>Cluster 1</i> | 61 lagu | 0 (Minor) |
| 2 | <i>Cluster 2</i> | 27 lagu | 0 (Minor) |

| | | | |
|---|------------------|---------|-----------|
| 3 | <i>Cluster 3</i> | 59 lagu | 1 (Mayor) |
| 4 | <i>Cluster 4</i> | 53 lagu | 1 (Mayor) |

Berdasarkan hasil dari Tabel 4.12 di atas, hasil yang didapatkan adalah :

1. *Cluster 1* yang memiliki jumlah lagu sebanyak 61 lagu merupakan kelompok lagu dengan kategori mode = 0 (Minor).
2. *Cluster 2* yang memiliki jumlah lagu sebanyak 27 lagu merupakan kelompok lagu dengan kategori mode = 0 (Minor) sama seperti dengan *cluster 1*.
3. *Cluster 3* yang memiliki jumlah lagu sebanyak 59 lagu merupakan kelompok lagu dengan kategori mode = 1 (Mayor).
4. *Cluster 4* yang memiliki jumlah lagu sebanyak 53 lagu merupakan kelompok lagu dengan kategori mode = 1 (Mayor) sama seperti dengan *cluster 3*.

dengan:

- Minor : Ciri-ciri lagu dengan sifat yang bersemangat / riang gembira
- Mayor : Ciri-ciri lagu dengan sifat yang kurang bersemangat / sedih

4.4 Validasi *Cluster* Menggunakan DBI

Langkah selanjutnya adalah melakukan validasi dari hasil *clustering* menggunakan Kohonen SOM dengan Davies-Bouldin Index (DBI). Karena pada penelitian ini jumlah *cluster* yang digunakan hanya 4 cluster, maka validasi yang dilakukan yaitu pada nilai *epoch* yang digunakan. Setelah dilakukan validasi menggunakan DBI dengan parameter LR = 0.1, PLR = 0.9, dan *epoch* = 70, 80, 90, 100, 200, 300, 400, dan 500, hasil yang didapatkan ditunjukkan pada Tabel 4.13 di bawah ini.

Tabel 4. 13 Hasil Validasi *Cluster* Menggunakan Davies-Bouldin Index (DBI)

| No | LR | PLR | Epoch | Davies Bouldin Index |
|----|-----|-----|-------|-------------------------|
| | | | | 4 Cluster |
| 1 | 0.9 | 0.1 | 70 | 1.991 |

| | | | | |
|---|-----|-----|-----|--------|
| 2 | 0.9 | 0.1 | 80 | 2.0729 |
| 3 | | | 90 | 2.1269 |
| 4 | | | 100 | 2.036 |
| 5 | | | 200 | 1.4971 |
| 6 | | | 300 | 2.1685 |
| 7 | | | 400 | 1.5439 |
| 8 | | | 500 | 1.5429 |

Berdasarkan hasil validasi *cluster* pada Tabel 4.13 di atas, dapat disimpulkan bahwa dengan menggunakan parameter tersebut, nilai Davies-Bouldin Index yang paling minimum diperoleh pada saat menggunakan $epoch = 200$ dengan nilai DBI = 1.4971.

4.5 Penentuan *Cluster* Terbaik Berdasarkan Jumlah *Streaming*

Tahap selanjutnya adalah menentukan *cluster* terbaik berdasarkan jumlah *streaming* dari tiap *cluster*. Pada tahap ini, untuk mengetahui *cluster* terbaik / *cluster* yang memiliki jumlah *streaming* paling banyak dari 4 *cluster* tersebut, akan ditentukan dengan cara mencari rata-rata dari tiap hasil *cluster*. Sehingga dapat diketahui *cluster* mana yang memiliki jumlah *streaming* banyak, sedang, cukup, dan sedikit.

Jumlah *streaming* yang digunakan disini diubah bentuk satunya dalam puluhan juta agar memudahkan dalam pengolahan data untuk tahap selanjutnya. Berikut ini akan ditunjukkan jumlah *streaming* dari tiap *cluster*, sebelum dicari nilai rata-ratanya yang ditunjukkan pada Tabel 4.14 di bawah ini.

Tabel 4. 14 Jumlah *streaming* dari tiap *cluster*

| No | Cluster | Jumlah lagu pada tiap <i>cluster</i> | Jumlah <i>streaming</i> tiap <i>cluster</i> (dalam puluhan juta) |
|----|------------------|--------------------------------------|--|
| 1 | <i>Cluster 1</i> | 61 lagu | 49.4933304 |
| 2 | <i>Cluster 2</i> | 27 lagu | 23.8099558 |
| 3 | <i>Cluster 3</i> | 59 lagu | 51.324582 |
| 4 | <i>Cluster 4</i> | 53 lagu | 40.8212848 |

Berdasarkan Tabel 4.14 di atas, dapat diketahui bahwa, *cluster 1* yang memiliki 61 lagu tersebut memiliki total pendengar (*streaming*) sebanyak

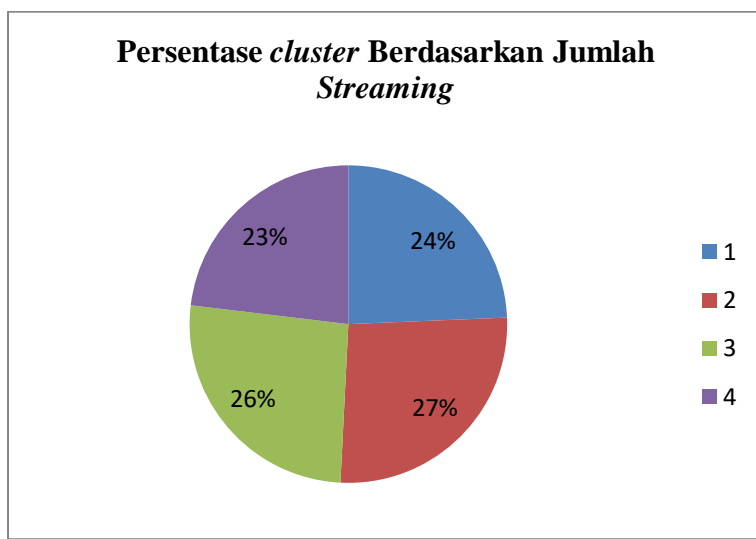
49.4933304 atau 494,933,304 pendengar. Sedangkan untuk *cluster 2* yang memiliki 27 lagu memiliki total pendengar (*streaming*) sebanyak 23.8099558 atau 238,099,558 pendengar. Kemudian untuk *cluster 3* yang memiliki 59 lagu memiliki total pendengar (*streaming*) sebanyak 51.324582 atau 51,324,582 pendengar. Dan yang terakhir, untuk *cluster 4*, yang memiliki 53 lagu memiliki total pendengar (*streaming*) sebanyak 40.8212848 atau 408,212,848 pendengar. Kemudian dihitung nilai rata-rata dari tiap *cluster* untuk mengetahui ranking *cluster* yang memiliki jumlah *streaming* banyak, sedang, cukup, dan sedikit. Hasil dari perankingan tersebut ditunjukkan pada Tabel 4.15 di bawah ini.

Tabel 4. 15 Urutan *cluster* terbaik berdasarkan jumlah *streaming*

| No | Cluster | Rata-rata | Ranking cluster |
|----|---------|-------------|-----------------|
| 1 | 2 | 0.881850215 | Banyak |
| 2 | 3 | 0.869908169 | Sedang |
| 3 | 1 | 0.811366072 | Cukup |
| 4 | 4 | 0.770212921 | Sedikit |

Berdasarkan Tabel 4.15 di atas, *cluster* terbaik / *cluster* yang memiliki banyak jumlah *streaming* berdasarkan nilai rata-rata tiap *cluster* yaitu pada *cluster 2*, dengan jumlah dengan nilai rata-rata sebesar 0.881. Sedangkan untuk *cluster* yang memiliki jumlah *streaming* sedang yaitu pada *cluster 3* dengan nilai rata-rata sebesar 0.869. Kemudian untuk *cluster* yang memiliki jumlah *streaming* cukup yaitu pada *cluster 3* dengan nilai rata-rata sebesar 0.811, dan *cluster* yang memiliki jumlah *streaming* paling sedikit yaitu pada *cluster 4* dengan nilai rata-rata sebesar 0.770.

Berikut ini akan disajikan *pie chart* dari Tabel 4.15 untuk mengetahui persentase dari tiap *cluster* di atas yang ditunjukkan pada Gambar 4.2 berikut ini.



Gambar 4. 2 Persentase *cluster* Berdasarkan Jumlah *Streaming*

Berdasarkan Gambar 4.2 di atas, dapat disimpulkan bahwa, dari total persentase 100%, pada *cluster* 2 dengan jumlah *streaming* paling banyak dan nilai rata-rata sebesar 0.881, memiliki persentase sebesar 27%. Sedangkan pada *cluster* 3 yang memiliki jumlah *streaming* sedang dengan nilai rata-rata sebesar 0.869 memiliki persentase sebesar 26%. Sedangkan *cluster* 1 yang memiliki jumlah *streaming* cukup dengan nilai rata-rata sebesar 0.811 memiliki persentase sebesar 24%. Dan *cluster* yang memiliki jumlah *streaming* paling sedikit, yaitu *cluster* 4, memiliki persentase sebesar 23%.

4.6 Analisa Fitur yang Berpengaruh Signifikan Menggunakan Regresi Linier Berganda

Setelah mengetahui hasil *clustering* yang telah dilakukan, tahap selanjutnya penelitian ini adalah mencari fitur audio yang berpengaruh signifikan terhadap jumlah *streaming* menggunakan Analisis Regresi Linier Berganda. *Cluster* yang dianalisis pada tahap ini adalah *cluster* 2, karena *cluster* 2 merupakan *cluster* yang memiliki jumlah *streaming* paling banyak dari *cluster* lainnya. Sebelum dilakukan analisis dengan regresi linier berganda, akan dilakukan pengecekan asumsi klasik untuk mengukur kualitas data dalam penelitian.

4.6.1 Identifikasi Variabel

Dalam penelitian ini variabel independen yang digunakan ada 12 variabel (*X*) dan variabel dependen (*Y*), yaitu :

1. Danceability = X_1
2. Energy = X_2
3. Liveness = X_3
4. Tempo = X_4
5. Speechiness = X_5
6. Acousticness = X_6
7. Instrumentalness = X_7
8. Time = X_8
9. Key = X_9
10. Duration = X_{10}
11. Loudness = X_{11}
12. Valence = X_{12}
13. Jumlah *Streaming* = Y

4.6.2 Uji Asumsi Klasik

Dalam penelitian, untuk mengukur kualitas data dalam penelitian guna untuk menghasilkan model persamaan regresi yang baik, maka dari itu akan dilakukan pengujian asumsi klasik terhadap variabel-variabel bebas yang ada pada penelitian ini yang akan dijelaskan melalui 3 asumsi sebagai berikut :

4.6.2.1 Uji Normalitas

Uji Normalitas disini digunakan untuk menguji apakah nilai residual yang dihasilkan dari regresi tersebut terdistribusi normal atau tidak. Dalam uji normalitas disini menggunakan nilai $\alpha = 0.05$. Jika nilai $\alpha > 0.05$, maka dikatakan data yang digunakan dalam penelitian ini terdistribusi normal. Pengujian normalitas yang digunakan pada tahap ini menggunakan *Kolmogorov Smirnov* (K-S). Berikut ini adalah hasil dari pengujian normalitas yang ditunjukkan pada Tabel 4.16 di bawah ini :

Tabel 4. 16 Hasil Uji Normalitas

| One-Sample Kolmogorov-Smirnov Test | |
|---|-------------------------|
| | Unstandardized Residual |
| N | 27 |
| Test Statistic | .163 |

| | |
|------------------------|------|
| Asymp. Sig. (2-tailed) | .064 |
|------------------------|------|

Berdasarkan Tabel 4.16 di atas, bahwa dengan pengujian normalitas menggunakan Kolmogorov-Smirnov (K-S) didapatkan nilai Asymp Sig (2-tailed) = 0.064 yang dimana nilai $0.064 > 0.05$. Sehingga dapat dikatakan bahwa residual dalam penelitian ini memenuhi asumsi normalitas dan memiliki data yang berdistribusi normal.

4.6.2.2 Uji Multikolinearitas

Uji multikolinearitas disini bertujuan untuk mengetahui ada tidaknya penyimpangan asumsi klasik multikolinearitas, yaitu adanya korelasi antar variabel independen dalam model regresi. Untuk mengetahui ada atau tidaknya multikolinearitas dapat dilihat pada nilai VIF (*Variance Inflation Factor*) dan Tolerance.

Jika nilai $VIF < 10$ dan $Tolerance > 0.01$, maka tidak terdapat multikolinearitas diantara variabel independen. Hasil dari uji multikolinearitas dalam penelitian ini ditunjukan pada Tabel 4.17 di bawah ini:

Tabel 4. 17 Hasil Uji Multikolinearitas

| No | Variabel | Collinearity Statistics | | Keterangan |
|----|------------------|-------------------------|-------|-----------------------------|
| | | Tolerance | VIF | |
| 1 | Danceability | .378 | 2.646 | Tidak ada multikolinearitas |
| 2 | Energy | .224 | 4.462 | Tidak ada multikolinearitas |
| 3 | Liveness | .716 | 1.396 | Tidak ada multikolinearitas |
| 4 | Tempo | .551 | 1.813 | Tidak ada multikolinearitas |
| 5 | Speechiness | .542 | 1.845 | Tidak ada multikolinearitas |
| 6 | Accousticness | .373 | 2.681 | Tidak ada multikolinearitas |
| 7 | Instrumentalness | .721 | 1.388 | Tidak ada multikolinearitas |
| 8 | Time | .535 | 1.869 | Tidak ada multikolinearitas |
| 9 | Key | .834 | 1.199 | Tidak ada multikolinearitas |
| 10 | Duration | .631 | 1.585 | Tidak ada multikolinearitas |
| 11 | Loudness | .275 | 3.637 | Tidak ada multikolinearitas |
| 12 | Valence | .283 | 3.538 | Tidak ada multikolinearitas |

Berdasarkan Tabel 4.17 di atas, hasil dari uji multikolinearitas, dapat kita lihat dari 12 variabel independen dalam pengujian ini, masing-masing dari variabel independen mempunyai nilai $VIF < 10$ dan $Tolerance > 0.05$. Interpretasi dari hasil uji multikolinearitas di atas adalah :

1. Pada variabel *danceability*, karena nilai $VIF < 10$ yaitu $2.646 < 10$ dan $Tolerance > 0.05$ yaitu $0.378 > 0.05$, maka, hal ini menunjukkan bahwa untuk variabel *danceability* tidak terdapat multikolinearitas.
2. Pada variabel *energy*, karena nilai $VIF < 10$ yaitu $4.462 < 10$ dan $Tolerance > 0.05$ yaitu $0.224 > 0.05$, maka, hal ini menunjukkan bahwa untuk variabel *energy* tidak terdapat multikolinearitas.
3. Pada variabel *liveness*, karena nilai $VIF < 10$ yaitu $1.396 < 10$ dan $Tolerance > 0.05$ yaitu $0.716 > 0.05$, maka, hal ini menunjukkan bahwa untuk variabel *liveness* tidak terdapat multikolinearitas.
4. Pada variabel *tempo*, karena nilai $VIF < 10$ yaitu $1.813 < 10$ dan $Tolerance > 0.05$ yaitu $0.551 > 0.05$, maka, hal ini menunjukkan bahwa untuk variabel *tempo* tidak terdapat multikolinearitas.
5. Pada variabel *spechiness*, karena nilai $VIF < 10$ yaitu $1.845 < 10$ dan $Tolerance > 0.05$ yaitu $0.542 > 0.05$, maka, hal ini menunjukkan bahwa untuk variabel *spechiness* tidak terdapat multikolinearitas.
6. Pada variabel *accousticness*, karena nilai $VIF < 10$ yaitu $2.681 < 10$ dan $Tolerance > 0.05$ yaitu $0.373 > 0.05$, maka, hal ini menunjukkan bahwa untuk variabel *accousticness* tidak terdapat multikolinearitas.
7. Pada variabel *instrumentalness*, karena nilai $VIF < 10$ yaitu $1.388 < 10$ dan $Tolerance > 0.05$ yaitu $0.721 > 0.05$, maka, hal ini menunjukkan bahwa untuk variabel *instrumentalness* tidak terdapat multikolinearitas.
8. Pada variabel *time*, karena nilai $VIF < 10$ yaitu $1.869 < 10$ dan $Tolerance > 0.05$ yaitu $0.535 > 0.05$, maka, hal ini menunjukkan bahwa untuk variabel *time* tidak terdapat multikolinearitas.
9. Pada variabel *key*, karena nilai $VIF < 10$ yaitu $1.199 < 10$ dan $Tolerance > 0.05$ yaitu $0.834 > 0.05$, maka, hal ini menunjukkan bahwa untuk variabel *key* tidak terdapat multikolinearitas.

10. Pada variabel *duration*, karena nilai VIF < 10 yaitu $1.585 < 10$ dan Tolerance > 0.05 yaitu $0.631 > 0.05$, maka, hal ini menunjukkan bahwa untuk variabel *duration* tidak terdapat multikolinearitas.
11. Pada variabel *loudness*, karena nilai VIF < 10 yaitu $3.637 < 10$ dan Tolerance > 0.05 yaitu $0.275 > 0.05$, maka, hal ini menunjukkan bahwa untuk variabel *loudness* tidak terdapat multikolinearitas.
12. Pada variabel *valence*, karena nilai VIF < 10 yaitu $3.538 < 10$ dan Tolerance > 0.05 yaitu $0.283 > 0.05$, maka, hal ini menunjukkan bahwa untuk variabel *valence* tidak terdapat multikolinearitas.
- Sehingga berdasarkan interpretasi dari uji multikolinearitas di atas, dapat disimpulkan bahwa hasil regresi diatas terbebas dari multikolinearitas atau dapat dikatakan bahwa tidak ada multikolinearitas dalam data dari penelitian ini.

4.6.2.3 Uji Heteroskedastisitas

Uji Heteroskedastisitas pada tahap ini digunakan juga untuk melihat ada dan tidaknya penyimpangan terhadap asumsi klasik heteroskedastisitas yaitu adanya ketidaksamaan varian dari residual penelitian pada model regresi. Dalam pengujian ini, dilakukan menggunakan Uji Glejser.

Jika hasil dari uji heteroskedastisitas menunjukkan nilai $Sig > 0.05$ pada tiap variabel independent, maka data akan terbebas dari heteroskedastisitas. Sebaliknya jika nilai $Sig < 0.05$ pada setiap variabel independent, maka akan terjadi heteroskedastisitas. Hasil dari uji heteroskedastisitas dapat dilihat pada Tabel 4.18 di bawah ini :

Tabel 4. 18 Hasil Uji Heteroskedastisitas

| No | Variabel | t | Sig. | Keterangan |
|----|---------------|--------|------|-----------------------------------|
| 1 | Danceability | 1.118 | .282 | Tidak terjadi heteroskedastisitas |
| 2 | Energy | -.755 | .463 | Tidak terjadi heteroskedastisitas |
| 3 | Liveness | -1.252 | .231 | Tidak terjadi heteroskedastisitas |
| 4 | Tempo | -3.300 | .005 | Terjadi heteroskedastisitas |
| 5 | Spechiness | .526 | .607 | Tidak terjadi heteroskedastisitas |
| 6 | Accousticness | -.727 | .479 | Tidak terjadi heteroskedastisitas |

| | | | | |
|----|------------------|--------|------|-----------------------------------|
| 7 | Instrumentalness | -.067 | .947 | Tidak terjadi heteroskedastisitas |
| 8 | Time | .573 | .576 | Tidak terjadi heteroskedastisitas |
| 9 | Key | 1.076 | .300 | Tidak terjadi heteroskedastisitas |
| 10 | Duration | -.637 | .534 | Tidak terjadi heteroskedastisitas |
| 11 | Loudness | .733 | .476 | Tidak terjadi heteroskedastisitas |
| 12 | Valence | -1.885 | .080 | Tidak terjadi heteroskedastisitas |

Berdasarkan Tabel 4.18 di atas, hasil dari uji heteroskedastisitas menunjukkan bahwa semua variabel independent kecuali variabel *tempo* dalam penelitian ini memiliki nilai $Sig > 0.05$. Interpretasi dari hasil uji multikolinearitas di atas adalah :

1. Pada variabel *danceability*, karena nilai $Sig > 0.05$ yaitu $0.282 > 0.05$, maka, hal ini menunjukkan bahwa untuk variabel *danceability* tidak terjadi heteroskedastisitas.
2. Pada variabel *energy*, karena nilai $Sig > 0.05$ yaitu $0.463 > 0.05$, maka, hal ini menunjukkan bahwa untuk variabel *energy* tidak terjadi heteroskedastisitas.
3. Pada variabel *liveness*, karena nilai $Sig > 0.05$ yaitu $0.231 > 0.05$, maka, hal ini menunjukkan bahwa untuk variabel *liveness* tidak terjadi heteroskedastisitas.
4. Pada variabel *tempo* karena nilai $Sig < 0.05$ yaitu $0.005 < 0.05$, maka, hal ini menunjukkan bahwa untuk variabel *tempo* terjadi heteroskedastisitas.
5. Pada variabel *spechiness*, karena nilai $Sig > 0.05$ yaitu $0.607 > 0.05$, maka, hal ini menunjukkan bahwa untuk variabel *spechiness* tidak terjadi heteroskedastisitas.
6. Pada variabel *accousticness*, karena nilai $Sig > 0.05$ yaitu $0.479 > 0.05$, maka, hal ini menunjukkan bahwa untuk variabel *accousticness* tidak terjadi heteroskedastisitas.
7. Pada variabel *instrumentalness*, karena nilai $Sig > 0.05$ yaitu $0.947 > 0.05$, maka, hal ini menunjukkan bahwa untuk variabel *instrumentalness* tidak terjadi heteroskedastisitas.

8. Pada variabel *time*, karena nilai *Sig* > 0.05 yaitu $0.576 > 0.05$, maka, hal ini menunjukkan bahwa untuk variabel *time* tidak terjadi heteroskedastisitas.
9. Pada variabel *key*, karena nilai *Sig* > 0.05 yaitu $0.300 > 0.05$, maka, hal ini menunjukkan bahwa untuk variabel *key* tidak terjadi heteroskedastisitas.
10. Pada variabel *duration*, karena nilai *Sig* > 0.05 yaitu $0.534 > 0.05$, maka, hal ini menunjukkan bahwa untuk variabel *duration* tidak terjadi heteroskedastisitas.
11. Pada variabel *loudness*, karena nilai *Sig* > 0.05 yaitu $0.476 > 0.05$, maka, hal ini menunjukkan bahwa untuk variabel *loudness* tidak terjadi heteroskedastisitas.
12. Pada variabel *valence*, karena nilai *Sig* > 0.05 yaitu $0.080 > 0.05$, maka, hal ini menunjukkan bahwa untuk variabel *valence* tidak terjadi heteroskedastisitas.

Berdasarkan interpretasi hasil dari uji heteroskedastisitas, hanya variabel *tempo* yang terjadi heteroskedastisitas dari 12 variabel independen lainnya.

4.6.3 Uji Hipotesis

Selanjutnya, setelah dilakukan uji asumsi klasik, dilakukan uji hipotesis, guna untuk mengetahui pengaruh antara variabel independen (*X*) dari penelitian ini, yaitu *danceability*, *energy*, *liveness*, *tempo*, *spechiness*, *accousticness*, *instrumentallness*, *time*, *key*, *duration*, *loudness*, dan *valence* terhadap variabel (*Y*), yaitu jumlah *streaming*. Uji hipotesis yang akan dilakukan pada penelitian ini yaitu dilakukan dengan mengukur koefisien determinasi dan melakukan Uji T (Uji Parsial).

4.6.3.1 Koefisien Determinasi

Koefisien Determinasi (R^2) sering digunakan untuk mengukur seberapa besar kemampuan semua variabel bebas dalam menjelaskan varians dari variabel terikatnya., dimana besarnya nilai koefisien

determinasi (R^2) ini dalam rentang $0 \leq R^2 \leq 1$. Jika nilai R^2 hampir mendekati 1, maka akan semakin kuat pengaruh variabel-variabel independen akan perubahan variabel dependen. Hasil dari koefisien determinasi (R^2) dari penelitian ini dapat dilihat pada Tabel 4.19 di bawah ini :

Tabel 4. 19 Hasil Koefisien Determinasi (R^2)

| R | R Square | Adjusted R Square |
|------|----------|-------------------|
| .731 | .535 | .136 |

Berdasarkan Tabel 4.19 di atas, hasilnya menyatakan bahwa koefisien determinasi (R^2) atau kemampuan faktor-faktor variabel independen, yaitu *danceability*, *energy*, *liveness*, *tempo*, *spechiness*, *accousticness*, *instrumentallness*, *time*, *key*, *duration*, *loudness*, dan *valence* dalam menjelaskan variasi perubahan pada variabel dependen, yaitu jumlah *streaming* sebesar 0.535 atau 53.5% dan sisannya, yaitu $100\% - 53.5\% = 46.5\%$ dijelaskan oleh variabel lain diluar model.

4.6.3.2 Uji T (Uji Parsial)

Tahap terakhir dari penelitian ini yaitu melakukan Uji T. Uji T pada penelitian ini digunakan untuk mengetahui apakah apakah persamaan model regresi yang terbentuk secara parsial 12 variabel independen, yaitu *danceability*, *energy*, *liveness*, *tempo*, *spechiness*, *accousticness*, *instrumentallness*, *time*, *key*, *duration*, *loudness*, dan *valence* berpengaruh signifikan terhadap variabel dependen, yaitu jumlah *streaming*. Pada uji parsial ini, digunakan $\alpha = 0.05$, $n = 27$, dan $k = 12$. Kriteria dari pengujian ini, yaitu :

- Jika nilai probabilitas $Sig > 0.05$ artinya tidak signifikan
- Jika nilai probabilitas $Sig < 0.05$ artinya signifikan, atau
- Jika $t_{hitung} > t_{tabel}$ maka H_0 ditolak dan H_1 diterima
- Jika $t_{hitung} < t_{tabel}$ maka H_0 diterima dan H_1 ditolak

dengan :

- H_0 = Secara parsial tidak ada pengaruh signifikan
- H_1 = Secara parsial ada pengaruh signifikan
- t_{tabel} = 1.75305 ($df = n - k = 15$)

Untuk daftar tabel distribusi t lengkap dengan $df = 1 - 40$ dapat dilihat pada **Lampiran 4.3**. Sehingga dapat dilihat hasil dari uji T (uji parsial) dari penelitian ini pada Tabel 4.20 sebagai berikut :

Tabel 4. 20 Hasil Uji T (Uji Parsial)

| No | Variabel | Unstandardized Coefficients | | Standardized Coefficients Beta | t | Sig. |
|----|------------------|-----------------------------|------------|-----------------------------------|--------|-------|
| | | B | Std. Error | | | |
| | Constant | 1.536 | .717 | | 2.142 | 0.050 |
| 1 | Danceability | .517 | .484 | .317 | 1.069 | .303 |
| 2 | Energy | -.722 | .706 | -.393 | -1.022 | .324 |
| 3 | Live ness | -.218 | .716 | -.065 | -.304 | .766 |
| 4 | Tempo | -1.128 | .474 | -.584 | -2.380 | .032 |
| 5 | Spechiness | .632 | .881 | .178 | .717 | .485 |
| 6 | Accousticness | -.064 | .396 | -.048 | -.162 | .874 |
| 7 | Instrumentalness | -.203 | .422 | -.103 | -.482 | .638 |
| 8 | Time | -1.891 | 1.026 | -.459 | -1.842 | .087 |
| 9 | Key | .103 | .350 | .059 | .294 | .773 |
| 10 | Duration | -.354 | .824 | -.099 | -.430 | .674 |
| 11 | Loudness | 2.230 | .937 | .827 | 2.379 | .032 |
| 12 | Valence | -1.272 | .622 | -.702 | -2.046 | .060 |

Dengan bentuk umum dari model regresi linier berganda sebagai berikut :

$$Y = \beta_0 + \beta_1 X_1 + \beta_2 X_2 + \cdots + \beta_n X_n + e$$

Didapatkan model regresi linier berganda dari hasil uji T (uji parsial) pada Tabel 4.20 di atas. Model regresi linier bergandanya adalah sebagai berikut :

$$\begin{aligned}
Y = & \ 1.536 + 0.517X_1 - 0.722X_2 - 0.218X_3 - 1.128X_4 + 0.632X_5 \\
& - 0.064X_6 - 0.203X_7 - 1.891X_8 + 0.103X_9 - 0.354X_{10} \\
& + 2.230X_{11} - 1.272X_{12} + e
\end{aligned}$$

Berdasarkan model regresi linier berganda yang dihasilkan dari uji T (uji parsial) di atas, akan ditunjukkan interpretasi dari model tersebut. Interpretasinya adalah :

1. Pada variabel *danceability*, dengan nilai $B = 0.517$, variabel *danceability* memberikan pengaruh positif terhadap jumlah *streaming*.
2. Pada variabel *energy*, dengan nilai $B = -0.722$, variabel *energy* memberikan pengaruh negatif terhadap jumlah *streaming*.
3. Pada variabel *liveness* dengan nilai $B = -0.218$, variabel *liveness* memberikan pengaruh negatif terhadap jumlah *streaming*.
4. Pada variabel *tempo*, dengan nilai $B = -1.128$, variabel *tempo* memberikan pengaruh negatif terhadap jumlah *streaming*.
5. Pada variabel *spechiness*, dengan nilai $B = 0.632$, variabel *spechiness* memberikan pengaruh positif terhadap jumlah *streaming*.
6. Pada variabel *accousticness*, dengan nilai $B = -0.064$, variabel *accousticness* memberikan pengaruh negatif terhadap jumlah *streaming*.
7. Pada variabel *instrumentallness*, dengan nilai $B = -0.203$, variabel *instrumentallness* memberikan pengaruh negatif terhadap jumlah *streaming*.
8. Pada variabel *time*, dengan nilai $B = -1.891$, variabel *time* memberikan pengaruh negatif terhadap jumlah *streaming*.
9. Pada variabel *key*, dengan nilai $B = 0.103$, variabel *key* memberikan pengaruh positif terhadap jumlah *streaming*.
10. Pada variabel *duration* dengan nilai $B = -0.354$, variabel *duration* memberikan pengaruh negatif terhadap jumlah *streaming*.
11. Pada variabel *loudness*, dengan nilai $B = 2.230$, variabel *loudness* memberikan pengaruh positif terhadap jumlah *streaming*.

12. Pada variabel *valence*, dengan nilai $B = -1.272$, variabel *valence* memberikan pengaruh negatif terhadap jumlah *streaming*.

Sehingga, berdasarkan interpretasi dari model regresi liner berganda di atas, variabel yang memberikan pengaruh positif terhadap banyaknya jumlah *streaming* adalah *danceability*, *spechiness*, *key*, dan *loudness*.

Kemudian, untuk mengetahui signifikansi pengaruh variabel independen terhadap variabel dependen dapat dilihat pada hasil uji T (uji parsial) yang ditunjukkan pada Tabel 4.20 di atas. Berikut ini adalah interpretasi dari hasil Uji T tersebut :

1. Pada variabel *danceability*, dengan $t_{tabel} = 1.753$, variabel *danceability* memiliki nilai $t_{hitung} < t_{tabel}$ yaitu $1.069 < 1.753$ dan nilai $sig > 0.05$ yaitu $0.30 > 0.05$. Hal ini menunjukkan bahwa untuk variabel *danceability* tidak memiliki pengaruh yang signifikan terhadap jumlah *streaming*.
2. Pada variabel *energy*, dengan $t_{tabel} = 1.753$, variabel *energy* memiliki nilai $t_{hitung} < t_{tabel}$ yaitu $-1.022 < 1.753$ dan nilai $sig > 0.05$ yaitu $0.32 > 0.05$. Hal ini menunjukkan bahwa untuk variabel *energy* tidak memiliki pengaruh yang signifikan terhadap jumlah *streaming*.
3. Pada variabel *liveness*, dengan $t_{tabel} = 1.753$, variabel *liveness* memiliki nilai $t_{hitung} < t_{tabel}$ yaitu $-0.304 < 1.753$ dan nilai $sig > 0.05$ yaitu $0.76 > 0.05$. Hal ini menunjukkan bahwa untuk variabel *liveness* tidak memiliki pengaruh yang signifikan terhadap jumlah *streaming*.
4. Pada variabel *tempo*, dengan $t_{tabel} = 1.753$, variabel *tempo* memiliki nilai $t_{hitung} < t_{tabel}$ yaitu $-2.380 < 1.753$ dan nilai $sig > 0.05$ yaitu $0.32 > 0.05$. Hal ini menunjukkan bahwa untuk variabel *tempo* tidak memiliki pengaruh yang signifikan terhadap jumlah *streaming*. Selain itu ada faktor lain yang menyebabkan variabel ini tidak berpengaruh signifikan karena variabel *tempo* di awal pengujian asumsi klasik dikatakan terjadi heteroskedastisitas.

5. Pada variabel *spechiness*, dengan $t_{tabel} = 1.753$, variabel *spechiness* memiliki nilai $t_{hitung} < t_{tabel}$ yaitu $0.717 < 1.753$ dan nilai $sig > 0.05$ yaitu $0.48 > 0.05$. Hal ini menunjukkan bahwa untuk variabel *spechiness* tidak memiliki pengaruh yang signifikan terhadap jumlah *streaming*.
6. Pada variabel *accousticness*, dengan $t_{tabel} = 1.753$, variabel *accousticness* memiliki nilai $t_{hitung} < t_{tabel}$ yaitu $-0.162 < 1.753$ dan nilai $sig > 0.05$ yaitu $0.87 > 0.05$. Hal ini menunjukkan bahwa untuk variabel *accousticness* tidak memiliki pengaruh yang signifikan terhadap jumlah *streaming*.
7. Pada variabel *instrumentalness*, dengan $t_{tabel} = 1.753$, variabel *instrumentalness* memiliki nilai $t_{hitung} < t_{tabel}$ yaitu $-0.482 < 1.753$ dan nilai $sig > 0.05$ yaitu $0.63 > 0.05$. Hal ini menunjukkan bahwa untuk variabel *instrumentalness* tidak memiliki pengaruh yang signifikan terhadap jumlah *streaming*.
8. Pada variabel *time*, dengan $t_{tabel} = 1.753$, variabel *time* memiliki nilai $t_{hitung} < t_{tabel}$ yaitu $-1.842 < 1.753$ dan nilai $sig > 0.05$ yaitu $0.08 > 0.05$. Hal ini menunjukkan bahwa untuk variabel *time* tidak memiliki pengaruh yang signifikan terhadap jumlah *streaming*.
9. Pada variabel *key*, dengan $t_{tabel} = 1.753$, variabel *key* memiliki nilai $t_{hitung} < t_{tabel}$ yaitu $0.294 < 1.753$ dan nilai $sig > 0.05$ yaitu $0.77 > 0.05$. Hal ini menunjukkan bahwa untuk variabel *key* tidak memiliki pengaruh yang signifikan terhadap jumlah *streaming*.
10. Pada variabel *duration*, dengan $t_{tabel} = 1.753$, variabel *duration* memiliki nilai $t_{hitung} < t_{tabel}$ yaitu $-0.430 < 1.753$ dan nilai $sig > 0.05$ yaitu $0.67 > 0.05$. Hal ini menunjukkan bahwa untuk variabel *duration* tidak memiliki pengaruh yang signifikan terhadap jumlah *streaming*.
11. Pada variabel *loudness*, dengan $t_{tabel} = 1.753$, variabel *loudness* memiliki nilai $t_{hitung} > t_{tabel}$ yaitu $2.379 < 1.753$ dan nilai $sig < 0.05$ yaitu $0.03 < 0.05$. Hal ini menunjukkan bahwa untuk variabel

loudness memiliki pengaruh yang signifikan terhadap jumlah *streaming*.

12. Pada variabel *valence*, dengan $t_{tabel} = 1.753$, variabel *valence* memiliki nilai $t_{hitung} < t_{tabel}$ yaitu $-2.046 < 1.753$ dan nilai $sig > 0.05$ yaitu $0.06 > 0.05$. Hal ini menunjukkan bahwa untuk variabel *valence* tidak memiliki pengaruh yang signifikan terhadap jumlah *streaming*.

4.7 Menghitung / Cek Nilai Akurasi Hasil Clustering

Setelah mengetahui fitur audio yang berpengaruh signifikan terhadap jumlah *streaming* menggunakan Regresi Linier Berganda, tahap terakhir dari penelitian ini adalah menghitung nilai akurasi hasil clustering. *Cluster* yang dianalisis akurasinya pada tahap ini adalah *cluster 2*, karena *cluster 2* merupakan *cluster* yang memiliki jumlah *streaming* paling banyak dari *cluster* lainnya dimana fitur audio yang berpengaruh signifikan berdasarkan uji T adalah fitur audio *loudness*.

Berikut ini adalah kelompok lagu dari *cluster 2* dengan nilai fitur *loudness*nya, yaitu :

Tabel 4. 21 Kelompok Lagu dengan nilai *loudness* dari *Cluster 2*

| Position | Track Name | Artist | Streams | Loudness |
|----------|--------------------------------------|------------------------|----------|----------|
| 10 | MIA (feat. Drake) | Bad Bunny | 1.963043 | -6.349 |
| 14 | Going Bad (feat. Drake) | Meek Mill | 1.753958 | -6.365 |
| 18 | Eastside (with Halsey & Khalid) | benny blanco | 1.463809 | -7.665 |
| 22 | when the party's over | Billie Eilish | 1.336413 | -14.08 |
| 25 | Look Back At It | A Boogie Wit da Hoodie | 1.277818 | -5.075 |
| 31 | Better | Khalid | 1.181346 | -10.278 |
| 37 | Lucid Dreams | Juice WRLD | 1.097411 | -7.23 |
| 40 | rockstar (feat. 21 Savage) | Post Malone | 1.026245 | -6.09 |
| 43 | lovely | Billie Eilish | 1.010517 | -10.109 |
| 48 | whoa (mind in awe) | XXXTENTACION | 0.930018 | -2.939 |
| 59 | Love Someone | Lukas Graham | 0.822223 | -6.581 |
| 67 | Jocelyn Flores | XXXTENTACION | 0.788173 | -9.144 |
| 74 | Fire On Fire - From "Watership Down" | Sam Smith | 0.754628 | -7.356 |

| | | | | |
|-----|---|------------------|----------|---------|
| 75 | Bubalu | Becky G | 0.753861 | -10.47 |
| 76 | Hope | The Chainsmokers | 0.751386 | -5.982 |
| 79 | Shape of You | Ed Sheeran | 0.744005 | -3.183 |
| 84 | NI BIEN NI MAL | Bad Bunny | 0.723243 | -8.33 |
| 103 | Falling Down - Bonus Track | Lil Peep | 0.637786 | -6.442 |
| 123 | Best Part (feat. Daniel Caesar) | H.E.R. | 0.588481 | -10.219 |
| 125 | Space Cadet (feat. Gunna) | Metro Boomin | 0.582041 | -9.789 |
| 131 | Fuck Love (feat. Trippie Redd) | XXXTENTACION | 0.564535 | -9.74 |
| 142 | Trampoline | SHAED | 0.544643 | -7.523 |
| 152 | bellyache | Billie Eilish | 0.525496 | -8.597 |
| 155 | Let Me Down Slowly | Alec Benjamin | 0.512901 | -5.714 |
| 157 | ocean eyes | Billie Eilish | 0.509864 | -7.725 |
| 162 | Praise The Lord (Da Shine) (feat. Skepta) | A\$AP Rocky | 0.494846 | -8.152 |
| 173 | Everybody Dies In Their Nightmares | XXXTENTACION | 0.471264 | -7.066 |

Untuk mengetahui nilai fitur audio yang lengkap dari *cluster 2* di atas, dapat dilihat pada **Lampiran 4.1** dan **Lampiran 4.2**. Kemudian, untuk menghitung nilai akurasi dari clustering yang dipilih, yaitu pada *cluster 2* digunakan tahap sebagai berikut :

1. Mencari data yang salah dari *Cluster 2* di atas dengan Persamaan 4.1 berikut :

$$Rata - rata = \frac{\text{Total nilai fitur loudness}}{\text{Total semua data}} \quad (4.1)$$

Sebelum mencari data yang salah pada *cluster 2*, harus mencari nilai rata-ratanya terlebih dahulu pada data dengan kelompok lagu dengan Mode = 0 saja, yang berfokus fitur audio *loudness*nya. Setelah mendapatkan nilai rata-rata dari fitur *loudness* tersebut dicari data yang salah pada *cluster 2* dengan melihat nilai rata-ratanya dan karakteristiknya.

Untuk mengetahui data yang benar dan salah dari *cluster* 2 tersebut, digunakan pernyataan sebagai berikut :

- Jika **nilai pada fitur audio *loudness* > nilai rata-rata**, maka data tersebut merupakan data yang salah (data yang seharusnya tidak masuk ke dalam *cluster* 2).
- Jika **nilai pada fitur audio *loudness* < nilai rata-rata**, maka data tersebut merupakan data yang benar.

2. Menghitung nilai akurasi dari *cluster* 2 dengan rumus :

$$\% \text{ Akurasi} = \frac{(Total \text{ semua data} - Data \text{ yang salah})}{Total \text{ semua data}}$$

Suatu hasil penelitian dikatakan akurat apabila nilai yang dihasilkan $\leq 100\%$. Semakin nilai akurasi tersebut mendekati 100% maka hasil penelitian yang dilakukan tersebut semakin akurat. Sehingga berdasarkan penjelasan di atas, akan dihitung / dicek nilai akurasinya dengan tahap sebagai berikut :

1. Mencari data yang salah pada *cluster* 2, yaitu :

$$Rata - rata = \frac{-509.806}{88} = -5.793$$

Karena nilai rata-rata dari fitur *loudness* dari kelompok lagu dengan Mode = 0 adalah -5.793, maka dapat dicari data yang salah berdasarkan Tabel 4.21 di atas. Hasil dari pencarian data yang salah pada *cluster* 2 dapat dilihat pada Tabel 4.22 di bawah ini.

Tabel 4. 22 Data yang Salah pada *Cluster* 2

| Position | Track Name | Loudness |
|----------|--------------------|----------|
| 25 | Look Back At It | -5.075 |
| 48 | whoa (mind in awe) | -2.939 |
| 79 | Shape of You | -3.183 |
| 155 | Let Me Down Slowly | -5.714 |

Berdasarkan Tabel 4.22, dapat dilihat bahwa terdapat beberapa nilai fitur *loudness* > -5.793. Oleh karena itu, berdasarkan hasil tersebut, jumlah data yang salah yang ada pada *cluster* 2 adalah sejumlah 4 lagu.

2. Menghitung nilai akurasi pada *cluster* 2, yaitu :

$$\% \text{ Akurasi} = \frac{27 - 4}{27} \times 100 = 85.18\% \approx 85\%$$

Sehingga, berdasarkan perhitungan akurasi di atas, nilai akurasi yang diperoleh dari hasil clustering, dengan *cluster* yang dipilih, yaitu *cluster* 2 adalah sebesar 85%. Alasannya adalah karena fitur *loudness* dari kelompok lagu adalah memiliki kriteria sebagai berikut :

1. Semakin keras lagu (semakin nilai desibelnya mendekati 0), maka cenderung menggambarkan lagu yang semakin energik, yaitu pada lagu :
 - whoa (mind in awe) - XXXTENTACION
 - Shape of You – Ed Sheeran
2. Semakin lembut lagu (semakin nilai desibelnya menjauhi 0), maka lagu tipe ini cenderung menggunakan instrumen yang lembut dan menggambarkan emosi yang lebih tenang, yaitu pada lagu :
 - when the party's over – Billie Eilish
 - Better - Khalid
 - Lovely - Billie Eilish
 - Best Part (feat. Daniel Caesar) – H.E.R

BAB 5

KESIMPULAN DAN SARAN

Pada bab ini berisi tentang beberapa kesimpulan yang dihasilkan berdasarkan penelitian yang telah dilaksanakan dan saran yang dapat digunakan jika penelitian ini akan dikembangkan.

5.1 Kesimpulan

Berdasarkan penelitian yang kami lakukan ini dapat ditarik suatu kesimpulan, yaitu :

1. Dengan parameter-parameter yang disebutkan sebelumnya, didapatkan nilai *Davies-Bouldin Index* (DBI) terkecil sebesar 1.4971 pada *epoch* = 200.
2. Dengan mengelompokkan (*clustering*) Top Chart 200 Global dengan Algoritma Kohonen Self Organizing Maps ke dalam 4 *cluster*, didapatkan hasil yaitu jumlah lagu yang dimiliki oleh *cluster 1* = 61 lagu, *cluster 2* = 27 lagu, *cluster 3* = 59 lagu, dan *cluster 4* = 53 lagu.
3. Berdasarkan nilai rata-rata yang telah didapatkan pada tiap *cluster*, yaitu *cluster 1* = 0.811, *cluster 2* = 0.881, *cluster 3* = 0.869, dan *cluster 4* = 770, *cluster* yang memiliki jumlah *streaming* yang banyak adalah *cluster 2* dengan jumlah lagu sebanyak 27 lagu dengan kategori *mode* dari *cluster 2* adalah 0 (Minor) dimana Minor adalah ciri-ciri lagu yang memiliki suasana yang kurang bersemangat / suasana sedih.
4. Berdasarkan analisis menggunakan regresi linier berganda untuk mengetahui fitur audio manakah yang berpengaruh signifikan terhadap jumlah *streaming*, hasil dari analisis ini yaitu fitur audio *loudness* memiliki pengaruh signifikan terhadap jumlah *streaming*, karena memiliki nilai $t_{hitung} > t_{tabel}$ yaitu $2.379 > 1.753$ dan nilai $sig < 0.05$ yaitu $0.03 < 0.05$.
5. Berdasarkan analisis dari penelitian ini, terdapat saran bagi produser musik / pebisnis agar dapat meningkatkan kualitas musik yang lebih baik dan lebih bermanfaat bagi pengguna lainnya agar meningkatkan / memperbaiki fitur audio *loudness* pada lagu yang akan dibuat dengan syarat *mode* lagu yang perlu ditingkatkan kualitasnya adalah *mode* = 0 (Minor). Mode minor ini

merupakan ciri-ciri lagu yang memiliki nuansa kurang bersemangat / nuansa sedih.

6. Nilai akurasi yang dihasilkan berdasarkan penelitian ini adalah sebesar 85%.

5.2 Saran

Terdapat beberapa hal yang penulis sarankan untuk pengembangan penelitian selanjutnya, yaitu :

1. Perlu dilakukan studi lebih lanjut dalam *clustering* data selain menggunakan Algoritma Kohonen Self Organizing Maps (SOM) dimana topik ini dapat dilakukan penelitian dengan menggunakan Machine Learning.
2. Perlu dilakukan studi lebih lanjut dalam proses validasi *clustering* dengan metode selain Davies-Bouldin Index (DBI), seperti Dunn Index, Huberts Statistics, RMSSTD (Root Mean Square Standard Deviation), dan RS (R Squared).

DAFTAR PUSTAKA

- [1] F. Ritcher. "The Rise of Music Streaming Continues". Retrieved from Statista: <https://www.statista.com/chart/7604/music-consumption-in-the-united-states/>. 2017.
- [2] Statista. "Digital Music Worldwide". Retrieved from Statista: <https://www.statista.com/outlook/202/100/digital-music/worldwide>.
- [3] Mohamed Nasredin, Stephen Ma, Eric Dailey& Phuc Dang. "Song Popularity Predictor". Retrieved from Towards Data Science : <https://towardsdatascience.com/song-popularity-predictor-1ef69735e380>
- [4] Titlow, John Paul. 2013. "6 Million People Pay For Spotify - Is That Good Enough?" *ReadWrite*. N.p., 13 Mar. 2013. Web. 29 Mar. 2013.
- [5] Shekar Candra, Shoba G. 2009. "Classification Of Documents Using Kohonen's Self Organizing Maps". *International Journal of Computer Theory and Engineering*, Vol:1, No.5, Desember 2009.
- [6] Grocke, D. E., & Wigram, T. (2007). "Receptive Methods in Music Therapy Techniques and Clinical Applications For Music Therapy Clinicians, Educators, and Students". London; Philadelphia: Jessica Kingsley Publishers. Retrieved from: <http://site.ebrary.com/id/10182455>
- [7] Djohan. (2006). "Terapi Musik: Teori dan aplikasi". Yogyakarta: Galangpress.
- [8] Rosanty, R. (2014). "Pengaruh Musik Mozart dalam Mengurangi Stres pada Mahasiswa yang Sedang Skripsi". *Journal of Educational, Health and Community Psychology*, 3(2), 71–78.
- [9] Weinberg, M. K., & Joseph, D. (2017). "If you're happy and you know it: Music engagement and subjective wellbeing". *Psychology of Music*, 45(2), 257–267.
- [10] Eren, B. (2015). "The Use Of Music Interventions To Improve Social Skills In Adolescents With Autism Spectrum Disorders In Integrated Group Music Therapy Sessions". *Procedia - Social and Behavioral Sciences*, 197, 207–213. doi: 10.1016/j.sbspro.2015.07.125
- [11] Torres ML, M., Ramos V, J., Suarez PC, M., Garcia S, A., & Mendoza M, T.

- (2016). "Benefits of Using Music Therapy in Mental Disorders". *Journal of Biomusical Engineering*, 04(2). doi: 10.4172/2090-2719.1000116
- [12] Ek, Daniel. "Key Ingredients for Successful Entrepreneurs." Interview by John Muller. *ABC News*. ABC News Network, 10 Dec. 2012. Web. 24 Feb. 2013. <<http://abcnews.go.com/blogs/technology/2012/12/spotify-founder-daniel-ek-wanted-to-create-something-better-than-piracy/>>.
- [13] Spotify. "Apa Itu Spotify ?". Retrieved from Spotify: https://support.spotify.com/id/using_spotify/the_basics/what-is-spotify/
- [14] Boczanowski, Zosia. "Spotify: Not Out Of The Woods Yet." *Music Business Journal*. Berklee College of Music, Oct. 2011. Web. 13 Jan. 2013.
- [15] Spotify. "Get Audio Features for a Track." Retrieved from Spotify for Developers:<https://developer.spotify.com/documentation/webapi/reference/tracks/get-audio-features/>. 2018.
- [16] Jamdar, A., Abraham, J., Khanna, K. & Dubey, R., 2015. "Emotion Analysis of Songs Based on Lyrical and Audio Features". *International Journal of Artificial Intelligence & Applications (IJAIA)*, May, 6(03), pp. 35-50.
- [17] Sen, A., 2014. "Automatic Music Clustering using Audio Attributes". *International Journal of Computer Science Engineering (IJCSE)*, November, 3(06), pp. 307- 312.
- [18] Watson , D. & Mandryk, R. L., 2012. "Modeling Musical Mood From Audio Features And Listening Context On An In-Situ Data Set". *International Society for Music Information Retrieval*, pp. 31-36.
- [19] Kantardzic, M., 2011. "Data Mining Concepts Models, Methods, and Algorithms". 2nd ed. New Jersey: Institute of Electrical and Electronics Engineers.
- [20] Ernawati, M. U. J., 2014. "Penerapan Algoritma Fuzzy C-Means dalam Pengelompokan Data Tingkat Banjir Limpasan". *Skripsi Fakultas Ilmu Komputer Universitas Brawijaya*.
- [21] Guthikonda, S. M. 2005. "Kohonen Self Organizing Maps". Wittenberg University, Ohio , USA.
- [22] Kohonen, T. 1989. "The Self-Organizing Maps". *Neurocomputing*, 21(1–3), 1–6. [https://doi.org/10.1016/S0925-2312\(98\)00030-7](https://doi.org/10.1016/S0925-2312(98)00030-7)

- [23] Hilmi, Muh. Najib, et al. 2015. "Pemetaan Preferensi Mahasiswa Baru dalam Memilih Jurusan Menggunakan Artificial Neural Network (ANN) dengan Algoritma Self Organizing Maps (SOM)". *JURNAL GAUSSIAN, Volume 4, Nomor 1*, Tahun 2015, Halaman 53 – 60.
- [24] Lekhenila, Delphinus Oditya. 2017. "Pemetaan Area Bisnis Usaha Menggunakan Metode Kohonen Self Organizing Maps". Magister Jurusan Teknik Elektro : Institut Teknologi Sepuluh Nopember Surabaya.
- [25] Prasetyo, Eko. 2014. "Data Mining Mengolah Data Menjadi Informasi menggunakan MATLAB". Yogyakarta: Penerbit ANDI.
- [26] Supranto, J. 2004. "Analisis Multivariat Arti dan Interpretasi". Jakarta : Rineka Cipta.
- [27] Amrin. 2016. "Data Mining dengan Regresi Linier Berganda Untuk Peramalan Tingkat Inflasi". Jurnal Techno Nusa Mandiri Vol. XIII, No. 1 Maret 2016 Hal. 74.
- [28] Gujarati, N.D. 2003. "Basic Econometrics". 4th Edition. New York: McGraw-Hill Companies, Inc.
- [29] Widarjono, A. 2007. "Ekonometrika: Teori dan Aplikasi untuk Ekonomi dan Bisnis. Edisi Kedua". Yogyakarta: Ekonisia Fakultas Ekonomi Universitas Islam Indonesia.
- [30] Chamidah, Nurul, et al. 2012. "Pengaruh Normalisasi Data pada Jaringan Syaraf Tiruan Backpropagasi GradientDescent Adaptive Gain (BPGDAG) untuk Klasifikasi". Jurnal ITSMART Vol 1. No 1. Juni 2012.
- [31] Haerul, Harun. 2015. "Pengelompokan Data DIPA Berdasarkan Penyerapan Anggaran Menggunakan *Metode Self Organizing Maps (SOM)*". Jurusan Teknik Elektro : Institut Teknologi Sepuluh Nopember Surabaya.

LAMPIRAN 1
Data Lagu Top 200 Chart Global

| Position | Track Name | Artist | Streams |
|----------|---|------------------------|----------|
| 1 | Sunflower - Spider-Man: Into the Spider-Verse | Post Malone | 34579416 |
| 2 | Wow. | Post Malone | 29944242 |
| 3 | thank u, next | Ariana Grande | 27807232 |
| 4 | Without Me | Halsey | 27138512 |
| 5 | Calma - Remix | Pedro CapÃ³ | 22816097 |
| 6 | Sweet but Psycho | Ava Max | 22400542 |
| 7 | Taki Taki (with Selena Gomez, Ozuna & Cardi B) | DJ Snake | 22138077 |
| 8 | Dancing With A Stranger (with Normani) | Sam Smith | 20180815 |
| 9 | High Hopes | Panic! At The Disco | 19643546 |
| 10 | MIA (feat. Drake) | Bad Bunny | 19630428 |
| 11 | Happier | Marshmello | 18694994 |
| 12 | Lost in the Fire (feat. The Weeknd) | Gesaffelstein | 18491016 |
| 13 | SICKO MODE | Travis Scott | 18280537 |
| 14 | Going Bad (feat. Drake) | Meek Mill | 17539582 |
| 15 | Adan y Eva | Paulo Londra | 17324753 |
| 16 | Shallow | Lady Gaga | 16785576 |
| 17 | ZEZE (feat. Travis Scott & Offset) | Kodak Black | 16274040 |
| 18 | Eastside (with Halsey & Khalid) | benny blanco | 14638093 |
| 19 | Drip Too Hard (Lil Baby & Gunna) | Lil Baby | 14483041 |
| 20 | Saturday Nights | Khalid | 14180874 |
| 21 | Mo Bamba | Sheck Wes | 13848377 |
| 22 | when the party's over | Billie Eilish | 13364134 |
| 23 | Better Now | Post Malone | 12967163 |
| 24 | Arms Around You (feat. Maluma & Swae Lee) | XXXTENTACION | 12821076 |
| 25 | Look Back At It | A Boogie Wit da Hoodie | 12778179 |
| 26 | Close To Me (with Diplo) (feat. Swae Lee) | Ellie Goulding | 12757025 |
| 27 | Girls Like You (feat. Cardi B) | Maroon 5 | 12357979 |
| 28 | Nothing Breaks Like a Heart (feat. Miley Cyrus) | Mark Ronson | 12349134 |
| 29 | Be Alright | Dean Lewis | 12135479 |
| 30 | SAD! | XXXTENTACION | 12020719 |
| 31 | Better | Khalid | 11813463 |
| 32 | Giant (with Rag'n'Bone Man) | Calvin Harris | 11489269 |
| 33 | Bohemian Rhapsody - Remastered 2011 | Queen | 11389151 |
| 34 | In My Mind | Dynoro | 11134092 |
| 35 | Ella Quiere Beber - Remix | Anuel Aa | 11131112 |
| 36 | Leave Me Alone | Flipp Dinero | 11045665 |

| | | | |
|----|--------------------------------------|------------------------|----------|
| 37 | Lucid Dreams | Juice WRLD | 10974110 |
| 38 | Addictiva | Daddy Yankee | 10464029 |
| 39 | Moonlight | XXXTENTACION | 10313053 |
| 40 | rockstar (feat. 21 Savage) | Post Malone | 10262453 |
| 41 | Promises (with Sam Smith) | Calvin Harris | 10250381 |
| 42 | Wake Up in the Sky | Gucci Mane | 10250367 |
| 43 | lovely | Billie Eilish | 10105168 |
| 44 | imagine | Ariana Grande | 10103504 |
| 45 | Desconocidos | Mau y Ricky | 10008439 |
| 46 | Youngblood | 5 Seconds of Summer | 9802761 |
| 47 | Taste (feat. Offset) | Tyga | 9758103 |
| 48 | whoa (mind in awe) | XXXTENTACION | 9300180 |
| 49 | I Like It | Cardi B | 9170120 |
| 50 | Amanece | Anuel Aa | 9118091 |
| 51 | Solo de Mi | Bad Bunny | 9091313 |
| 52 | Ruin My Life | Zara Larsson | 8967200 |
| 53 | a lot | 21 Savage | 8914262 |
| 54 | Bad Liar | Imagine Dragons | 8807099 |
| 55 | Vaina Loca | Ozuna | 8365033 |
| 56 | Money | Cardi B | 8334798 |
| 57 | Startender (feat. Offset and Tyga) | A Boogie Wit da Hoodie | 8247911 |
| 58 | Kiss and Make Up | Dua Lipa | 8240958 |
| 59 | Love Someone | Lukas Graham | 8222232 |
| 60 | Impossible | Luis Fonsi | 8138425 |
| 61 | Natural | Imagine Dragons | 8105259 |
| 62 | God's Plan | Drake | 8030900 |
| 63 | monster | 21 Savage | 8027341 |
| 64 | Beautiful (feat. Camila Cabello) | Bazzi | 7972480 |
| 65 | Body (feat. brando) | Loud Luxury | 7953190 |
| 66 | Butterfly Doors | Lil Pump | 7891274 |
| 67 | Jocelyn Flores | XXXTENTACION | 7881734 |
| 68 | idontwannabeyouanymore | Billie Eilish | 7765255 |
| 69 | Nonstop | Drake | 7702077 |
| 70 | Let You Love Me | Rita Ora | 7658132 |
| 71 | no tears left to cry | Ariana Grande | 7656592 |
| 72 | In My Feelings | Drake | 7646051 |
| 73 | Cuando Te BesÃ© | Becky G | 7579621 |
| 74 | Fire On Fire - From "Watership Down" | Sam Smith | 7546282 |
| 75 | Bubalu | Becky G | 7538613 |
| 76 | Hope | The Chainsmokers | 7513857 |
| 77 | KIKA (feat. Tory Lanez) | 6ix9ine | 7470756 |

| | | | |
|-----|--|------------------|---------|
| 78 | Rewrite The Stars (with James Arthur & Anne-Marie) | James Arthur | 7443990 |
| 79 | Shape of You | Ed Sheeran | 7440049 |
| 80 | Baila Baila Baila | Ozuna | 7382321 |
| 81 | Psycho (feat. Ty Dolla \$ign) | Post Malone | 7348086 |
| 82 | 2002 | Anne-Marie | 7331201 |
| 83 | Reggaeton | J Balvin | 7281169 |
| 84 | NI BIEN NI MAL | Bad Bunny | 7232434 |
| 85 | One Kiss (with Dua Lipa) | Calvin Harris | 7194264 |
| 86 | DODI | Shindy | 7149748 |
| 87 | Say My Name | David Guetta | 7040867 |
| 88 | Believer | Imagine Dragons | 7036580 |
| 89 | MALA (feat. Anuel Aa) | 6ix9ine | 6902529 |
| 90 | Solo (feat. Demi Lovato) | Clean Bandit | 6887146 |
| 91 | YOSEMITE | Travis Scott | 6874391 |
| 92 | BAD! | XXXTENTACION | 6827624 |
| 93 | Another One Bites The Dust - Remastered 2011 | Queen | 6816574 |
| 94 | IDGAF | Dua Lipa | 6787896 |
| 95 | BEBE (feat. Anuel Aa) | 6ix9ine | 6764451 |
| 96 | No Stylist | French Montana | 6701673 |
| 97 | Armed And Dangerous | Juice WRLD | 6686664 |
| 98 | Perfect | Ed Sheeran | 6634648 |
| 99 | Don't Stop Me Now - Remastered | Queen | 6579756 |
| 100 | I Like Me Better | Lauv | 6496404 |
| 101 | Te BotÃ© - Remix | Nio Garcia | 6479114 |
| 102 | Havana | Camila Cabello | 6449413 |
| 103 | Falling Down - Bonus Track | Lil Peep | 6377858 |
| 104 | Roses (with Juice WRLD feat. Brendon Urie) | benny blanco | 6367254 |
| 105 | Shotgun | George Ezra | 6262760 |
| 106 | Jenifer | Gabriel Diniz | 6196720 |
| 107 | Thunder | Imagine Dragons | 6193070 |
| 108 | Happy Now (feat. Sandro Cavazza) | Kygo | 6186566 |
| 109 | FEFE (feat. Nicki Minaj, Murda Beatz) | 6ix9ine | 6182719 |
| 110 | I Fall Apart | Post Malone | 6182176 |
| 111 | I Love It (& Lil Pump) | Kanye West | 6178568 |
| 112 | Too Good At Goodbyes | Sam Smith | 6175067 |
| 113 | changes | XXXTENTACION | 6172956 |
| 114 | This Feeling | The Chainsmokers | 6154904 |
| 115 | breathin | Ariana Grande | 6153020 |
| 116 | The Middle | Zedd | 6152217 |
| 117 | Ya No Tiene Novio | Sebastian Yatra | 6147043 |
| 118 | Rise | Jonas Blue | 6138241 |
| 119 | Splashin | Rich The Kid | 6089051 |

| | | | |
|-----|--|------------------------|---------|
| 120 | Crushed Up | Future | 5998233 |
| 121 | Culpables | Karol G | 5995929 |
| 122 | Say You Won't Let Go | James Arthur | 5923703 |
| 123 | Best Part (feat. Daniel Caesar) | H.E.R. | 5884814 |
| 124 | New Rules | Dua Lipa | 5826803 |
| 125 | Space Cadet (feat. Gunna) | Metro Boomin | 5820406 |
| 126 | Nights Like This (feat. Ty Dolla \$ign) | Kehlani | 5817640 |
| 127 | Electricity (with Dua Lipa) | Silk City | 5780559 |
| 128 | FRIENDS | Marshmello | 5779792 |
| 129 | SOLO | JENNIE | 5728877 |
| 130 | Back To You - From 13 Reasons Why â€“ Season 2 Soundtrack | Selena Gomez | 5684187 |
| 131 | Fuck Love (feat. Trippie Redd) | XXXTENTACION | 5645351 |
| 132 | Under Pressure - Remastered | Queen | 5634146 |
| 133 | Undecided | Chris Brown | 5562952 |
| 134 | CrÃ©eme | Karol G | 5543692 |
| 135 | Look Alive (feat. Drake) | BlocBoy JB | 5532858 |
| 136 | I'm a Mess | Bebe Rexha | 5520089 |
| 137 | God is a woman | Ariana Grande | 5514231 |
| 138 | Meant to Be (feat. Florida Georgia Line) | Bebe Rexha | 5506577 |
| 139 | Te Vi | Piso 21 | 5487998 |
| 140 | XO TOUR Llif3 | Lil Uzi Vert | 5465803 |
| 141 | Amigos Con Derechos | Reik | 5455344 |
| 142 | Trampoline | SHAED | 5446427 |
| 143 | Familia (with Anuel Aa, feat. Bantu) - Spider-Man: Into the Spider-Verse | Nicki Minaj | 5406674 |
| 144 | Congratulations | Post Malone | 5354529 |
| 145 | Always Remember Us This Way | Lady Gaga | 5342998 |
| 146 | Woman Like Me (feat. Nicki Minaj) | Little Mix | 5339513 |
| 147 | Swervin (feat. 6ix9ine) | A Boogie Wit da Hoodie | 5336006 |
| 148 | Nuketown (feat. Juice WRLD) | Ski Mask The Slump God | 5324470 |
| 149 | Noticed | Lil Mosey | 5308399 |
| 150 | Love Lies (with Normani) | Khalid | 5300878 |
| 151 | Somebody To Love - Remastered 2011 | Queen | 5298480 |
| 152 | bellyache | Billie Eilish | 5254961 |
| 153 | Thunderclouds (with Sia, Diplo & Labrinth) | Sia | 5221994 |
| 154 | WHEN I WAS OLDER - Music Inspired By The Film ROMA | Billie Eilish | 5155090 |
| 155 | Let Me Down Slowly | Alec Benjamin | 5129012 |
| 156 | Fine China | Future | 5125821 |
| 157 | ocean eyes | Billie Eilish | 5098644 |

| | | | |
|-----|--|------------------|---------|
| 158 | Asesina - Remix | Brytiago | 5098464 |
| 159 | Closer | The Chainsmokers | 5074196 |
| 160 | Jackie Chan | TiÃ«sto | 5038907 |
| 161 | In My Blood | Shawn Mendes | 5014064 |
| 162 | Praise The Lord (Da Shine) (feat. Skepta) | A\$AP Rocky | 4948455 |
| 163 | Thinking out Loud | Ed Sheeran | 4936097 |
| 164 | Atrasadinha - Ao Vivo | Felipe AraÃ°ojo | 4919421 |
| 165 | PPP | Kevin Roldan | 4915487 |
| 166 | These Days (feat. Jess Glynne, Macklemore & Dan Caplen) | Rudimental | 4914745 |
| 167 | Lucky You (feat. Joyner Lucas) | Eminem | 4910436 |
| 168 | Someone You Loved | Lewis Capaldi | 4887346 |
| 169 | Nice For What | Drake | 4832010 |
| 170 | Calling My Spirit | Kodak Black | 4803685 |
| 171 | Yes Indeed | Lil Baby | 4761754 |
| 172 | Photograph | Ed Sheeran | 4727915 |
| 173 | Everybody Dies In Their Nightmares | XXXTENTACION | 4712639 |
| 174 | goosebumps | Travis Scott | 4663320 |
| 175 | Ric Flair Drip (& Metro Boomin) | Offset | 4636999 |
| 176 | hope is a dangerous thing for a woman like me to have - but I have it | Lana Del Rey | 4629973 |
| 177 | HUMBLE. | Kendrick Lamar | 4619934 |
| 178 | Africa | Toto | 4605749 |
| 179 | Sin Pijama | Becky G | 4599014 |
| 180 | Project Dreams | Marshmello | 4598019 |
| 181 | Mala MÃ±a | Maluma | 4594394 |
| 182 | Mine | Bazzi | 4580473 |
| 183 | Ibiza | Ozuna | 4559773 |
| 184 | Wonderwall - Remastered | Oasis | 4553091 |
| 185 | Let Me Go (with Alesso, Florida Georgia Line & watt) | Hailee Steinfeld | 4543464 |
| 186 | Agora Ã© Tudo Meu | Dennis DJ | 4532933 |
| 187 | Happier | Ed Sheeran | 4516997 |
| 188 | Wolves | Selena Gomez | 4509605 |
| 189 | I'm Yours | Jason Mraz | 4508828 |
| 190 | Sola | Manuel Turizo | 4503413 |
| 191 | All The Stars (with SZA) | Kendrick Lamar | 4491177 |
| 192 | Young Dumb & Broke | Khalid | 4470319 |
| 193 | Benzema | Capital Bra | 4458789 |
| 194 | What Lovers Do | Maroon 5 | 4440425 |
| 195 | Never Recover (Lil Baby & Gunna, Drake) | Lil Baby | 4432977 |
| 196 | We Will Rock You - Remastered | Queen | 4405033 |
| 197 | No Es Justo | J Balvin | 4387910 |

| | | | |
|-----|--------------------------|------------------|---------|
| 198 | Puntos Suspensivos | Piso 21 | 4366454 |
| 199 | Rewrite The Stars | Zac Efron | 4315717 |
| 200 | Something Just Like This | The Chainsmokers | 4315233 |

LAMPIRAN 2.1

Data Fitur Audio Danceability – Accousticness

| No | Danceability | Energy | Live ness | Tempo | Spechiness | Accousticness |
|----|--------------|-------------|-------------|-------------|-------------|---------------|
| 1 | 0.66721044 | 0.629194631 | 0.027142682 | 0.211690156 | 0.043189369 | 0.567801961 |
| 2 | 0.7862969 | 0.729865772 | 0.064677833 | 0.28915114 | 0.285714286 | 0.166256266 |
| 3 | 0.608482871 | 0.911073826 | 0.065900477 | 0.343279665 | 0.0786268 | 0.285800404 |
| 4 | 0.654159869 | 0.644295302 | 0.055630273 | 0.56773591 | 0.087301587 | 0.303170065 |
| 5 | 0.774877651 | 1.122483221 | 0.116028854 | 0.497175098 | 0.053894426 | 0.329735429 |
| 6 | 0.600326264 | 1.006711409 | 0.144149652 | 0.544279959 | 0.045035068 | 0.070314432 |
| 7 | 0.799347471 | 1.16442953 | 0.016750214 | 0.258285608 | 0.379844961 | 0.156038818 |
| 8 | 0.636215334 | 0.697986577 | 0.212617679 | 0.312699711 | 0.07825766 | 0.459497015 |
| 9 | 0.371941272 | 1.342281879 | 0.019440029 | 0.150738643 | 0.071244001 | 0.196908609 |
| 10 | 0.760195759 | 0.729865772 | 0.062232547 | 0.266883809 | 0.071797711 | 0.014118469 |
| 11 | 0.54812398 | 1.154362416 | 0.145372295 | 0.289675985 | 0.040605389 | 0.194865119 |
| 12 | 0.508972268 | 0.958053691 | 0.084240127 | 0.297309396 | 0.023440384 | 0.087888442 |
| 13 | 0.787928222 | 1.05033557 | 0.092798631 | 0.714129143 | 0.366925065 | 0.004953419 |
| 14 | 0.877650897 | 0.657718121 | 0.24929698 | 0.181526991 | 0.124215578 | 0.264343764 |
| 15 | 0.67862969 | 1.015100671 | 0.023841545 | 0.84522468 | 0.57733481 | 0.329735429 |
| 16 | 0.360522023 | 0.47147651 | 0.22362147 | 0.25713558 | 0.014027316 | 0.378779178 |
| 17 | 0.831973899 | 0.837248322 | 0.054163101 | 0.274455473 | 0.282022887 | 0.052944771 |
| 18 | 0.458401305 | 0.976510067 | 0.185719526 | 0.211983452 | 0.405684755 | 0.560649748 |
| 19 | 0.889070147 | 0.951342282 | 0.616089987 | 0.386054553 | 0.490586932 | 0.10495158 |
| 20 | 0.326264274 | 0.563758389 | 0.075681624 | 0.813811148 | 0.138981174 | 0.6188892 |
| 21 | 0.616639478 | 0.874161074 | 0.244406407 | 0.644865007 | 0.015319306 | 0.197930354 |
| 22 | 0.239804241 | 0 | 0.050617435 | 0.474807428 | 0.071797711 | 1 |
| 23 | 0.536704731 | 0.770134228 | 0.107470351 | 0.637100384 | 0.040974529 | 0.361409517 |
| 24 | 0.574225122 | 1.038590604 | 0.095243917 | 0.327912505 | 0.033222591 | 0.03056856 |
| 25 | 0.717781403 | 0.810402685 | 0.122142071 | 0.259126904 | 0.033407161 | 0.41556199 |
| 26 | 0.363784666 | 1.097315436 | 0.42413498 | 0.630022692 | 0.071797711 | 0.098718936 |
| 27 | 0.815660685 | 0.733221477 | 0.100134491 | 0.482201571 | 0.050387597 | 0.580062899 |
| 28 | 0.407830343 | 1.157718121 | 0.415576476 | 0.398125994 | 0.081026209 | 0.009796489 |
| 29 | 0.329526917 | 0.808724832 | 0.040591759 | 0.49551566 | 0.023994094 | 0.711867974 |
| 30 | 0.634584013 | 0.854026846 | 0.091575987 | 0.09677992 | 0.224806202 | 0.263322019 |
| 31 | 0.399673736 | 0.751677852 | 0.068345764 | 0.273729952 | 0.136212625 | 0.077875343 |
| 32 | 0.743882545 | 1.313758389 | 0.040347231 | 0.45947886 | 0.023809524 | 0.016059784 |
| 33 | 0.075040783 | 0.489932886 | 0.268859274 | 0.620776154 | 0.049464747 | 0.25923504 |
| 34 | 0.55954323 | 1.117449664 | 0.085462771 | 0.489503095 | 0.232189 | 0.179538948 |
| 35 | 0.652528548 | 0.941275168 | 0.004156987 | 0.252813325 | 0.186046512 | 0.270474233 |
| 36 | 0.719412724 | 1.072147651 | 0.164934589 | 0.675661073 | 0.1142488 | 0.109038559 |
| 37 | 0.261011419 | 0.775167785 | 0.356889595 | 0.165318535 | 0.326319675 | 0.356300793 |

| | | | | | | |
|----|-------------|-------------|-------------|-------------|-------------|-------------|
| 38 | 0.712887439 | 1.119127517 | 0.151485512 | 0.282135194 | 0.061092654 | 0.297039597 |
| 39 | 0.929853181 | 0.726510067 | 0.065900477 | 0.505742424 | 0.105574013 | 0.567801961 |
| 40 | 0.384991843 | 0.723154362 | 0.101357134 | 0.751478057 | 0.122923588 | 0.119256006 |
| 41 | 0.701468189 | 1.11409396 | 0.338549945 | 0.467621679 | 0.029900332 | 0.011870631 |
| 42 | 0.732463295 | 0.795302013 | 0.389900966 | 0.62152483 | 0.046696198 | 0.003604716 |
| 43 | 0 | 0.322147651 | 0.057341973 | 0.407526898 | 0.018641565 | 0.954021485 |
| 44 | 0.592169657 | 0.620805369 | 0.07079105 | 0 | 0.029162052 | 0.381844413 |
| 45 | 0.584013051 | 1.119127517 | 0.24562905 | 0.860761643 | 0.263565891 | 0.148886605 |
| 46 | 0.399673736 | 1.258389262 | 0.092798631 | 0.446041278 | 0.811738649 | 0.016979355 |
| 47 | 0.86949429 | 0.763422819 | 0.064677833 | 0.274077276 | 0.178663714 | 0.023825045 |
| 48 | 0.626427406 | 0.706375839 | 0.064677833 | 0.753793551 | 0.03857512 | 0.666911204 |
| 49 | 0.758564437 | 1.043624161 | 0.396014183 | 0.567789938 | 0.195275009 | 0.1008646 |
| 50 | 0.716150082 | 0.884228188 | 0.134368505 | 0.24355135 | 0.035622001 | 0.446214333 |
| 51 | 0.639477977 | 1.05033557 | 0.036312508 | 0.906809095 | 0.187892211 | 0.292952618 |
| 52 | 0.51223491 | 0.998322148 | 0.059664996 | 0.481715318 | 0.063861203 | 0.431909907 |
| 53 | 0.792822186 | 0.89261745 | 0.359334882 | 0.644386471 | 0.11590993 | 0.040070786 |
| 54 | 0.052202284 | 0.894295302 | 0.391123609 | 0.89091709 | 0.086932447 | 0.073481841 |
| 55 | 0.657422512 | 1.176174497 | 0.189387456 | 0.243119124 | 0.095976375 | 0.321561471 |
| 56 | 0.977161501 | 0.815436242 | 0.075681624 | 0.52113274 | 0.492432632 | 0.005167985 |
| 57 | 0.628058728 | 0.869127517 | 0.125810001 | 0.999421127 | 0.202657807 | 0.02372287 |
| 58 | 0.528548124 | 1.048657718 | 0.172270449 | 0.289452154 | 0.226651901 | 0.056623052 |
| 59 | 0.305057096 | 0.511744966 | 0.075681624 | 0.844028342 | 0.050387597 | 0.175451969 |
| 60 | 0.709624796 | 1.10738255 | 0.065900477 | 0.219933314 | 0.104466593 | 0.12436473 |
| 61 | 0.575856444 | 0.850671141 | 0.040469495 | 0.289560211 | 0.032668882 | 0.221430484 |
| 62 | 0.657422512 | 0.57885906 | 0.616089987 | 0.113343419 | 0.158361019 | 0.033633794 |
| 63 | 0.879282219 | 0.843959732 | 0.085462771 | 0.552152637 | 0.186046512 | 0.161147542 |
| 64 | 0.468189233 | 1.02852349 | 0.069568407 | 0.289768605 | 0.019379845 | 0.353235559 |
| 65 | 0.654159869 | 1.10738255 | 0.007580389 | 0.459038916 | 0.027316353 | 0.048346919 |
| 66 | 0.936378467 | 0.491610738 | 0.117251498 | 0.521171331 | 0.26910299 | 0.090544978 |
| 67 | 0.849918434 | 0.481543624 | 0.304315931 | 0.552144919 | 0.403839055 | 0.478910166 |
| 68 | 0.215334421 | 0.516778523 | 0.083017484 | 0.831100168 | 0.031376892 | 0.752737765 |
| 69 | 0.915171289 | 0.516778523 | 0.068345764 | 0.713936185 | 0.186046512 | 0.016468482 |
| 70 | 0.293637847 | 1.258389262 | 0.035701186 | 0.246484309 | 0.322628276 | 0.293974362 |
| 71 | 0.567699837 | 1.021812081 | 0.300648001 | 0.459309057 | 0.066814323 | 0.040581659 |
| 72 | 0.789559543 | 0.875838926 | 0.425357623 | 0.220326948 | 0.187892211 | 0.059892635 |
| 73 | 0.686786297 | 1.053691275 | 0.07079105 | 0.28993069 | 0.350313769 | 0.313387513 |
| 74 | 0.380097879 | 0.508389262 | 0.161266659 | 0.406291968 | 0.042081949 | 0.48606238 |
| 75 | 0.732463295 | 0.42114094 | 0.085462771 | 0.644054584 | 0.122369878 | 0.629106648 |
| 76 | 0.688417618 | 0.998322148 | 0.040714024 | 0.327696392 | 0.133997785 | 0.498323317 |
| 77 | 0.64274062 | 1.025167785 | 0.163711945 | 0.24720983 | 0.409376154 | 0.130495199 |
| 78 | 0.520391517 | 1.072147651 | 0.509720015 | 0.489804109 | 0.029715762 | 0.241865379 |
| 79 | 0.77324633 | 0.919463087 | 0.055018951 | 0.258509439 | 0.105204873 | 0.593345581 |

| | | | | | | |
|-----|-------------|-------------|-------------|-------------|-------------|-------------|
| 80 | 0.758564437 | 1.090604027 | 0.206504463 | 0.289297788 | 0.162052418 | 0.036596854 |
| 81 | 0.632952692 | 0.763422819 | 0.07812691 | 0.59924978 | 0.173126615 | 0.592323836 |
| 82 | 0.564437194 | 0.97147651 | 0.108692994 | 0.259713496 | 0.173126615 | 0.037720774 |
| 83 | 0.646003263 | 1.067114094 | 0.064677833 | 0.876607339 | 0.309708379 | 0.016570657 |
| 84 | 0.774877651 | 0.57885906 | 0.274972491 | 0.505889072 | 0.081579919 | 0.567801961 |
| 85 | 0.717781403 | 1.271812081 | 0.040714024 | 0.4747534 | 0.160206718 | 0.037516425 |
| 86 | 0.769983687 | 0.765100671 | 0.095243917 | 0.651996727 | 0.073274271 | 0.01003149 |
| 87 | 0.574225122 | 0.932885906 | 0.175938379 | 0.251207916 | 0.184200812 | 0.139690902 |
| 88 | 0.693311582 | 1.134228188 | 0.040224966 | 0.482124388 | 0.19342931 | 0.063264393 |
| 89 | 0.600326264 | 1.209731544 | 0.06712312 | 0.28960652 | 0.035437431 | 0.703694016 |
| 90 | 0.634584013 | 0.869127517 | 0.376451889 | 0.32788935 | 0.03949797 | 0.036188156 |
| 91 | 0.707993475 | 0.755033557 | 0.083017484 | 0.50603572 | 0.032668882 | 0.288865639 |
| 92 | 0.699836868 | 0.651006711 | 0.153930798 | 0.629034748 | 0.081026209 | 0.065410057 |
| 93 | 0.949429038 | 0.711409396 | 0.140481721 | 0.366488631 | 0.254337394 | 0.114147282 |
| 94 | 0.791190865 | 0.738255034 | 0.041936667 | 0.266621386 | 0.131229236 | 0.040888182 |
| 95 | 0.463295269 | 1.338926174 | 0.094021274 | 0.305483089 | 0.158361019 | 0.175451969 |
| 96 | 0.675367047 | 1.006711409 | 0.218730896 | 0.652745404 | 0.19158361 | 0.021679381 |
| 97 | 0.628058728 | 0.94966443 | 0.080572197 | 0.521356571 | 0.531192322 | 0.189756396 |
| 98 | 0.4045677 | 0.577181208 | 0.07079105 | 0.251354564 | 0 | 0.166256266 |
| 99 | 0.339314845 | 1.281879195 | 0.889962098 | 0.724062611 | 0.27094869 | 0.048244745 |
| 100 | 0.654159869 | 0.672818792 | 0.068345764 | 0.227582161 | 0.42414175 | 0.546345321 |
| 101 | 0.900489396 | 0.958053691 | 0.013938134 | 0.262600145 | 0.352159468 | 0.553497535 |
| 102 | 0.675367047 | 0.703020134 | 0.102579777 | 0.328059153 | 0.012550757 | 0.187712906 |
| 103 | 0.518760196 | 0.788590604 | 0.119696784 | 0.444026798 | 0.009966777 | 0.017592401 |
| 104 | 0.425774878 | 0.833892617 | 0.084240127 | 0.652459826 | 0.259874492 | 0.17136499 |
| 105 | 0.52365416 | 1.058724832 | 0.237070547 | 0.411054167 | 0.041528239 | 0.291930873 |
| 106 | 0.680261011 | 1.39261745 | 0.045604597 | 0.753492536 | 0.040789959 | 0.224495718 |
| 107 | 0.414355628 | 1.204697987 | 0.120919428 | 0.814382303 | 0.03802141 | 0.006567775 |
| 108 | 0.557911909 | 0.790268456 | 0.24929698 | 0.428482117 | 0.105020303 | 0.381844413 |
| 109 | 0.946166395 | 0.474832215 | 0.107470351 | 0.490066532 | 0.717607973 | 0.089625408 |
| 110 | 0.334420881 | 0.728187919 | 0.180828952 | 0.628780044 | 0.027685493 | 0.070110083 |
| 111 | 0.897226754 | 0.701342282 | 0.257855484 | 0.320842531 | 0.566260613 | 0.011359758 |
| 112 | 0.566068515 | 0.454697987 | 0.152708155 | 0.227196246 | 0.047803618 | 0.665889459 |
| 113 | 0.518760196 | 0.342281879 | 0.061498961 | 0.018909866 | 0.010705057 | 0.901912502 |
| 114 | 0.365415987 | 0.783557047 | 0.052695929 | 0.32852997 | 0.03820598 | 0.056725226 |
| 115 | 0.353996737 | 0.926174497 | 0.201613889 | 0.289938408 | 0.03709856 | 0.021270683 |
| 116 | 0.655791191 | 0.927852349 | 0.07812691 | 0.343665581 | 0.04005168 | 0.174430224 |
| 117 | 0.458401305 | 1.22147651 | 0.027387211 | 0.923882002 | 0.241417497 | 0.048755617 |
| 118 | 0.54812398 | 1.14261745 | 0.189387456 | 0.336225128 | 0.018641565 | 0.333822408 |
| 119 | 0.96411093 | 0.468120805 | 0.053918572 | 0.289722295 | 1 | 0.00170427 |
| 120 | 0.703099511 | 0.830536913 | 0.155153442 | 0.737214615 | 0.342930971 | 0.037720774 |
| 121 | 0.615008157 | 1.169463087 | 0.116028854 | 0.521564965 | 0.083241048 | 0.284778659 |

| | | | | | | |
|-----|-------------|-------------|-------------|-------------|-------------|-------------|
| 122 | 0.01141925 | 0.760067114 | 0.051473285 | 0.174117411 | 0.066076043 | 0.709824485 |
| 123 | 0.199021207 | 0.447986577 | 0.07445898 | 0.098207808 | 0.031930602 | 0.811998962 |
| 124 | 0.670473083 | 1 | 0.128255288 | 0.413616647 | 0.085271318 | 0.002378622 |
| 125 | 0.897226754 | 0.604026846 | 0.232179973 | 0.359055896 | 0.07622739 | 0.375713944 |
| 126 | 0.422512235 | 1.041946309 | 0.129477931 | 0.645860669 | 0.234034699 | 0.374692199 |
| 127 | 0.386623165 | 0.94966443 | 0.354444309 | 0.429717047 | 0.044481358 | 0.010338014 |
| 128 | 0.448613377 | 1.302013423 | 0.097689204 | 0.251578395 | 0.050203027 | 0.209169546 |
| 129 | 0.652528548 | 0.902684564 | 0.057708766 | 0.251315972 | 0.117755629 | 0.087684093 |
| 130 | 0.407830343 | 1.040268456 | 0.087908057 | 0.305467653 | 0.046880768 | 0.096266749 |
| 131 | 0.727569331 | 0.719798658 | 0.06712312 | 0.529105756 | 0.033222591 | 0.017285878 |
| 132 | 0.522022838 | 1.020134228 | 0.06712312 | 0.396111514 | 0.045035068 | 0.438040375 |
| 133 | 0.146818923 | 0.709731544 | 0.226066756 | 0.261542736 | 0.135474345 | 0.175451969 |
| 134 | 0.593800979 | 1.288590604 | 0.075681624 | 0.265934456 | 0.058139535 | 0.157060563 |
| 135 | 0.931484502 | 0.80033557 | 0.069568407 | 0.598462512 | 0.455518642 | 0.000774483 |
| 136 | 0.455138662 | 0.989932886 | 0.029098912 | 0.266443865 | 0.003875969 | 0.002582971 |
| 137 | 0.409461664 | 0.929530201 | 0.23095733 | 0.637123539 | 0.060169804 | 0.023518521 |
| 138 | 0.474714519 | 1.120805369 | 0.020173615 | 0.706310492 | 0.11369509 | 0.048346919 |
| 139 | 0.858075041 | 1.129194631 | 0.046704976 | 0.305151202 | 0.173126615 | 0.045281685 |
| 140 | 0.621533442 | 1.083892617 | 0.07445898 | 0.714808354 | 0.38353636 | 0.002409274 |
| 141 | 0.546492659 | 1.179530201 | 0.020907201 | 0.937674627 | 0.070321152 | 0.048857792 |
| 142 | 0.551386623 | 0.516778523 | 0.021763052 | 0.496055942 | 0.012735327 | 0.498323317 |
| 143 | 0.676998369 | 1.303691275 | 0.365448099 | 0.382388355 | 0.210040605 | 0.016672831 |
| 144 | 0.455138662 | 1.174496644 | 0.250519623 | 0.468208271 | 0.024178664 | 0.219386994 |
| 145 | 0.329526917 | 0.667785235 | 0.875290378 | 0.520924345 | 0.032668882 | 0.305213555 |
| 146 | 0.657422512 | 1.258389262 | 0.039980438 | 0.096617835 | 0.069398302 | 0.180560693 |
| 147 | 0.375203915 | 0.936241611 | 0.076904267 | 0.235709544 | 0.516426726 | 0.015344563 |
| 148 | 0.745513866 | 0.860738255 | 0.838611077 | 0.675182538 | 0.772978959 | 0.115169027 |
| 149 | 0.567699837 | 0.761744966 | 0.083017484 | 0.135132215 | 0.068475452 | 0.471757953 |
| 150 | 0.582381729 | 0.912751678 | 0.105025064 | 0.628818635 | 0.04005168 | 0.097390668 |
| 151 | 0.230016313 | 0.959731544 | 0.233402616 | 0.368533984 | 0.052417866 | 0.175451969 |
| 152 | 0.561174551 | 0.786912752 | 0.530504952 | 0.289089393 | 0.15282392 | 0.469714463 |
| 153 | 0.554649266 | 1.026845638 | 0.262746057 | 0.382450101 | 0.021963824 | 0.008396699 |
| 154 | 0.562805873 | 0.382550336 | 0.044871011 | 0.676479215 | 0.035622001 | 0.871260159 |
| 155 | 0.491027732 | 0.760067114 | 0.092798631 | 0.676039271 | 0.015873016 | 0.755802999 |
| 156 | 0.497553018 | 0.734899329 | 0.095243917 | 0.799825566 | 0.553340716 | 0.049164315 |
| 157 | 0.20228385 | 0.446308725 | 0.044015161 | 0.635556722 | 0.023809524 | 0.836520836 |
| 158 | 0.77324633 | 0.983221477 | 0.44614256 | 0.244747688 | 0.374307863 | 0.601519539 |
| 159 | 0.647634584 | 0.704697987 | 0.076904267 | 0.251045831 | 0.019564415 | 0.422714204 |
| 160 | 0.646003263 | 1.224832215 | 0.012837755 | 0.505711551 | 0.04023625 | 0.381844413 |
| 161 | 0.442088091 | 1.020134228 | 0.100134491 | 0.598485667 | 0.078995939 | 0.058257843 |
| 162 | 0.814029364 | 0.780201342 | 0.06345519 | 0.135348327 | 0.208194906 | 0.061936125 |
| 163 | 0.701468189 | 0.572147651 | 0.166157232 | 0.127460212 | 0.011627907 | 0.48401889 |

| | | | | | | |
|-----|-------------|-------------|-------------|-------------|-------------|-------------|
| 164 | 0.530179445 | 1.241610738 | 1 | 0.752419691 | 0.158361019 | 0.508540765 |
| 165 | 0.709624796 | 0.916107383 | 0.090353344 | 0.235339065 | 0.158361019 | 0.37060522 |
| 166 | 0.492659054 | 1.182885906 | 0.142927008 | 0.229457711 | 0.044665928 | 0.197930354 |
| 167 | 0.856443719 | 1.144295302 | 0.096466561 | 0.699155617 | 0.521963824 | 0.063775265 |
| 168 | 0.244698206 | 0.505033557 | 0.069568407 | 0.365902039 | 0.016057586 | 0.767042192 |
| 169 | 0.383360522 | 1.350671141 | 0.086685414 | 0.238573038 | 0.087301587 | 0.090749327 |
| 170 | 0.911908646 | 0.439597315 | 0.26030077 | 0.443810685 | 0.130860096 | 0.101477647 |
| 171 | 1 | 0.406040268 | 0.073236337 | 0.443602291 | 0.935400517 | 0.035472935 |
| 172 | 0.42903752 | 0.461409396 | 0.061743489 | 0.351221809 | 0.045035068 | 0.619910945 |
| 173 | 0.624796085 | 0.781879195 | 0.07812691 | 0.520746824 | 0.202657807 | 0.86512969 |
| 174 | 0.799347471 | 1.046979866 | 0.123364715 | 0.521487782 | 0.046511628 | 0.08625365 |
| 175 | 0.862969005 | 0.543624161 | 0.080572197 | 0.289614239 | 0.337393872 | 0.151951839 |
| 176 | 0.230016313 | 0.067114094 | 0.138036435 | 0.790007873 | 0.087855297 | 0.985695573 |
| 177 | 0.908646003 | 0.867449664 | 0.058320088 | 0.675560735 | 0.145441122 | 0 |
| 178 | 0.522022838 | 0.451342282 | 0 | 0.233347741 | 0.016795866 | 0.262300274 |
| 179 | 0.717781403 | 1.075503356 | 0.068345764 | 0.243358392 | 0.042820229 | 0.361409517 |
| 180 | 0.694942904 | 1.219798658 | 0.069568407 | 0.75383986 | 0.283868586 | 0.428844672 |
| 181 | 0.649265905 | 1.087248322 | 0.224844113 | 0.907403405 | 0.593946106 | 0.316452747 |
| 182 | 0.585644372 | 1.149328859 | 0.492603008 | 0.620899647 | 0.090439276 | 0.016161959 |
| 183 | 0.554649266 | 1.016778523 | 0.073236337 | 1 | 0.573643411 | 0.25923504 |
| 184 | 0.044045677 | 1.32885906 | 0.178383665 | 0.863046264 | 0.032299742 | 0.000173697 |
| 185 | 0.508972268 | 1.013422819 | 0.044015161 | 0.313278585 | 0.044481358 | 0.034144667 |
| 186 | 0.810766721 | 1.390939597 | 0.166157232 | 0.598277273 | 0.15282392 | 0.714933209 |
| 187 | 0.278955954 | 0.47147651 | 0.106247708 | 0.210771677 | 0.010335917 | 0.547367066 |
| 188 | 0.601957586 | 1.179530201 | 0.164934589 | 0.482101233 | 0.03691399 | 0.131516944 |
| 189 | 0.546492659 | 0.592281879 | 0.069568407 | 0.682831386 | 0.043558509 | 0.607650007 |
| 190 | 0.575856444 | 1.010067114 | 0.059175938 | 0.235261882 | 0.162052418 | 0.493214593 |
| 191 | 0.566068515 | 0.887583893 | 0.054407629 | 0.265818681 | 0.067368032 | 0.061527427 |
| 192 | 0.729200653 | 0.729865772 | 0.142927008 | 0.574744138 | 0.034883721 | 0.203039078 |
| 193 | 0.704730832 | 0.986577181 | 0.087908057 | 0.290193112 | 0.564414913 | 0.495258083 |
| 194 | 0.730831974 | 0.827181208 | 0.06345519 | 0.366751054 | 0.069952012 | 0.080225356 |
| 195 | 0.662316476 | 0.983221477 | 0.175938379 | 0.537040182 | 0.477667036 | 0.072868794 |
| 196 | 0.556280587 | 0.659395973 | 0.257855484 | 0.145289514 | 0.176818014 | 0.690411334 |
| 197 | 0.543230016 | 1.186241611 | 0.047683091 | 0.195906207 | 0.088962717 | 0.164212776 |
| 198 | 0.769983687 | 1.052013423 | 0.101357134 | 0.691097698 | 0.147286822 | 0.178517203 |
| 199 | 0.543230016 | 0.86409396 | 0.090353344 | 0.482873065 | 0.028423773 | 0.072868794 |
| 200 | 0.433931485 | 0.890939597 | 0.141704365 | 0.312861796 | 0.015688446 | 0.050594758 |

LAMPIRAN 2.2
Data Fitur Audio Instrumentalness – Mode

| No | Instrumentalness | Time | Key | Duration | Loudness | Valence | Mode |
|----|------------------|------|------------|-------------|-------------|-------------|------|
| 1 | 0 | 0.5 | 0.18181818 | 0.197093372 | 0.775006205 | 0.956140351 | 1 |
| 2 | 2.28758E-06 | 0.5 | 1 | 0.17077059 | 0.661764706 | 0.362348178 | 0 |
| 3 | 0 | 0.5 | 0.09090909 | 0.349385493 | 0.770786796 | 0.418578498 | 1 |
| 4 | 9.92375E-06 | 0.5 | 0.54545455 | 0.331861688 | 0.683420204 | 0.528789924 | 1 |
| 5 | 0 | 0.5 | 1 | 0.444749964 | 0.85914619 | 0.78520018 | 0 |
| 6 | 0 | 0.5 | 0.09090909 | 0.287913147 | 0.827748821 | 0.63562753 | 1 |
| 7 | 3.62745E-06 | 0.5 | 0.09090909 | 0.365349086 | 0.859890792 | 0.594017094 | 0 |
| 8 | 2.14597E-06 | 0.5 | 0.72727273 | 0.237226345 | 0.65469099 | 0.319613135 | 1 |
| 9 | 0 | 0.5 | 0.45454545 | 0.298760481 | 0.951538843 | 0.695231669 | 1 |
| 10 | 0.000540305 | 0.5 | 0.54545455 | 0.358762211 | 0.726917349 | 0.107062528 | 0 |
| 11 | 0 | 0.5 | 0.45454545 | 0.370879342 | 0.950297841 | 0.683985605 | 1 |
| 12 | 0.001448802 | 0.5 | 0.18181818 | 0.333196364 | 0.366406056 | 0.127305443 | 1 |
| 13 | 0 | 0.5 | 0.72727273 | 0.67529057 | 0.890419459 | 0.430949168 | 1 |
| 14 | 0 | 0.5 | 0.36363636 | 0.266552148 | 0.725924547 | 0.541160594 | 0 |
| 15 | 0 | 0.5 | 0.09090909 | 0.507896834 | 0.843509556 | 0.739091318 | 1 |
| 16 | 0 | 0.5 | 0.63636364 | 0.375337531 | 0.726110697 | 0.292622582 | 1 |
| 17 | 0 | 0.5 | 0.72727273 | 0.415584817 | 0.761727476 | 0.496176338 | 0 |
| 18 | 0 | 0.5 | 0.54545455 | 0.236423068 | 0.64525937 | 0.29937022 | 0 |
| 19 | 0 | 0.5 | 0.09090909 | 0.158483536 | 0.687949863 | 0.331983806 | 0 |
| 20 | 3.28976E-05 | 0.5 | 0.90909091 | 0.35968598 | 0.589786548 | 0.312865497 | 1 |
| 21 | 0.010740741 | 0.5 | 0.36363636 | 0.277010202 | 0.794117647 | 0.222896986 | 1 |
| 22 | 8.56209E-05 | 0 | 0.09090909 | 0.326516804 | 0.247207744 | 0.159919028 | 0 |
| 23 | 0 | 0.5 | 0.90909091 | 0.423330264 | 0.758314718 | 0.349977508 | 1 |
| 24 | 2.24401E-06 | 0.5 | 0.81818182 | 0.323340769 | 0.782700422 | 0.253261359 | 0 |
| 25 | 0 | 0.5 | 0.27272727 | 0.263237084 | 0.805969223 | 0.532163743 | 0 |
| 26 | 0 | 0.5 | 0.09090909 | 0.273043247 | 0.808823529 | 0.482681062 | 0 |
| 27 | 0 | 0.5 | 0 | 0.436547267 | 0.697381484 | 0.433198381 | 1 |
| 28 | 1.48148E-06 | 0.5 | 0.63636364 | 0.380694773 | 0.758252668 | 0.203778677 | 0 |
| 29 | 0 | 0.5 | 1 | 0.315524262 | 0.728778853 | 0.427575349 | 1 |
| 30 | 0.004052288 | 0.5 | 0.72727273 | 0.223558272 | 0.818069 | 0.46131354 | 1 |
| 31 | 0.363834423 | 0.5 | 0 | 0.417314953 | 0.483122363 | 0.055330634 | 0 |
| 32 | 0.00054793 | 0.5 | 0.09090909 | 0.416894777 | 0.853375527 | 0.61088619 | 0 |
| 33 | 0 | 0.5 | 0.27272727 | 0.803505997 | 0.505956813 | 0.184660369 | 1 |
| 34 | 1.19826E-05 | 0.5 | 0.54545455 | 0.279027664 | 0.789836188 | 0.11268556 | 1 |
| 35 | 0 | 0.5 | 0.72727273 | 0.386533982 | 0.929573095 | 0.714349978 | 1 |
| 36 | 0 | 0.5 | 0.63636364 | 0.313250369 | 0.946760983 | 0.763832659 | 1 |
| 37 | 0 | 0.5 | 0.54545455 | 0.449804433 | 0.672251179 | 0.174538911 | 0 |

| | | | | | | | |
|----|-------------|-----|------------|-------------|-------------|-------------|---|
| 38 | 6.122E-05 | 0.5 | 0.36363636 | 0.350992048 | 0.921940928 | 0.717723797 | 0 |
| 39 | 0.004400871 | 0.5 | 0.81818182 | 0.126188696 | 0.765760735 | 0.728969861 | 0 |
| 40 | 7.14597E-05 | 0.5 | 0.45454545 | 0.382795652 | 0.742988335 | 0.086819613 | 0 |
| 41 | 5.34858E-06 | 0.5 | 1 | 0.367848514 | 0.749131298 | 0.475933423 | 1 |
| 42 | 0 | 0.5 | 0.36363636 | 0.336495981 | 0.801687764 | 0.342105263 | 0 |
| 43 | 0 | 0.5 | 0.36363636 | 0.327304634 | 0.493608836 | 0.064327485 | 0 |
| 44 | 0 | 0 | 0.72727273 | 0.364709553 | 0.811057334 | 0.352226721 | 1 |
| 45 | 3.58388E-06 | 0.5 | 0.63636364 | 0.340487651 | 0.835567138 | 0.726720648 | 1 |
| 46 | 0 | 0.5 | 0.63636364 | 0.337289989 | 0.803549268 | 0.10031489 | 0 |
| 47 | 0 | 0.5 | 0 | 0.428557746 | 0.65909655 | 0.313990103 | 1 |
| 48 | 1 | 0.5 | 0.54545455 | 0.196280826 | 0.938508315 | 0.344354476 | 0 |
| 49 | 0 | 0.5 | 0.45454545 | 0.4916799 | 0.87279722 | 0.660368871 | 0 |
| 50 | 0 | 0.5 | 0.72727273 | 0.295850146 | 0.776557458 | 0.929149798 | 0 |
| 51 | 8.82353E-05 | 0.5 | 0.90909091 | 0.32045206 | 0.853189377 | 0.098065677 | 0 |
| 52 | 0 | 0.5 | 1 | 0.298714138 | 0.794179697 | 0.587269456 | 1 |
| 53 | 0.001361656 | 0.5 | 0.09090909 | 0.600536342 | 0.646624473 | 0.237516869 | 1 |
| 54 | 0 | 0.5 | 0.27272727 | 0.514489888 | 0.686957061 | 0.022379667 | 1 |
| 55 | 0 | 0.5 | 0.54545455 | 0.252992208 | 0.857222636 | 0.553531264 | 1 |
| 56 | 0 | 0.5 | 0.72727273 | 0.275836181 | 0.717051378 | 0.175663518 | 0 |
| 57 | 0 | 0.5 | 0.54545455 | 0.304420497 | 0.832154381 | 0.498425551 | 0 |
| 58 | 0 | 0.5 | 0.72727273 | 0.297564834 | 0.848907918 | 0.637876743 | 1 |
| 59 | 0 | 0.5 | 0.81818182 | 0.343537016 | 0.712521718 | 0.227395412 | 0 |
| 60 | 0 | 0.5 | 1 | 0.215136217 | 0.938756515 | 0.956140351 | 1 |
| 61 | 0 | 0.5 | 0.18181818 | 0.294187979 | 0.741623232 | 0.176788124 | 1 |
| 62 | 9.0305E-05 | 0.5 | 0.63636364 | 0.323557036 | 0.549329859 | 0.330859199 | 1 |
| 63 | 0.000248366 | 0.5 | 0.81818182 | 0.428807998 | 0.691734922 | 0.18128655 | 0 |
| 64 | 0 | 0.5 | 0.18181818 | 0.264939414 | 0.827872921 | 0.209401709 | 1 |
| 65 | 0.000102832 | 0.5 | 0.09090909 | 0.21308477 | 0.847915115 | 0.583895637 | 1 |
| 66 | 5.57734E-05 | 0.5 | 0.45454545 | 0.119493688 | 0.421878878 | 0.411830859 | 1 |
| 67 | 4.49891E-06 | 0.5 | 0 | 0.076889092 | 0.553487218 | 0.42082771 | 0 |
| 68 | 0 | 0 | 0.63636364 | 0.337756508 | 0.595867461 | 0.207152497 | 1 |
| 69 | 0.01416122 | 0.5 | 0.63636364 | 0.446029029 | 0.619880864 | 0.403958614 | 1 |
| 70 | 0 | 0.5 | 0.90909091 | 0.295834698 | 0.925477786 | 0.442195232 | 1 |
| 71 | 3.3878E-06 | 0.5 | 0.81818182 | 0.345019989 | 0.779163564 | 0.32748538 | 0 |
| 72 | 6.53595E-05 | 0.5 | 0.09090909 | 0.382109777 | 0.75893522 | 0.322986955 | 1 |
| 73 | 5.59913E-06 | 0.5 | 0.81818182 | 0.494747802 | 0.890481509 | 0.261133603 | 0 |
| 74 | 0 | 0.5 | 0.09090909 | 0.471119089 | 0.664432862 | 0.312865497 | 0 |
| 75 | 0 | 0.5 | 0.54545455 | 0.414759913 | 0.471208737 | 0.213900135 | 0 |
| 76 | 3.92157E-06 | 0.5 | 0.09090909 | 0.265310158 | 0.749689749 | 0.506297796 | 0 |
| 77 | 0 | 0.5 | 0.09090909 | 0.129099032 | 0.911888806 | 0.313990103 | 0 |
| 78 | 0 | 0.5 | 0.90909091 | 0.383246724 | 0.811057334 | 0.571524966 | 1 |
| 79 | 0 | 0.5 | 0.09090909 | 0.430887251 | 0.923368081 | 0.976383266 | 0 |

| | | | | | | | |
|-----|-------------|-----|------------|-------------|-------------|-------------|---|
| 80 | 0 | 0.5 | 1 | 0.198205602 | 0.950235791 | 0.528789924 | 0 |
| 81 | 0 | 0.5 | 0.72727273 | 0.392969469 | 0.623790022 | 0.423076923 | 1 |
| 82 | 0 | 0.5 | 0.09090909 | 0.286525949 | 0.942107223 | 0.607512371 | 0 |
| 83 | 0.000108279 | 0.5 | 0.36363636 | 0.199441413 | 0.852506826 | 0.550157445 | 0 |
| 84 | 2.01525E-05 | 0.5 | 0.45454545 | 0.43862034 | 0.603996029 | 0.308367072 | 0 |
| 85 | 2.38562E-05 | 0.5 | 0.81818182 | 0.372600209 | 0.919831224 | 0.5951417 | 0 |
| 86 | 3.11547E-05 | 0.5 | 0.90909091 | 0.274350118 | 0.682985853 | 0.346603689 | 0 |
| 87 | 0 | 0.5 | 0.90909091 | 0.323476708 | 0.803239017 | 0.817813765 | 0 |
| 88 | 0 | 0.5 | 0.90909091 | 0.340160161 | 0.849466369 | 0.678362573 | 0 |
| 89 | 0 | 0.5 | 0.45454545 | 0.346966392 | 0.895817821 | 0.816689159 | 0 |
| 90 | 5.28322E-05 | 0.5 | 1 | 0.396883902 | 0.834946637 | 0.55465587 | 0 |
| 91 | 3.7037E-06 | 0.5 | 0 | 0.172386413 | 0.713142219 | 0.091318039 | 1 |
| 92 | 0.034095861 | 0.5 | 0.45454545 | 0 | 0.909903202 | 0.349977508 | 0 |
| 93 | 0.339869281 | 0.5 | 0.45454545 | 0.37200084 | 0.719285182 | 0.777327935 | 0 |
| 94 | 0 | 0.5 | 0.63636364 | 0.382177747 | 0.7501241 | 0.502923977 | 1 |
| 95 | 0 | 0.5 | 0 | 0.381791556 | 0.90003723 | 0.251012146 | 1 |
| 96 | 0 | 0.5 | 0.45454545 | 0.302545153 | 0.836125589 | 0.4894287 | 0 |
| 97 | 0 | 0.5 | 0.90909091 | 0.234041041 | 0.705013651 | 0.879667117 | 1 |
| 98 | 0 | 0 | 0.72727273 | 0.522606079 | 0.729213204 | 0.118308592 | 1 |
| 99 | 0.000191721 | 0.5 | 0.45454545 | 0.355811712 | 0.793497146 | 0.614260009 | 1 |
| 100 | 2.77778E-06 | 0.5 | 0.81818182 | 0.31881152 | 0.647989576 | 0.400584795 | 1 |
| 101 | 1.39434E-05 | 0.5 | 1 | 1 | 0.907110946 | 0.426450742 | 0 |
| 102 | 3.878E-05 | 0.5 | 0.18181818 | 0.380200449 | 0.852010424 | 0.372469636 | 1 |
| 103 | 0.003202614 | 0.5 | 0.36363636 | 0.315607679 | 0.721146687 | 0.236392263 | 0 |
| 104 | 0 | 0.5 | 0.72727273 | 0.399466747 | 0.681000248 | 0.519793072 | 1 |
| 105 | 0 | 0.5 | 0.45454545 | 0.330706204 | 0.82719037 | 0.777327935 | 1 |
| 106 | 1.88453E-06 | 0.5 | 0.72727273 | 0.205126145 | 0.96370067 | 0.95951417 | 1 |
| 107 | 0.145969499 | 0.5 | 0 | 0.287020273 | 0.820985356 | 0.253261359 | 1 |
| 108 | 0 | 0.5 | 0.81818182 | 0.361833203 | 0.686646811 | 0.482681062 | 1 |
| 109 | 0 | 0.5 | 0.09090909 | 0.263101145 | 0.55454207 | 0.352226721 | 1 |
| 110 | 0 | 0.5 | 0.72727273 | 0.3988612 | 0.785306528 | 0.256635178 | 0 |
| 111 | 0 | 0.5 | 0.18181818 | 0.104120195 | 0.605609332 | 0.29937022 | 1 |
| 112 | 0 | 0.5 | 0.45454545 | 0.32981951 | 0.607160586 | 0.52991453 | 1 |
| 113 | 0 | 0.5 | 1 | 0.085397653 | 0.496152892 | 0.51417004 | 1 |
| 114 | 0 | 0.5 | 0.09090909 | 0.32038718 | 0.630305287 | 0.434322987 | 1 |
| 115 | 1.49237E-05 | 0.5 | 0.72727273 | 0.321045249 | 0.784996277 | 0.338731444 | 1 |
| 116 | 0 | 0.5 | 0.63636364 | 0.279559063 | 0.930938198 | 0.42082771 | 1 |
| 117 | 0 | 0.5 | 0.63636364 | 0.323433455 | 1 | 0.811066127 | 0 |
| 118 | 0 | 0.5 | 0.09090909 | 0.309453339 | 0.832340531 | 0.665991903 | 1 |
| 119 | 0 | 0.5 | 0.90909091 | 0.258160989 | 0.61832961 | 0.356725146 | 1 |
| 120 | 0 | 0.5 | 0.90909091 | 0.173251481 | 0.697877885 | 0.588394062 | 0 |
| 121 | 5.13072E-06 | 0.5 | 0.72727273 | 0.408994853 | 0.938322164 | 0.397210976 | 0 |

| | | | | | | | |
|-----|-------------|-----|------------|-------------|-------------|-------------|---|
| 122 | 0 | 0.5 | 0.90909091 | 0.362157603 | 0.661826756 | 0.484930274 | 1 |
| 123 | 0 | 0.5 | 0.36363636 | 0.355771548 | 0.486783321 | 0.393837157 | 0 |
| 124 | 1.69935E-05 | 0.5 | 0.81818182 | 0.355524386 | 0.747269794 | 0.613135403 | 0 |
| 125 | 1.86275E-05 | 0.5 | 0.45454545 | 0.336823471 | 0.51346488 | 0.646873594 | 0 |
| 126 | 0 | 0.5 | 0.72727273 | 0.332254058 | 0.802494415 | 0.256635178 | 1 |
| 127 | 3.62745E-06 | 0.5 | 0 | 0.444666547 | 0.721332837 | 0.497300945 | 1 |
| 128 | 0 | 0.5 | 0.81818182 | 0.334827635 | 0.97294614 | 0.52991453 | 0 |
| 129 | 0 | 0.5 | 0.27272727 | 0.232706365 | 0.800384711 | 0.365721997 | 0 |
| 130 | 1.83007E-06 | 0.5 | 0.54545455 | 0.351152703 | 0.819558203 | 0.500674764 | 1 |
| 131 | 0.000165577 | 0.5 | 0 | 0.161502005 | 0.516505336 | 0.29937022 | 0 |
| 132 | 0 | 0.5 | 0.18181818 | 0.476386735 | 0.635951849 | 0.44894287 | 1 |
| 133 | 0 | 0.5 | 0.27272727 | 0.287486792 | 0.79089104 | 0.591767881 | 1 |
| 134 | 0.000159041 | 0.5 | 0.54545455 | 0.365327459 | 0.903636138 | 0.696356275 | 1 |
| 135 | 6.38344E-05 | 0.5 | 0.90909091 | 0.268841489 | 0.655807893 | 0.59851552 | 1 |
| 136 | 0 | 0.5 | 1 | 0.312885805 | 0.732625962 | 0.172289699 | 0 |
| 137 | 6.53595E-05 | 0.5 | 0.09090909 | 0.319151368 | 0.752668156 | 0.230769231 | 1 |
| 138 | 0 | 0.5 | 0.90909091 | 0.216140314 | 0.710722264 | 0.591767881 | 1 |
| 139 | 3.76906E-05 | 0.5 | 0.09090909 | 0.42512528 | 0.857408786 | 0.723346829 | 1 |
| 140 | 0 | 0.5 | 1 | 0.273302768 | 0.725862497 | 0.38034188 | 0 |
| 141 | 0 | 0.5 | 0.09090909 | 0.411617862 | 0.914619012 | 0.637876743 | 1 |
| 142 | 0.000174292 | 0.5 | 0.63636364 | 0.277482899 | 0.654070489 | 0.533288349 | 0 |
| 143 | 2.50545E-06 | 1 | 0.81818182 | 0.249161193 | 0.800819062 | 0.687359424 | 0 |
| 144 | 0 | 0.5 | 0.54545455 | 0.38942578 | 0.861317945 | 0.482681062 | 1 |
| 145 | 0 | 0.5 | 0 | 0.358243171 | 0.750310251 | 0.26225821 | 1 |
| 146 | 0 | 0.5 | 0.45454545 | 0.418550764 | 0.906862745 | 0.829059829 | 0 |
| 147 | 0 | 0.5 | 0.81818182 | 0.29424977 | 0.795793001 | 0.417453891 | 1 |
| 148 | 0 | 0.5 | 0.90909091 | 0.222921829 | 0.542566394 | 0.640125956 | 0 |
| 149 | 0 | 0.5 | 1 | 0.218596489 | 0.647927525 | 0.483805668 | 1 |
| 150 | 0 | 0.5 | 0.54545455 | 0.332003806 | 0.771779598 | 0.309491678 | 1 |
| 151 | 0 | 0 | 0.72727273 | 0.624847841 | 0.695147679 | 0.392712551 | 1 |
| 152 | 0.079956427 | 0.5 | 0.36363636 | 0.262381285 | 0.587428642 | 0.388214125 | 0 |
| 153 | 9.86928E-06 | 0.5 | 0.63636364 | 0.28664953 | 0.749503599 | 0.499550157 | 1 |
| 154 | 0.47167756 | 0.5 | 0.54545455 | 0.544603521 | 0.324522214 | 0 | 1 |
| 155 | 0 | 0.5 | 0.09090909 | 0.232048296 | 0.766319186 | 0.472559604 | 0 |
| 156 | 0 | 0.5 | 0.63636364 | 0.146261362 | 0.664308761 | 0.549032839 | 1 |
| 157 | 0.062854031 | 0.5 | 0.36363636 | 0.328460117 | 0.641536361 | 0.105937922 | 0 |
| 158 | 0 | 0.5 | 0.90909091 | 0.720542892 | 0.857036485 | 0.509671615 | 0 |
| 159 | 0 | 0.5 | 0.72727273 | 0.465635176 | 0.773454952 | 0.672739541 | 1 |
| 160 | 0 | 0.5 | 0.27272727 | 0.375420948 | 0.942975925 | 0.701979307 | 0 |
| 161 | 0 | 0.5 | 0.45454545 | 0.361827023 | 0.666604617 | 0.47705803 | 1 |
| 162 | 0.088888889 | 0.5 | 0.45454545 | 0.342301204 | 0.615040953 | 0.260008997 | 0 |
| 163 | 0 | 0.5 | 0.18181818 | 0.578711914 | 0.744787789 | 0.594017094 | 1 |

| | | | | | | | |
|-----|-------------|-----|------------|-------------|-------------|-------------|---|
| 164 | 0 | 0.5 | 0.63636364 | 0.242592856 | 0.910151402 | 0.734592892 | 1 |
| 165 | 8.89978E-05 | 0.5 | 0.36363636 | 0.10749705 | 0.696512782 | 0.730094467 | 1 |
| 166 | 0 | 0.5 | 0 | 0.36001347 | 0.869136262 | 0.547908232 | 1 |
| 167 | 0 | 0.5 | 0.90909091 | 0.464767019 | 0.817820799 | 0.576023392 | 0 |
| 168 | 0 | 0.5 | 0.09090909 | 0.271615885 | 0.768490941 | 0.430949168 | 1 |
| 169 | 0.000118736 | 0.5 | 0.72727273 | 0.359933143 | 0.719161082 | 0.780701754 | 1 |
| 170 | 0 | 0.5 | 0.09090909 | 0.17843262 | 0.503226607 | 0.761583446 | 1 |
| 171 | 0 | 0.5 | 0.45454545 | 0.148380778 | 0.543248945 | 0.561403509 | 0 |
| 172 | 0.000505447 | 0.5 | 0.36363636 | 0.50897199 | 0.470588235 | 0.155420603 | 1 |
| 173 | 2.33115E-05 | 0.5 | 0.63636364 | 0.003772314 | 0.682427401 | 0.70422852 | 0 |
| 174 | 0 | 0.5 | 0.63636364 | 0.462165636 | 0.911764706 | 0.412955466 | 1 |
| 175 | 5.52288E-05 | 0.5 | 0.81818182 | 0.24269481 | 0.607098536 | 0.303868646 | 1 |
| 176 | 2.00436E-06 | 0 | 0.63636364 | 0.710764535 | 0.492616034 | 0.237516869 | 1 |
| 177 | 5.87146E-05 | 0.5 | 0.09090909 | 0.255670829 | 0.70898486 | 0.402834008 | 0 |
| 178 | 8.66013E-05 | 0.5 | 0.81818182 | 0.622994124 | 0 | 0.752586595 | 1 |
| 179 | 3.19172E-05 | 0.5 | 1 | 0.291385777 | 0.891598412 | 0.851551957 | 0 |
| 180 | 0 | 0.5 | 0.72727273 | 0.227549942 | 0.988768925 | 0.818938372 | 1 |
| 181 | 0 | 0.5 | 0.54545455 | 0.276534414 | 0.817882849 | 0.942645074 | 1 |
| 182 | 3.01743E-06 | 0.5 | 0.36363636 | 0.113750255 | 0.880491437 | 0.735717499 | 1 |
| 183 | 0 | 0.5 | 0.45454545 | 0.329037859 | 0.801687764 | 0.745838956 | 1 |
| 184 | 0 | 0.5 | 0.18181818 | 0.508310831 | 0.868577811 | 0.456815115 | 1 |
| 185 | 0 | 0.5 | 0.72727273 | 0.248873867 | 0.863117399 | 0.763832659 | 1 |
| 186 | 3.061E-06 | 0.5 | 0.45454545 | 0.240217008 | 0.915735915 | 0.498425551 | 0 |
| 187 | 0 | 0.5 | 0 | 0.349963235 | 0.664494912 | 0.194781826 | 1 |
| 188 | 0 | 0.5 | 1 | 0.320529298 | 0.836063539 | 0.272379667 | 0 |
| 189 | 0 | 0.5 | 1 | 0.457067914 | 0.60449243 | 0.736842105 | 1 |
| 190 | 0 | 0.5 | 1 | 0.311418279 | 0.796165302 | 0.892037787 | 0 |
| 191 | 0.000211329 | 0.5 | 0.72727273 | 0.42617263 | 0.813973691 | 0.550157445 | 1 |
| 192 | 1.80828E-05 | 0.5 | 0.09090909 | 0.33459901 | 0.726793249 | 0.372469636 | 1 |
| 193 | 0 | 0.5 | 0.90909091 | 0.200528927 | 0.738893026 | 0.22177238 | 0 |
| 194 | 6.16558E-06 | 0.5 | 0.45454545 | 0.326263463 | 0.802494415 | 0.400584795 | 0 |
| 195 | 0 | 0.5 | 0.09090909 | 0.310454346 | 0.790332589 | 0.957264957 | 0 |
| 196 | 0 | 0.5 | 0.18181818 | 0.085953768 | 0.666914867 | 0.463562753 | 1 |
| 197 | 0.000395425 | 0.5 | 0.63636364 | 0.483801603 | 0.842020352 | 0.740215924 | 1 |
| 198 | 0 | 0.5 | 1 | 0.284452875 | 0.909965252 | 1 | 0 |
| 199 | 0 | 0.5 | 0.90909091 | 0.380611356 | 0.68621246 | 0.248762933 | 1 |
| 200 | 1.56863E-05 | 0.5 | 1 | 0.472432139 | 0.700856292 | 0.430949168 | 0 |

LAMPIRAN 4.1

Detail Lagu dan Nilai Fitur Audio dari Cluster 2

1. Cluster 2 pada Fitur Audio *Loudness*

| Position | Track Name | Artist | Cluster | Streams | Loudness |
|----------|---|------------------------|---------|----------|----------|
| 10 | MIA (feat. Drake) | Bad Bunny | 2 | 1.963043 | -6.349 |
| 14 | Going Bad (feat. Drake) | Meek Mill | 2 | 1.753958 | -6.365 |
| 18 | Eastside (with Halsey & Khalid) | benny blanco | 2 | 1.463809 | -7.665 |
| 22 | when the party's over | Billie Eilish | 2 | 1.336413 | -14.08 |
| 25 | Look Back At It | A Boogie Wit da Hoodie | 2 | 1.277818 | -5.075 |
| 31 | Better | Khalid | 2 | 1.181346 | -10.278 |
| 37 | Lucid Dreams | Juice WRLD | 2 | 1.097411 | -7.23 |
| 40 | rockstar (feat. 21 Savage) | Post Malone | 2 | 1.026245 | -6.09 |
| 43 | lovely | Billie Eilish | 2 | 1.010517 | -10.109 |
| 48 | whoa (mind in awe) | XXXTENTACION | 2 | 0.930018 | -2.939 |
| 59 | Love Someone | Lukas Graham | 2 | 0.822223 | -6.581 |
| 67 | Jocelyn Flores | XXXTENTACION | 2 | 0.788173 | -9.144 |
| 74 | Fire On Fire - From "Watership Down" | Sam Smith | 2 | 0.754628 | -7.356 |
| 75 | Bubalu | Becky G | 2 | 0.753861 | -10.47 |
| 76 | Hope | The Chainsmokers | 2 | 0.751386 | -5.982 |
| 79 | Shape of You | Ed Sheeran | 2 | 0.744005 | -3.183 |
| 84 | NI BIEN NI MAL | Bad Bunny | 2 | 0.723243 | -8.33 |
| 103 | Falling Down - Bonus Track | Lil Peep | 2 | 0.637786 | -6.442 |
| 123 | Best Part (feat. Daniel Caesar) | H.E.R. | 2 | 0.588481 | -10.219 |
| 125 | Space Cadet (feat. Gunna) | Metro Boomin | 2 | 0.582041 | -9.789 |
| 131 | Fuck Love (feat. Trippie Redd) | XXXTENTACION | 2 | 0.564535 | -9.74 |
| 142 | Trampoline | SHAED | 2 | 0.544643 | -7.523 |
| 152 | bellyache | Billie Eilish | 2 | 0.525496 | -8.597 |
| 155 | Let Me Down Slowly | Alec Benjamin | 2 | 0.512901 | -5.714 |
| 157 | ocean eyes | Billie Eilish | 2 | 0.509864 | -7.725 |
| 162 | Praise The Lord (Da Shine) (feat. Skepta) | A\$AP Rocky | 2 | 0.494846 | -8.152 |
| 173 | Everybody Dies In Their Nightmares | XXXTENTACION | 2 | 0.471264 | -7.066 |

2. Cluster 2 pada Fitur Audio Danceability - Key

| Position | Danceability | Energy | Spechiness | Accousticness | Instrumentalness | Time | Key |
|----------|--------------|--------|------------|---------------|------------------|--------|----------|
| 10 | 0.817 | 0.539 | 0.099 | 97.062 | 0.0621 | 0.0141 | 0.000496 |
| 14 | 0.889 | 0.496 | 0.252 | 86.003 | 0.0905 | 0.259 | 0 |
| 18 | 0.632 | 0.686 | 0.2 | 89.949 | 0.243 | 0.549 | 0 |
| 22 | 0.498 | 0.104 | 0.0895 | 124.001 | 0.0621 | 0.979 | 7.86E-05 |
| 25 | 0.791 | 0.587 | 0.148 | 96.057 | 0.0413 | 0.407 | 0 |
| 31 | 0.596 | 0.552 | 0.104 | 97.949 | 0.097 | 0.0765 | 0.334 |
| 37 | 0.511 | 0.566 | 0.34 | 83.903 | 0.2 | 0.349 | 0 |
| 40 | 0.587 | 0.535 | 0.131 | 159.847 | 0.0898 | 0.117 | 6.56E-05 |
| 43 | 0.351 | 0.296 | 0.095 | 115.284 | 0.0333 | 0.934 | 0 |
| 48 | 0.735 | 0.525 | 0.101 | 160.147 | 0.0441 | 0.653 | 0.918 |
| 59 | 0.538 | 0.409 | 0.11 | 171.838 | 0.0505 | 0.172 | 0 |
| 67 | 0.872 | 0.391 | 0.297 | 134.021 | 0.242 | 0.469 | 4.13E-06 |
| 74 | 0.584 | 0.407 | 0.18 | 115.124 | 0.046 | 0.476 | 0 |
| 75 | 0.8 | 0.355 | 0.118 | 145.929 | 0.0895 | 0.616 | 0 |
| 76 | 0.773 | 0.699 | 0.0814 | 104.941 | 0.0958 | 0.488 | 3.60E-06 |
| 79 | 0.825 | 0.652 | 0.0931 | 95.977 | 0.0802 | 0.581 | 0 |
| 84 | 0.826 | 0.449 | 0.273 | 128.028 | 0.0674 | 0.556 | 1.85E-05 |
| 103 | 0.669 | 0.574 | 0.146 | 120.013 | 0.0286 | 0.0175 | 0.00294 |
| 123 | 0.473 | 0.371 | 0.109 | 75.208 | 0.0405 | 0.795 | 0 |
| 125 | 0.901 | 0.464 | 0.238 | 109.004 | 0.0645 | 0.368 | 1.71E-05 |
| 131 | 0.797 | 0.533 | 0.103 | 131.036 | 0.0412 | 0.0172 | 0.000152 |
| 142 | 0.689 | 0.412 | 0.0659 | 126.754 | 0.0301 | 0.488 | 0.00016 |
| 152 | 0.695 | 0.573 | 0.482 | 99.939 | 0.106 | 0.46 | 0.0734 |
| 155 | 0.652 | 0.557 | 0.124 | 150.073 | 0.0318 | 0.74 | 0 |
| 157 | 0.475 | 0.37 | 0.0841 | 144.828 | 0.0361 | 0.819 | 0.0577 |
| 162 | 0.85 | 0.569 | 0.1 | 80.02 | 0.136 | 0.0609 | 0.0816 |
| 173 | 0.734 | 0.57 | 0.112 | 129.953 | 0.133 | 0.847 | 2.14E-05 |

3. Cluster 2 pada Fitur Audio Duration - Mode

| Position | Duration | Valence | Mode |
|-----------------|-----------------|----------------|-------------|
| 10 | 210368 | 0.158 | 0 |
| 14 | 180522 | 0.544 | 0 |
| 18 | 170770 | 0.329 | 0 |
| 22 | 199931 | 0.205 | 0 |
| 25 | 179449 | 0.536 | 0 |
| 31 | 229320 | 0.112 | 0 |
| 37 | 239836 | 0.218 | 0 |
| 40 | 218147 | 0.14 | 0 |
| 43 | 200186 | 0.12 | 0 |
| 48 | 157777 | 0.369 | 0 |
| 59 | 205440 | 0.265 | 0 |
| 67 | 119133 | 0.437 | 0 |
| 74 | 246735 | 0.341 | 0 |
| 75 | 228493 | 0.253 | 0 |
| 76 | 180120 | 0.513 | 0 |
| 79 | 233713 | 0.931 | 0 |
| 84 | 236216 | 0.337 | 0 |
| 103 | 196400 | 0.273 | 0 |
| 123 | 209400 | 0.413 | 0 |
| 125 | 203267 | 0.638 | 0 |
| 131 | 146520 | 0.329 | 0 |
| 142 | 184060 | 0.537 | 0 |
| 152 | 179172 | 0.408 | 0 |
| 155 | 169354 | 0.483 | 0 |
| 157 | 200560 | 0.157 | 0 |
| 162 | 205040 | 0.294 | 0 |
| 173 | 95467 | 0.689 | 0 |

LAMPIRAN 4.2

Kelompok Lagu dan Nilai Fitur *Loudness - Danceability* pada Mode 0

1. Kelompok Lagu Mode 0 pada Fitur *Loudness - Danceability*

| Position | Track Name | Artist | Streams | Loudness | Danceability |
|----------|---|------------------------|----------|----------|--------------|
| 2 | Wow. | Post Malone | 2.994424 | -7.399 | 0.833 |
| 5 | Calma - Remix | Pedro CapÃ³ | 2.28161 | -4.218 | 0.826 |
| 7 | Taki Taki (with Selena Gomez, Ozuna & Cardi B) | DJ Snake | 2.213808 | -4.206 | 0.841 |
| 10 | MIA (feat. Drake) | Bad Bunny | 1.963043 | -6.349 | 0.817 |
| 14 | Going Bad (feat. Drake) | Meek Mill | 1.753958 | -6.365 | 0.889 |
| 17 | ZEZE (feat. Travis Scott & Offset) | Kodak Black | 1.627404 | -5.788 | 0.861 |
| 18 | Eastside (with Halsey & Khalid) | benny blanco | 1.463809 | -7.665 | 0.632 |
| 19 | Drip Too Hard (Lil Baby & Gunna) | Lil Baby | 1.448304 | -6.977 | 0.896 |
| 22 | when the party's over | Billie Eilish | 1.336413 | -14.08 | 0.498 |
| 24 | Arms Around You (feat. Maluma & Swae Lee) | XXXTENTACION | 1.282108 | -5.45 | 0.703 |
| 25 | Look Back At It | A Boogie Wit da Hoodie | 1.277818 | -5.075 | 0.791 |
| 26 | Close To Me (with Diplo) (feat. Swae Lee) | Ellie Goulding | 1.275703 | -5.029 | 0.574 |
| 28 | Nothing Breaks Like a Heart (feat. Miley Cyrus) | Mark Ronson | 1.234913 | -5.844 | 0.601 |
| 31 | Better | Khalid | 1.181346 | -10.278 | 0.596 |
| 32 | Giant (with Rag'n'Bone Man) | Calvin Harris | 1.148927 | -4.311 | 0.807 |
| 37 | Lucid Dreams | Juice WRLD | 1.097411 | -7.23 | 0.511 |
| 38 | Adictiva | Daddy Yankee | 1.046403 | -3.206 | 0.788 |
| 39 | Moonlight | XXXTENTACION | 1.031305 | -5.723 | 0.921 |
| 40 | rockstar (feat. 21 Savage) | Post Malone | 1.026245 | -6.09 | 0.587 |
| 42 | Wake Up in the Sky | Gucci Mane | 1.025037 | -5.144 | 0.8 |
| 43 | lovely | Billie Eilish | 1.010517 | -10.109 | 0.351 |
| 46 | Youngblood | 5 Seconds of Summer | 0.980276 | -5.114 | 0.596 |
| 48 | whoa (mind in awe) | XXXTENTACION | 0.930018 | -2.939 | 0.735 |
| 49 | I Like It | Cardi B | 0.917012 | -3.998 | 0.816 |
| 50 | Amanece | Anuel Aa | 0.911809 | -5.549 | 0.79 |
| 51 | Solo de Mi | Bad Bunny | 0.909131 | -4.314 | 0.743 |
| 56 | Money | Cardi B | 0.83348 | -6.508 | 0.95 |
| 57 | Startender (feat. Offset and Tyga) | A Boogie Wit da Hoodie | 0.824791 | -4.653 | 0.736 |
| 59 | Love Someone | Lukas Graham | 0.822223 | -6.581 | 0.538 |
| 63 | monster | 21 Savage | 0.802734 | -6.916 | 0.89 |

| | | | | | |
|-----|--|------------------------|----------|---------|-------|
| 67 | Jocelyn Flores | XXXTENTACION | 0.788173 | -9.144 | 0.872 |
| 71 | no tears left to cry | Ariana Grande | 0.765659 | -5.507 | 0.699 |
| 73 | Cuando Te BesÃ© | Becky G | 0.757962 | -3.713 | 0.772 |
| 74 | Fire On Fire - From "Watership Down" | Sam Smith | 0.754628 | -7.356 | 0.584 |
| 75 | Bubalu | Becky G | 0.753861 | -10.47 | 0.8 |
| 76 | Hope | The Chainsmokers | 0.751386 | -5.982 | 0.773 |
| 77 | KIKA (feat. Tory Lanez) | 6ix9ine | 0.747076 | -3.368 | 0.745 |
| 79 | Shape of You | Ed Sheeran | 0.744005 | -3.183 | 0.825 |
| 80 | Baila Baila Baila | Ozuna | 0.738232 | -2.75 | 0.816 |
| 82 | 2002 | Anne-Marie | 0.73312 | -2.881 | 0.697 |
| 83 | Reggaeton | J Balvin | 0.728117 | -4.325 | 0.747 |
| 84 | NI BIEN NI MAL | Bad Bunny | 0.723243 | -8.33 | 0.826 |
| 85 | One Kiss (with Dua Lipa) | Calvin Harris | 0.719426 | -3.24 | 0.791 |
| 86 | DODI | Shindy | 0.714975 | -7.057 | 0.823 |
| 87 | Say My Name | David Guetta | 0.704087 | -5.119 | 0.703 |
| 88 | Believer | Imagine Dragons | 0.703658 | -4.374 | 0.776 |
| 89 | MALA (feat. Anuel Aa) | 6ix9ine | 0.690253 | -3.627 | 0.719 |
| 90 | Solo (feat. Demi Lovato) | Clean Bandit | 0.688715 | -4.608 | 0.74 |
| 92 | BAD! | XXXTENTACION | 0.682762 | -3.4 | 0.78 |
| 93 | Another One Bites The Dust - Remastered 2011 | Queen | 0.681657 | -6.472 | 0.933 |
| 96 | No Stylist | French Montana | 0.670167 | -4.589 | 0.765 |
| 101 | Te BotÃ© - Remix | Nio Garcia | 0.647911 | -3.445 | 0.903 |
| 103 | Falling Down - Bonus Track | Lil Peep | 0.637786 | -6.442 | 0.669 |
| 110 | I Fall Apart | Post Malone | 0.618218 | -5.408 | 0.556 |
| 117 | Ya No Tiene Novio | Sebastian Yatra | 0.614704 | -1.948 | 0.632 |
| 120 | Crushed Up | Future | 0.599823 | -6.817 | 0.782 |
| 121 | Culpables | Karol G | 0.599593 | -2.942 | 0.728 |
| 123 | Best Part (feat. Daniel Caesar) | H.E.R. | 0.588481 | -10.219 | 0.473 |
| 124 | New Rules | Dua Lipa | 0.58268 | -6.021 | 0.762 |
| 125 | Space Cadet (feat. Gunna) | Metro Boomin | 0.582041 | -9.789 | 0.901 |
| 128 | FRIENDS | Marshmello | 0.577979 | -2.384 | 0.626 |
| 129 | SOLO | JENNIE | 0.572888 | -5.165 | 0.751 |
| 131 | Fuck Love (feat. Trippie Redd) | XXXTENTACION | 0.564535 | -9.74 | 0.797 |
| 136 | I'm a Mess | Bebe Rexha | 0.552009 | -6.257 | 0.63 |
| 140 | XO TOUR Llif3 | Lil Uzi Vert | 0.54658 | -6.366 | 0.732 |
| 142 | Trampoline | SHAED | 0.544643 | -7.523 | 0.689 |
| 143 | Familia (with Anuel Aa, feat. Bantu) - Spider-Man: Into the Spider-Verse | Nicki Minaj | 0.540667 | -5.158 | 0.766 |
| 146 | Woman Like Me (feat. Nicki Minaj) | Little Mix | 0.533951 | -3.449 | 0.754 |
| 148 | Nuketown (feat. Juice WRLD) | Ski Mask The Slump God | 0.532447 | -9.32 | 0.808 |

| | | | | | |
|-----|---|------------------|----------|--------|-------|
| 152 | bellyache | Billie Eilish | 0.525496 | -8.597 | 0.695 |
| 155 | Let Me Down Slowly | Alec Benjamin | 0.512901 | -5.714 | 0.652 |
| 157 | ocean eyes | Billie Eilish | 0.509864 | -7.725 | 0.475 |
| 158 | Asesina - Remix | Brytiago | 0.509846 | -4.252 | 0.825 |
| 160 | Jackie Chan | TiÃ«sto | 0.503891 | -2.867 | 0.747 |
| 162 | Praise The Lord (Da Shine) (feat. Skepta) | A\$AP Rocky | 0.494846 | -8.152 | 0.85 |
| 167 | Lucky You (feat. Joyner Lucas) | Eminem | 0.491044 | -4.884 | 0.876 |
| 171 | Yes Indeed | Lil Baby | 0.476175 | -9.309 | 0.964 |
| 173 | Everybody Dies In Their Nightmares | XXXTENTACION | 0.471264 | -7.066 | 0.734 |
| 177 | HUMBLE. | Kendrick Lamar | 0.461993 | -6.638 | 0.908 |
| 179 | Sin Pijama | Becky G | 0.459901 | -3.695 | 0.791 |
| 186 | Agora Ã© Tudo Meu | Dennis DJ | 0.453293 | -3.306 | 0.848 |
| 188 | Wolves | Selena Gomez | 0.450961 | -4.59 | 0.72 |
| 190 | Sola | Manuel Turizo | 0.450341 | -5.233 | 0.704 |
| 193 | Benzema | Capital Bra | 0.445879 | -6.156 | 0.783 |
| 194 | What Lovers Do | Maroon 5 | 0.444043 | -5.131 | 0.799 |
| 195 | Never Recover (Lil Baby & Gunna, Drake) | Lil Baby | 0.443298 | -5.327 | 0.757 |
| 198 | Puntos Suspensivos | Piso 21 | 0.436645 | -3.399 | 0.823 |
| 200 | Something Just Like This | The Chainsmokers | 0.431523 | -6.769 | 0.617 |

2. Kelompok Lagu Mode 0 pada Fitur *Energy - Time*

| Position | Energy | Liveness | Tempo | Specchiness | Accousticness | Instrumentalness | Time |
|-----------------|---------------|-----------------|--------------|--------------------|----------------------|-------------------------|-------------|
| 2 | 0.539 | 0.101 | 99.947 | 0.178 | 0.163 | 2.10E-06 | 4 |
| 5 | 0.773 | 0.143 | 126.899 | 0.0524 | 0.323 | 0 | 4 |
| 7 | 0.798 | 0.0618 | 95.948 | 0.229 | 0.153 | 3.33E-06 | 4 |
| 10 | 0.539 | 0.099 | 97.062 | 0.0621 | 0.0141 | 0.000496 | 4 |
| 14 | 0.496 | 0.252 | 86.003 | 0.0905 | 0.259 | 0 | 4 |
| 17 | 0.603 | 0.0924 | 98.043 | 0.176 | 0.0521 | 0 | 4 |
| 18 | 0.686 | 0.2 | 89.949 | 0.243 | 0.549 | 0 | 4 |
| 19 | 0.671 | 0.552 | 112.502 | 0.289 | 0.103 | 0 | 4 |
| 22 | 0.104 | 0.0895 | 124.001 | 0.0621 | 0.979 | 7.86E-05 | 3 |
| 24 | 0.723 | 0.126 | 104.969 | 0.0412 | 0.0302 | 2.06E-06 | 4 |
| 25 | 0.587 | 0.148 | 96.057 | 0.0413 | 0.407 | 0 | 4 |
| 26 | 0.758 | 0.395 | 144.111 | 0.0621 | 0.0969 | 0 | 4 |
| 28 | 0.794 | 0.388 | 114.066 | 0.0671 | 0.00987 | 1.36E-06 | 4 |
| 31 | 0.552 | 0.104 | 97.949 | 0.097 | 0.0765 | 0.334 | 4 |
| 32 | 0.887 | 0.0811 | 122.015 | 0.0361 | 0.016 | 0.000503 | 4 |
| 37 | 0.566 | 0.34 | 83.903 | 0.2 | 0.349 | 0 | 4 |
| 38 | 0.771 | 0.172 | 99.038 | 0.0563 | 0.291 | 5.62E-05 | 4 |
| 39 | 0.537 | 0.102 | 128.009 | 0.0804 | 0.556 | 0.00404 | 4 |
| 40 | 0.535 | 0.131 | 159.847 | 0.0898 | 0.117 | 6.56E-05 | 4 |
| 42 | 0.578 | 0.367 | 143.01 | 0.0485 | 0.00381 | 0 | 4 |
| 43 | 0.296 | 0.095 | 115.284 | 0.0333 | 0.934 | 0 | 4 |
| 46 | 0.854 | 0.124 | 120.274 | 0.463 | 0.0169 | 0 | 4 |
| 48 | 0.525 | 0.101 | 160.147 | 0.0441 | 0.653 | 0.918 | 4 |
| 49 | 0.726 | 0.372 | 136.048 | 0.129 | 0.099 | 0 | 4 |
| 50 | 0.631 | 0.158 | 94.039 | 0.0425 | 0.437 | 0 | 4 |
| 51 | 0.73 | 0.0778 | 179.972 | 0.125 | 0.287 | 8.10E-05 | 4 |
| 56 | 0.59 | 0.11 | 130.003 | 0.29 | 0.00534 | 0 | 4 |
| 57 | 0.622 | 0.151 | 191.971 | 0.133 | 0.0235 | 0 | 4 |
| 59 | 0.409 | 0.11 | 171.838 | 0.0505 | 0.172 | 0 | 4 |
| 63 | 0.607 | 0.118 | 134.022 | 0.124 | 0.158 | 0.000228 | 4 |
| 67 | 0.391 | 0.297 | 134.021 | 0.242 | 0.469 | 4.13E-06 | 4 |
| 71 | 0.713 | 0.294 | 121.993 | 0.0594 | 0.04 | 3.11E-06 | 4 |
| 73 | 0.732 | 0.106 | 100.048 | 0.213 | 0.307 | 5.14E-06 | 4 |
| 74 | 0.407 | 0.18 | 115.124 | 0.046 | 0.476 | 0 | 4 |
| 75 | 0.355 | 0.118 | 145.929 | 0.0895 | 0.616 | 0 | 4 |
| 76 | 0.699 | 0.0814 | 104.941 | 0.0958 | 0.488 | 3.60E-06 | 4 |
| 77 | 0.715 | 0.182 | 94.513 | 0.245 | 0.128 | 0 | 4 |
| 79 | 0.652 | 0.0931 | 95.977 | 0.0802 | 0.581 | 0 | 4 |
| 80 | 0.754 | 0.217 | 99.966 | 0.111 | 0.0361 | 0 | 4 |
| 82 | 0.683 | 0.137 | 96.133 | 0.117 | 0.0372 | 0 | 4 |

| | | | | | | | |
|-----|-------|--------|---------|--------|----------|----------|---|
| 83 | 0.74 | 0.101 | 176.059 | 0.191 | 0.0165 | 9.94E-05 | 4 |
| 84 | 0.449 | 0.273 | 128.028 | 0.0674 | 0.556 | 1.85E-05 | 4 |
| 85 | 0.862 | 0.0814 | 123.994 | 0.11 | 0.037 | 2.19E-05 | 4 |
| 86 | 0.56 | 0.126 | 146.958 | 0.0629 | 0.0101 | 2.86E-05 | 4 |
| 87 | 0.66 | 0.192 | 95.031 | 0.123 | 0.137 | 0 | 4 |
| 88 | 0.78 | 0.081 | 124.949 | 0.128 | 0.0622 | 0 | 4 |
| 89 | 0.825 | 0.103 | 100.006 | 0.0424 | 0.689 | 0 | 4 |
| 90 | 0.622 | 0.356 | 104.966 | 0.0446 | 0.0357 | 4.85E-05 | 4 |
| 92 | 0.492 | 0.174 | 143.983 | 0.0671 | 0.0643 | 0.0313 | 4 |
| 93 | 0.528 | 0.163 | 109.967 | 0.161 | 0.112 | 0.312 | 4 |
| 96 | 0.704 | 0.227 | 147.055 | 0.127 | 0.0215 | 0 | 4 |
| 101 | 0.675 | 0.0595 | 96.507 | 0.214 | 0.542 | 1.28E-05 | 4 |
| 103 | 0.574 | 0.146 | 120.013 | 0.0286 | 0.0175 | 0.00294 | 4 |
| 110 | 0.538 | 0.196 | 143.95 | 0.0382 | 0.0689 | 0 | 4 |
| 117 | 0.832 | 0.0705 | 182.184 | 0.154 | 0.048 | 0 | 4 |
| 120 | 0.599 | 0.175 | 157.999 | 0.209 | 0.0372 | 0 | 4 |
| 121 | 0.801 | 0.143 | 130.059 | 0.0683 | 0.279 | 4.71E-06 | 4 |
| 123 | 0.371 | 0.109 | 75.208 | 0.0405 | 0.795 | 0 | 4 |
| 124 | 0.7 | 0.153 | 116.073 | 0.0694 | 0.00261 | 1.56E-05 | 4 |
| 125 | 0.464 | 0.238 | 109.004 | 0.0645 | 0.368 | 1.71E-05 | 4 |
| 128 | 0.88 | 0.128 | 95.079 | 0.0504 | 0.205 | 0 | 4 |
| 129 | 0.642 | 0.0953 | 95.045 | 0.087 | 0.0861 | 0 | 4 |
| 131 | 0.533 | 0.103 | 131.036 | 0.0412 | 0.0172 | 0.000152 | 4 |
| 136 | 0.694 | 0.0719 | 97.005 | 0.0253 | 0.00281 | 0 | 4 |
| 140 | 0.75 | 0.109 | 155.096 | 0.231 | 0.00264 | 0 | 4 |
| 142 | 0.412 | 0.0659 | 126.754 | 0.0301 | 0.488 | 0.00016 | 4 |
| 143 | 0.881 | 0.347 | 112.027 | 0.137 | 0.0166 | 2.30E-06 | 5 |
| 146 | 0.854 | 0.0808 | 75.002 | 0.0608 | 0.177 | 0 | 4 |
| 148 | 0.617 | 0.734 | 149.962 | 0.442 | 0.113 | 0 | 4 |
| 152 | 0.573 | 0.482 | 99.939 | 0.106 | 0.46 | 0.0734 | 4 |
| 155 | 0.557 | 0.124 | 150.073 | 0.0318 | 0.74 | 0 | 4 |
| 157 | 0.37 | 0.0841 | 144.828 | 0.0361 | 0.819 | 0.0577 | 4 |
| 158 | 0.69 | 0.413 | 94.194 | 0.226 | 0.589 | 0 | 4 |
| 160 | 0.834 | 0.0586 | 128.005 | 0.045 | 0.374 | 0 | 4 |
| 162 | 0.569 | 0.1 | 80.02 | 0.136 | 0.0609 | 0.0816 | 4 |
| 167 | 0.786 | 0.127 | 153.068 | 0.306 | 0.0627 | 0 | 4 |
| 171 | 0.346 | 0.108 | 119.958 | 0.53 | 0.035 | 0 | 4 |
| 173 | 0.57 | 0.112 | 129.953 | 0.133 | 0.847 | 2.14E-05 | 4 |
| 177 | 0.621 | 0.0958 | 150.011 | 0.102 | 0.000282 | 5.39E-05 | 4 |
| 179 | 0.745 | 0.104 | 94.014 | 0.0464 | 0.354 | 2.93E-05 | 4 |
| 186 | 0.933 | 0.184 | 139.998 | 0.106 | 0.7 | 2.81E-06 | 4 |
| 188 | 0.807 | 0.183 | 124.946 | 0.0432 | 0.129 | 0 | 4 |

| | | | | | | | |
|-----|-------|--------|---------|--------|--------|----------|---|
| 190 | 0.706 | 0.0965 | 92.965 | 0.111 | 0.483 | 0 | 4 |
| 193 | 0.692 | 0.12 | 100.082 | 0.329 | 0.485 | 0 | 4 |
| 194 | 0.597 | 0.1 | 110.001 | 0.0611 | 0.0788 | 5.66E-06 | 4 |
| 195 | 0.69 | 0.192 | 132.064 | 0.282 | 0.0716 | 0 | 4 |
| 198 | 0.731 | 0.131 | 152.024 | 0.103 | 0.175 | 0 | 4 |
| 200 | 0.635 | 0.164 | 103.019 | 0.0317 | 0.0498 | 1.44E-05 | 4 |

3. Kelompok Lagu Mode 0 pada Fitur Key - Valence

| Position | Key | Duration | Valence |
|-----------------|------------|-----------------|----------------|
| 2 | 11 | 149520 | 0.385 |
| 5 | 11 | 238200 | 0.761 |
| 7 | 1 | 212500 | 0.591 |
| 10 | 6 | 210368 | 0.158 |
| 14 | 4 | 180522 | 0.544 |
| 17 | 8 | 228760 | 0.504 |
| 18 | 6 | 170770 | 0.329 |
| 19 | 1 | 145543 | 0.358 |
| 22 | 1 | 199931 | 0.205 |
| 24 | 9 | 198903 | 0.288 |
| 25 | 3 | 179449 | 0.536 |
| 26 | 1 | 182623 | 0.492 |
| 28 | 7 | 217467 | 0.244 |
| 31 | 0 | 229320 | 0.112 |
| 32 | 1 | 229184 | 0.606 |
| 37 | 6 | 239836 | 0.218 |
| 38 | 4 | 207853 | 0.701 |
| 39 | 9 | 135090 | 0.711 |
| 40 | 5 | 218147 | 0.14 |
| 42 | 4 | 203161 | 0.367 |
| 43 | 4 | 200186 | 0.12 |
| 46 | 7 | 203418 | 0.152 |
| 48 | 6 | 157777 | 0.369 |
| 49 | 5 | 253390 | 0.65 |
| 50 | 8 | 190005 | 0.889 |
| 51 | 10 | 197968 | 0.15 |
| 56 | 8 | 183527 | 0.219 |
| 57 | 6 | 192779 | 0.506 |
| 59 | 9 | 205440 | 0.265 |
| 63 | 9 | 233040 | 0.224 |
| 67 | 0 | 119133 | 0.437 |
| 71 | 9 | 205920 | 0.354 |
| 73 | 9 | 254383 | 0.295 |
| 74 | 1 | 246735 | 0.341 |
| 75 | 6 | 228493 | 0.253 |
| 76 | 1 | 180120 | 0.513 |
| 77 | 1 | 136032 | 0.342 |
| 79 | 1 | 233713 | 0.931 |
| 80 | 11 | 158400 | 0.533 |
| 82 | 1 | 186987 | 0.603 |

| | | | |
|-----|----|--------|-------|
| 83 | 4 | 158800 | 0.552 |
| 84 | 5 | 236216 | 0.337 |
| 85 | 9 | 214847 | 0.592 |
| 86 | 10 | 183046 | 0.371 |
| 87 | 10 | 198947 | 0.79 |
| 88 | 10 | 204347 | 0.666 |
| 89 | 5 | 206550 | 0.789 |
| 90 | 11 | 222707 | 0.556 |
| 92 | 5 | 94246 | 0.374 |
| 93 | 5 | 214653 | 0.754 |
| 96 | 5 | 192172 | 0.498 |
| 101 | 11 | 417920 | 0.442 |
| 103 | 4 | 196400 | 0.273 |
| 110 | 8 | 223347 | 0.291 |
| 117 | 7 | 198933 | 0.784 |
| 120 | 10 | 150323 | 0.586 |
| 121 | 8 | 226627 | 0.416 |
| 123 | 4 | 209400 | 0.413 |
| 124 | 9 | 209320 | 0.608 |
| 125 | 5 | 203267 | 0.638 |
| 128 | 9 | 202621 | 0.534 |
| 129 | 3 | 169567 | 0.388 |
| 131 | 0 | 146520 | 0.329 |
| 136 | 11 | 195519 | 0.216 |
| 140 | 11 | 182707 | 0.401 |
| 142 | 7 | 184060 | 0.537 |
| 143 | 9 | 174893 | 0.674 |
| 146 | 5 | 229720 | 0.8 |
| 148 | 10 | 166400 | 0.632 |
| 152 | 4 | 179172 | 0.408 |
| 155 | 1 | 169354 | 0.483 |
| 157 | 4 | 200560 | 0.157 |
| 158 | 10 | 327467 | 0.516 |
| 160 | 3 | 215760 | 0.687 |
| 162 | 5 | 205040 | 0.294 |
| 167 | 10 | 244679 | 0.575 |
| 171 | 5 | 142273 | 0.562 |
| 173 | 7 | 95467 | 0.689 |
| 177 | 1 | 177000 | 0.421 |
| 179 | 11 | 188560 | 0.82 |
| 186 | 5 | 171998 | 0.506 |
| 188 | 11 | 197993 | 0.305 |

| | | | |
|-----|----|--------|-------|
| 190 | 11 | 195044 | 0.856 |
| 193 | 10 | 159152 | 0.26 |
| 194 | 5 | 199849 | 0.419 |
| 195 | 1 | 194732 | 0.914 |
| 198 | 11 | 186316 | 0.952 |
| 200 | 11 | 247160 | 0.446 |

LAMPIRAN 4.3

Tabel Distribusi t (df = 1 – 40)

| df | Pr 0.50 | 0.25 0.20 | 0.10 0.10 | 0.05 0.050 | 0.025 0.02 | 0.01 0.01 | 0.005 0.010 | 0.001 0.002 |
|----|------------|--------------|--------------|---------------|---------------|--------------|----------------|----------------|
| 1 | 1.00000 | 3.07768 | 6.31375 | 12.70620 | 31.82052 | 63.65674 | 318.30884 | |
| 2 | 0.81650 | 1.88562 | 2.91999 | 4.30265 | 6.96456 | 9.92484 | 22.32712 | |
| 3 | 0.76489 | 1.63774 | 2.35336 | 3.18245 | 4.54070 | 5.84091 | 10.21453 | |
| 4 | 0.74070 | 1.53321 | 2.13185 | 2.77645 | 3.74895 | 4.60409 | 7.17318 | |
| 5 | 0.72689 | 1.47588 | 2.01505 | 2.57058 | 3.38493 | 4.03214 | 5.89343 | |
| 6 | 0.71756 | 1.43976 | 1.94318 | 2.44691 | 3.14267 | 3.70743 | 5.20763 | |
| 7 | 0.71114 | 1.41492 | 1.89458 | 2.36462 | 2.99795 | 3.49948 | 4.78529 | |
| 8 | 0.70639 | 1.39682 | 1.85955 | 2.30600 | 2.89646 | 3.35539 | 4.50079 | |
| 9 | 0.70272 | 1.38303 | 1.83311 | 2.26216 | 2.82144 | 3.24984 | 4.29681 | |
| 10 | 0.69981 | 1.37218 | 1.81246 | 2.22814 | 2.78377 | 3.16927 | 4.14370 | |
| 11 | 0.69745 | 1.36343 | 1.79588 | 2.20099 | 2.71808 | 3.10581 | 4.02470 | |
| 12 | 0.69548 | 1.35622 | 1.78229 | 2.17881 | 2.68100 | 3.05454 | 3.92963 | |
| 13 | 0.69383 | 1.35017 | 1.77093 | 2.16037 | 2.65031 | 3.01228 | 3.85198 | |
| 14 | 0.69242 | 1.34503 | 1.76131 | 2.14479 | 2.62449 | 2.97684 | 3.78739 | |
| 15 | 0.69120 | 1.34081 | 1.75305 | 2.13145 | 2.60248 | 2.94671 | 3.73283 | |
| 16 | 0.69013 | 1.33876 | 1.74588 | 2.11991 | 2.58349 | 2.92078 | 3.68815 | |
| 17 | 0.68920 | 1.33338 | 1.73981 | 2.10982 | 2.56693 | 2.89823 | 3.64577 | |
| 18 | 0.68836 | 1.33039 | 1.73406 | 2.10092 | 2.55238 | 2.87844 | 3.61048 | |
| 19 | 0.68762 | 1.32773 | 1.72913 | 2.09302 | 2.53948 | 2.86093 | 3.57940 | |
| 20 | 0.68695 | 1.32534 | 1.72472 | 2.08598 | 2.52798 | 2.84534 | 3.55181 | |
| 21 | 0.68635 | 1.32319 | 1.72074 | 2.07981 | 2.51765 | 2.83136 | 3.52715 | |
| 22 | 0.68581 | 1.32124 | 1.71714 | 2.07387 | 2.50832 | 2.81876 | 3.50499 | |
| 23 | 0.68531 | 1.31948 | 1.71387 | 2.06888 | 2.49987 | 2.80734 | 3.48496 | |
| 24 | 0.68485 | 1.31784 | 1.71088 | 2.06390 | 2.49216 | 2.79694 | 3.46678 | |
| 25 | 0.68443 | 1.31635 | 1.70814 | 2.05954 | 2.48511 | 2.78744 | 3.45019 | |
| 26 | 0.68404 | 1.31497 | 1.70562 | 2.05553 | 2.47863 | 2.77871 | 3.43500 | |
| 27 | 0.68368 | 1.31370 | 1.70329 | 2.05183 | 2.47266 | 2.77068 | 3.42103 | |
| 28 | 0.68335 | 1.31253 | 1.70113 | 2.04841 | 2.46714 | 2.76326 | 3.40816 | |
| 29 | 0.68304 | 1.31143 | 1.69913 | 2.04523 | 2.46202 | 2.75639 | 3.39624 | |
| 30 | 0.68276 | 1.31042 | 1.69726 | 2.04227 | 2.45726 | 2.75000 | 3.38518 | |
| 31 | 0.68249 | 1.30946 | 1.69552 | 2.03951 | 2.45282 | 2.74404 | 3.37490 | |
| 32 | 0.68223 | 1.30857 | 1.69389 | 2.03693 | 2.44868 | 2.73848 | 3.36531 | |
| 33 | 0.68200 | 1.30774 | 1.69236 | 2.03452 | 2.44479 | 2.73328 | 3.35634 | |
| 34 | 0.68177 | 1.30695 | 1.69092 | 2.03224 | 2.44115 | 2.72839 | 3.34793 | |
| 35 | 0.68156 | 1.30621 | 1.68957 | 2.03011 | 2.43772 | 2.72381 | 3.34005 | |
| 36 | 0.68137 | 1.30551 | 1.68830 | 2.02809 | 2.43449 | 2.71948 | 3.33262 | |
| 37 | 0.68118 | 1.30485 | 1.68709 | 2.02619 | 2.43145 | 2.71541 | 3.32583 | |
| 38 | 0.68100 | 1.30423 | 1.68595 | 2.02439 | 2.42857 | 2.71156 | 3.31903 | |
| 39 | 0.68083 | 1.30364 | 1.68488 | 2.02269 | 2.42584 | 2.70791 | 3.31279 | |
| 40 | 0.68067 | 1.30308 | 1.68385 | 2.02108 | 2.42326 | 2.70446 | 3.30688 | |

BIODATA PENULIS



Penulis bernama lengkap **Chyntia Kumalasari Puteri**, lahir di Surabaya, 27 September 1995. Anak terakhir dari tiga bersaudara, serta memiliki dua kakak laki-laki bernama Primawan Putra Nugrahadi dan Jeffry Adityatama. Penulis merupakan anak dari pasangan Ir. Indarto dan Ir. Indarwati, MS. Penulis menempuh pendidikan formal mulai dari TK Aisyah (2000-2001), SDN Ketegan 1 Taman (2001-2007), SMP Negeri 2 Taman (2007-2010), dan SMA Al-Hikmah Surabaya (2010-2013). Setelah lulus dari SMA Al Hikmah Surabaya, di tahun 2013 penulis melanjutkan pendidikan tingginya di Institut Teknologi Sepuluh Nopember Surabaya (ITS) jenjang S1 di Jurusan Matematika melalui jalur SNMPTN Undangan dengan NRP 1213100046 (2013-2017). Selain itu, penulis juga melaksanakan Kerja Praktek di Perum Peruri bidang IT Solution pada tahun 2016. Kemudian penulis melanjutkan pendidikan tingginya lagi di Magister Manajemen Teknologi – Institut Teknologi Sepuluh Nopember Surabaya (MMT-ITS) jenjang S2 jurusan Manajemen Teknologi Informasi melalui jalur tes mandiri dengan NRP 09211750054007. Untuk informasi lebih lanjut mengenai Tesis ini dapat diajukan melalui email : chyntiaakp@gmail.com